



Green Power

Engineering & Construction



GRE CODE

GRE.EEC.C.25.IT.W.09317.40.001.00

PAGE

1 di/of 75

TITLE:

AVAILABLE LANGUAGE: IT

INTEGRALE RICOSTRUZIONE DELL' IMPIANTO EOLICO "GANGI", UBICATO NEL COMUNE DI GANGI (PA)

PROGETTO DEFINITIVO

Relazione di calcolo preliminare Fondazioni Aerogeneratori

File: **GRE.EEC.C.25.IT.W.09317.40.001.00 - Relazione di calcolo preliminare Fondazioni Aerogeneratori.docx**

REV.	DATE	DESCRIPTION	PREPARED	VERIFIED	APPROVED
00	25/03/2022	Prima emissione	A. Filiberti	G. Alfano	P. Polinelli

GRE VALIDATION

	<i>G.Papa</i>	<i>L.Iacofano</i>
COLLABORATORS	VERIFIED BY	VALIDATED BY

PROJECT / PLANT

Gangi

GRE CODE

GROUP	FUNCTION	TYPE	ISSUER	COUNTRY	TEC	PLANT	SYSTEM	PROGRESSIVE	REVISION										
GRE	EEC	C	2	5	I	T	W	0	9	3	1	7	4	0	0	0	1	0	0

CLASSIFICATION

PUBLIC

UTILIZATION SCOPE

BASIC DESIGN

This document is property of Enel Green Power Solar Energy S.r.l. It is strictly forbidden to reproduce this document, in whole or in part, and to provide to others any related information without the previous written consent by Enel Green Power Solar Energy S.r.l.



Green Power

Engineering & Construction



GRE CODE

GRE.EEC.C.25.IT.W.09317.40.001.00

PAGE

2 di/of 75

INDEX

1. INTRODUZIONE.....	4
1.1. DESCRIZIONE DEL PROPONENTE.....	4
1.2. CONTENUTI DELLA RELAZIONE	4
2. NORMATIVA DI RIFERIMENTO E FONTI CONSULTATE.....	7
3. DESCRIZIONE DELLE OPERE	8
4. CARICHI DI PROGETTO	9
4.1. Carichi permanenti	9
4.1.1. Pesi permanenti strutturali (G1).....	9
4.1.2. Pesi permanenti non strutturali (G2)	9
4.2. Sovraccarichi (Q).....	9
4.2.1. Carichi indotti dal vento (W).....	9
4.3. Azione sismica (E)	10
4.3.1. Spettri di progetto.....	10
4.3.2. Determinazione della forzante sismica	14
5. MATERIALI	15
5.1. Calcestruzzo armato	15
5.1.1. Magrone	15
5.1.2. Pali.....	15
5.1.3. Basamento.....	15
5.1.4. Colletto di innesto	16
5.1.5. Acciaio di armatura	16
6. SOFTWARE IMPIEGATO PER LE ANALISI FEM	17
6.1. Sistemi di riferimento.....	17
6.2. Elementi beam	17
6.2.1. Output delle azioni interne	17
6.3. Elementi plate.....	18
6.3.1. Gradi di libertà degli elementi e ecs.....	19
6.3.2. Output delle azioni interne	20
7. ANALISI STRUTTURALE E VERIFICHE	23
7.1. Analisi strutturale tramite modello FEM	23
7.1.1. Geometria del modello.....	23
7.1.2. Vincoli	25
7.1.3. Casi di di carico	25
7.1.4. Combinazioni di carico	27
7.1.5. Giudizio motivato accettabilità dei risultati	30
7.2. Risultati del modello FEM.....	33
7.2.1. Direzioni fissate per gli assi locali degli elementi	33

7.2.2. Azioni assiali sui pali.....	35
7.2.3. Azioni sul basamento.....	37
7.2.4. Verifica degli elementi strutturali.....	57
7.2.5. Verifica strutturale del palo	57
7.2.6. Verifica a flessione platea.....	61
7.2.7. Verifica a taglio platea	70
7.2.8. Verifica a punzonamento platea	73
7.2.9. Verifiche tensionali in esercizio	74
7.3. CALCOLO RIGIDEZZA ALLA ROTAZIONE	74

1. INTRODUZIONE

Stantec S.p.A., in qualità di Consulente Tecnico, è stata incaricata da Enel Green Power Italia Srl ("EGP Italia") di redigere il progetto definitivo per il potenziamento dell'esistente impianto eolico ubicato nel Comune di Gangi (PA), costituito da 32 turbine eoliche (WTG), di potenza 0,85 MW ciascuna, per un totale di 27,2 MW installati.

L'energia prodotta dagli aerogeneratori dell'impianto viene convogliata tramite cavidotto interrato MT, alla Sottostazione di trasformazione MT/AT ubicata in adiacenza della Stazione E-distribuzione "Monte Zimmara", collegata alla linea 150 kV "Petràlia - Nicosia".

La soluzione di connessione che verrà adottata per il nuovo impianto in progetto ricalcherà l'esistente, prevedendo dunque una connessione in AT alla Stazione elettrica di AT Monte Zimmara, riadeguando l'infrastruttura esistente alla nuova taglia dell'impianto.

L'intervento in progetto prevede l'integrale ricostruzione dell'impianto, tramite l'installazione di nuove turbine eoliche, in linea con gli standard più alti presenti sul mercato, che consente di ridurre il numero di macchine da 32 a 7, diminuendo in questo modo l'impatto visivo, in particolare il cosiddetto "effetto selva". Inoltre, la maggior efficienza dei nuovi aerogeneratori comporta un aumento considerevole dell'energia specifica prodotta, riducendo in maniera proporzionale la quantità di CO2 equivalente.

1.1. DESCRIZIONE DEL PROPONENTE

Enel Green Power Italia Srl., in qualità di soggetto proponente del progetto, è una società del Gruppo Enel che si occupa dello sviluppo e della gestione delle attività di generazione di energia da fonti rinnovabili facente capo a Enel Green Power Spa.

Il Gruppo Enel, tramite la controllata Enel Green Power Spa, è presente in 28 Paesi nei 5 continenti con una capacità gestita di oltre 46 GW e più di 1200 impianti.

In Italia, il parco di generazione di Enel Green Power è rappresentato dalle seguenti tecnologie rinnovabili: idroelettrico, eolico, fotovoltaico, geotermia. Attualmente nel Paese conta una capacità gestita complessiva di oltre 14 GW.

1.2. CONTENUTI DELLA RELAZIONE

La presente relazione ha l'obiettivo di illustrare lo studio delle strutture necessarie a garantire i requisiti di sicurezza e di funzionalità dell'opera. In particolare, il presente elaborato contiene i calcoli di stabilità e resistenza del basamento di innesto della struttura metallica.

Nella valutazione dell'apparato fondale si è fatto riferimento allo studio preliminare geologico e geotecnico.

Per i particolare costruttivi e maggiori dettagli dimensionali sulle strutture progettate si faccia riferimento agli elaborati grafici oggetto del presente progetto.

La relazione è stata redatta sulla base dei dati geologici e geotecnici desunti dalle relazioni specialistiche apposite. Eventuali e maggiori approfondimenti dal punto di vista geognostico possono portare a variazioni dei risultati di seguito presentati.

Il sito si trova nella provincia di Palermo ed interessa il territorio del comune di Gangi.

L'area è identificata dalle seguenti coordinate geografiche:

- Latitudine: 37°45'45.92"N

- Longitudine: 14°14'22.77"E

L'impianto in progetto ricade all'interno dei seguenti fogli catastali:

- Comune di Gangi: n° 51, n° 55, n° 63, n° 64

L'area di progetto ricade all'interno del foglio I.G.M. in scala 1:25.000 codificato 260-II-NO, denominato "Gangi".

Di seguito è riportato l'inquadramento territoriale dell'area di progetto e la posizione degli aerogeneratori su ortofoto.

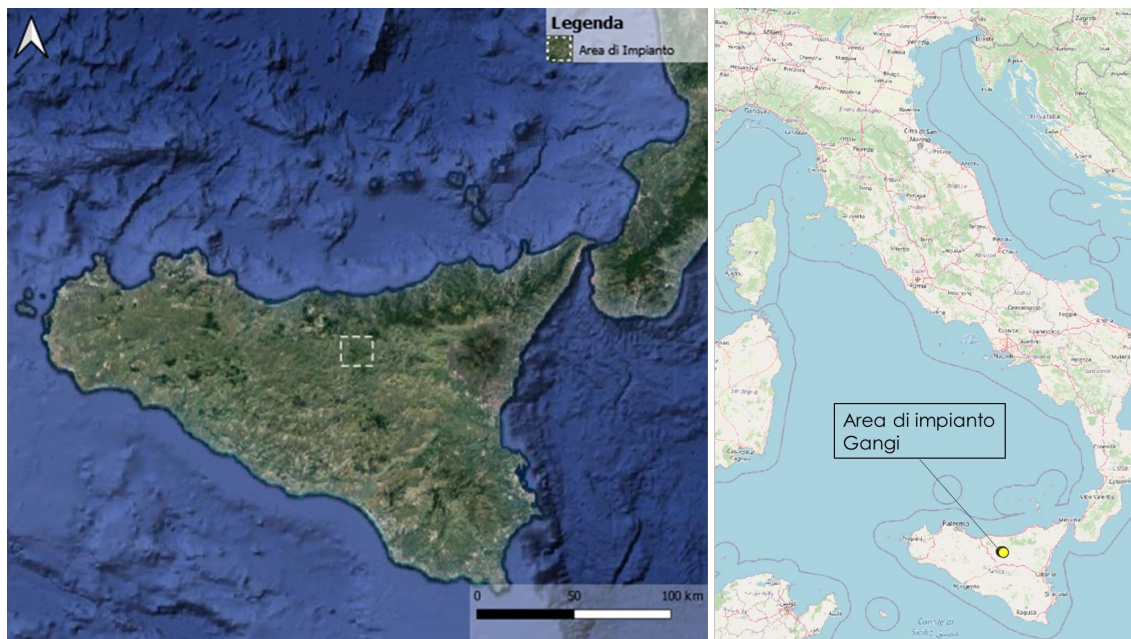


Figura 2-1: Inquadramento generale dell'area di progetto



Figura 2-2: Configurazione proposta su ortofoto

Si riporta invece in formato tabellare un dettaglio sulla localizzazione delle WTG di nuova costruzione, in coordinate WGS84 UTM fuso 33 N:

Tabella 1: Coordinate aerogeneratori

ID	Comune	Est [m]	Nord [m]	Altitudine [m s.l.m.]
G01	Gangi	433594,19	4179907,20	1199
G02	Gangi	434083,00	4179721,00	1234
G03	Gangi	434593,00	4179671,00	1279
G04	Gangi	435122,00	4179478,00	1302
G05	Gangi	435621,29	4179298,27	1300
G06	Gangi	436466,97	4179171,98	1248
G07	Gangi	436058,00	4178560,00	1301



Green Power

Engineering & Construction



GRE CODE

GRE.EEC.C.25.IT.W.09317.40.001.00

PAGE

7 di/of 75

2. **NORMATIVA DI RIFERIMENTO E FONTI CONSULTATE**

Di seguito sono elencati i principali riferimenti Normativi a cui si farà riferimento nella presente relazione.

- [1] D.M. 17/01/2018 "Aggiornamento delle «Norme tecniche per le costruzioni»".
- [2] Circolare n.7 Reg. Atti Int. CONSUP del 21.01.2019 "Istruzioni per l'applicazione dello "Aggiornamento delle «Norme tecniche per le costruzioni»" di cui al decreto ministeriale 17 gennaio 2018
- [3] UNI EN 1990. Criteri generali di progettazione strutturale.
- [4] UNI EN 1991-1-1 Parte 1-1: Azioni in generale - Pesi per unità di volume, pesi propri e sovraccarichi per gli edifici
- [5] UNI EN 1992-1-1 Parte 1-1: Progettazione delle strutture di calcestruzzo. Regole generali e regole per gli edifici
- [6] UNI EN 1993-1-1 Parte 1-1: Progettazione delle strutture in acciaio. Regole generali e regole per gli edifici
- [7] UNI EN 1993-1-8 Parte 1-8: Progettazione delle strutture in acciaio. Progettazione dei collegamenti
- [8] UNI EN 1997-1 Parte 1: Progettazione geotecnica. Regole generali
- [9] Scheda tecnica del produttore delle turbine "Preliminary Generic - Site Roads and Hardstands requirements SG 6.0-170"
- [10] Scheda tecnica del produttore della turbina "Foundation loads T115-50A SG 6.0-170"
- [11] Scheda tecnica del produttore della turbina "Developer Package SG 6.0-170"
- [12] Linee guida fornite dal Proponente, Enel Green Power Italia S.r.L "Design and construction guidelines for the foundations of wind turbine generators"

3. DESCRIZIONE DELLE OPERE

Le opere in progetto sono costituite da un basamento di fondazione per una turbina eolica. La turbina ha un'altezza di 115 metri al mozzo ed è sostenuta da una torre costituita da un tubolare in acciaio a sezione variabile innestato alla struttura di base in calcestruzzo armato.

Per i dettagli relativi alla torre di sostegno si faccia riferimento alle specifiche del produttore.

Il basamento è costituito da un plinto, a base circolare su pali, di diametro 25 m. L'altezza dell'elemento è variabile, da un minimo 1.5 m sul perimetro esterno del plinto a un massimo di 3.75 metri nella porzione centrale. In corrispondenza della sezione di innesto della torre di sostegno è realizzato un colletto aggiuntivo di altezza 0.5 m.

Il calcestruzzo selezionato per le strutture è di classe di resistenza C25/30 per i pali e C32/40 per il basamento, il colletto dovrà invece essere realizzato un successivo getto con classe di resistenza C45/55. In ogni caso, all'interfaccia tra il calcestruzzo del colletto e le strutture metalliche, dovrà essere interposta un'adeguata malta ad alta resistenza per permettere un livellamento ottimale e garantire la perfetta verticalità delle strutture e permettere un'adeguata distribuzione degli sforzi di contatto.

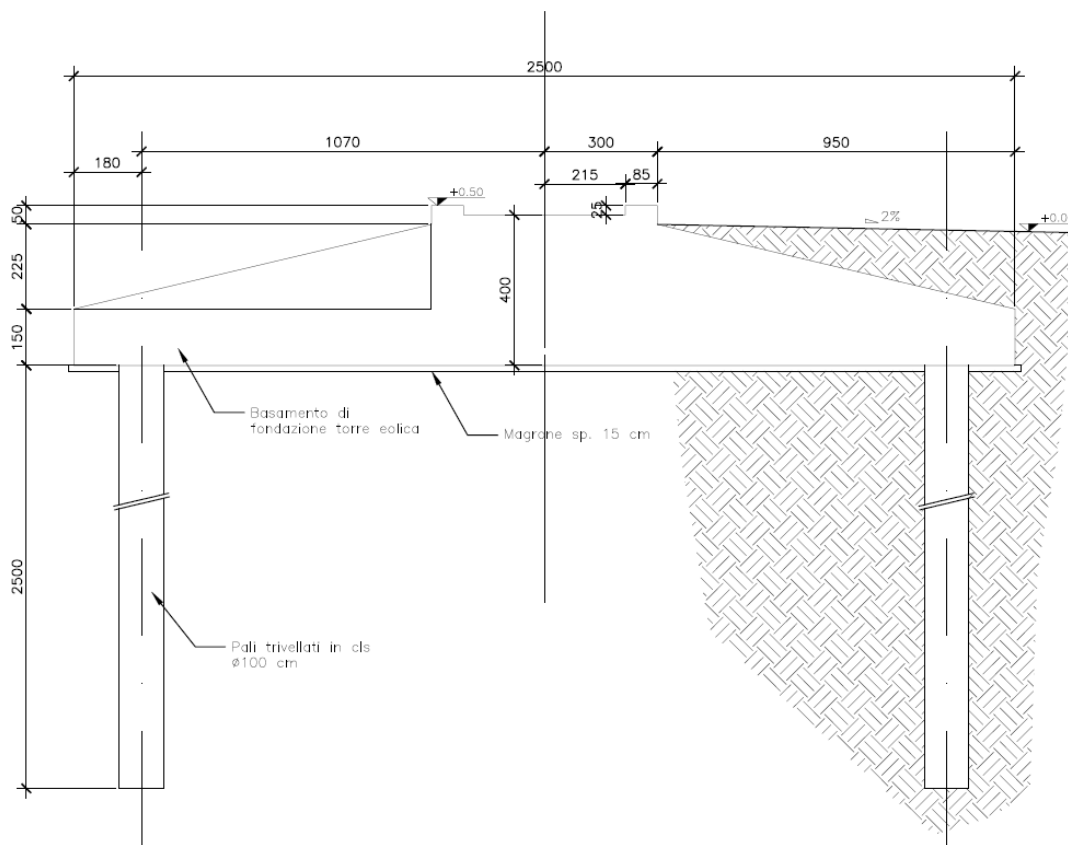


Figure 3-1 - Sezione plinto di fondazione

4. CARICHI DI PROGETTO

4.1. Carichi permanenti

4.1.1. Pesi permanenti strutturali (G1)

Il peso proprio delle strutture costituenti il fabbricato sono calcolate in automatico dal software a elementi finiti, tenuto conto dei volumi degli elementi strutturali e del peso specifico dei materiali assegnati agli elementi. Per gli elementi in calcestruzzo armato si è considerato un peso specifico pari a 25 kN/m³, per le strutture in acciaio è stato assunto un peso specifico pari a 78.50 kN/m³.

4.1.2. Pesi permanenti non strutturali (G2)

I carichi permanenti non strutturali sono rappresentati dal peso del terreno sovrastante il basamento e quello imputabile al peso della torre e delle macchine installate sul basamento. Quest'ultimo viene considerato nelle combinazioni di carico diverse da quelle che utilizzano il carichi da vento (W) forniti dal produttore, in cui il peso è già stato considerato.

4.2. Sovraccarichi (Q)

4.2.1. Carichi indotti dal vento (W)

Il carichi da vento, relativi alle diverse situazioni previste sono riportati nelle seguenti tabelle estratte dal documento [10] *Scheda tecnica del produttore della turbina "Foundation loads T115-50A SG 6.0-170"*

Carichi da vento caratteristici (W_Characteristic):

Load case	F _x (kN)	F _y (kN)	F _z (kN)	M _x (kNm)	M _y (kNm)	M _z (kNm)
Dlc62 V42.5 060 s9	1535,05	50,5	-6826,1	4163,87	178349,5	374,9

Table 4 SG 6.0-170 HH115m Characteristics Loads at the base of the tower

Carichi da vento in condizione extreme (W_Extreme), relativi a situazioni eccezionali:

Load case	Load factor	F _x (kN)	F _y (kN)	F _z (kN)	F _{xy} (kN)	M _x (kNm)	M _y (kNm)	M _z (kNm)	M _{xy} (kNm)
Dlc22 3bn V11.0 n s7	1,1	1688,55	55,55	-7508,71	1689,47	4580,25	196184,46	412,39	196237,91
Dlc22 3bn V11.0 n s7	1,0	1535,05	50,5	-6826,1	1535,88	4163,87	178349,5	374,9	178398,1

Table 3 SG 6.0-170 HH115m Factored/Unfactored Extreme loads at tower bottom

Carichi da vento in condizione quasi permanente (W_QP) e relativi alle normali condizioni di esercizio della turbina:

Quasi-permanent load

Loads according to GL2010, considering **DLC 1.1** and 6.4 with a probability of exceedance of $pf = 10^{-2}$ (equivalent to 1750 h in 20 years) with $\gamma_F = 1.0$ have been estimated as shown in Table 5:

pf=0.01000	Tower loads at section							
Section Height from bottom (m)	Fx (KN)	Fy (KN)	Fxy (KN)	Fz (KN)	Mx (KNm)	My (KNm)	Mxy (KNm)	Mz (KNm)
0	1002.0 7	123,15	1002,4 8	-6629,52	18223,36	119459,4 9	119805,99	4928,71

Table 5 SG 6.0-170 HH115m Quasi Permanent Loads at tower bottom

4.3. Azione sismica (E)

L'azione sismica agente sull'elemento viene determinata in maniera semplificata rilevando l'accelerazione sismica ottenuta in corrispondenza del periodo proprio proprio della struttura, quest'ultimo ottenuto ricorrendo al metodo di Rayleigh, nel quale si applica una distribuzione di forze pari alla forza peso pensata come distribuita in maniera discreta su un'asta di rigidezza pari alla rigidezza traslazionale del sistema in esame.

$$T = 2 \pi \sqrt{\frac{\sum W_i \delta_i^2}{g \sum W_i \delta_i}}$$

In cui:

- W_i è il peso delle masse strutturali, pensate come distribuite in punti discreti
- δ_i è lo spostamento misurato in corrispondenza del punto di applicazione della forza
- g è l'accelerazione di gravità

I pesi dei vari tronchi della torre e degli altri componenti sono stati desunti da [9] Scheda tecnica del produttore delle turbina "Preliminary Generic - Site Roads and Hardstands requirements SG 6.0-170".

4.3.1. Spettri di progetto

L'azione sismica è tradotta da spettri in accelerazione. Vista la complessità della struttura si persegue l'obiettivo di una progettazione non dissipativa, le valutazioni sismiche verranno quindi eseguite su spettri di progetto elastici, adottando un fattore di comportamento $q=1$.

Gli spettri vengono calcolati rispetto alle coordinate di progetto definite nella parte introduttiva e si definisce una vita nominale per la struttura $V_N = 50$ anni e una classe d'uso IV. In queste condizioni si ottiene un periodo di riferimento per la costruzione pari a :

$$V_R = V_N \cdot C_U = 50 \cdot 2 = 100 \text{ anni}$$

Da cui ne deriveranno i periodi di ritorno determinati nella seguente figura.

FASE 2. SCELTA DELLA STRATEGIA DI PROGETTAZIONE

Vita nominale della costruzione (in anni) - V_N info

Coefficiente d'uso della costruzione - c_U info

Valori di progetto

Periodo di riferimento per la costruzione (in anni) - V_R info

Periodi di ritorno per la definizione dell'azione sismica (in anni) - T_R info

Stati limite di esercizio - SLE { SLO - $P_{VR} = 81\%$

{ SLD - $P_{VR} = 63\%$

Stati limite ultimi - SLU { SLV - $P_{VR} = 10\%$

{ SLC - $P_{VR} = 5\%$

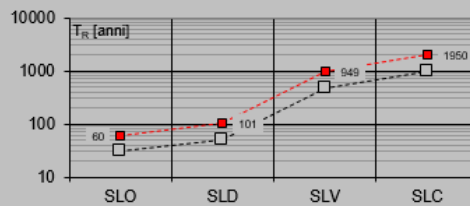
Elaborazioni

Grafici parametri azione

Grafici spettri di risposta

Tabella parametri azione

Strategia di progettazione



LEGENDA GRAFICO

--□-- Strategia per costruzioni ordinarie

---■--- Strategia scelta

INTRO

FASE 1

FASE 2

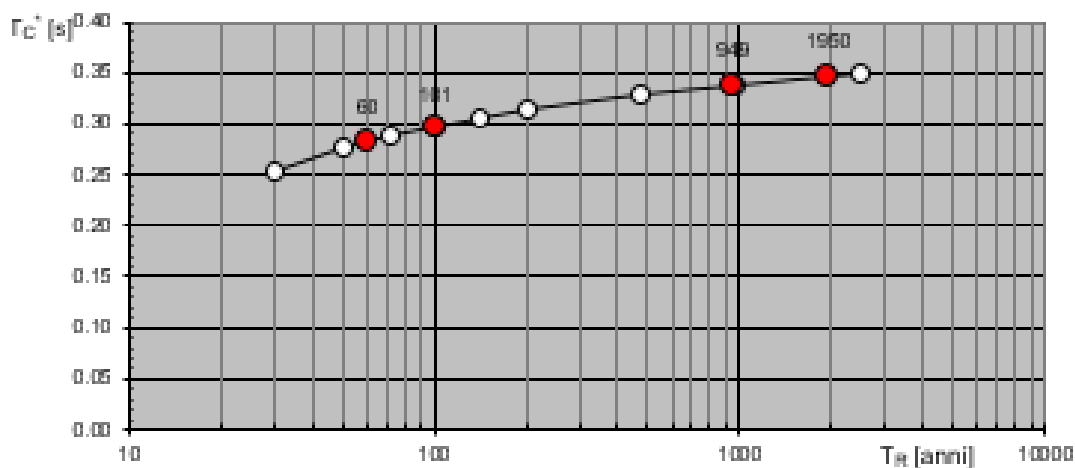
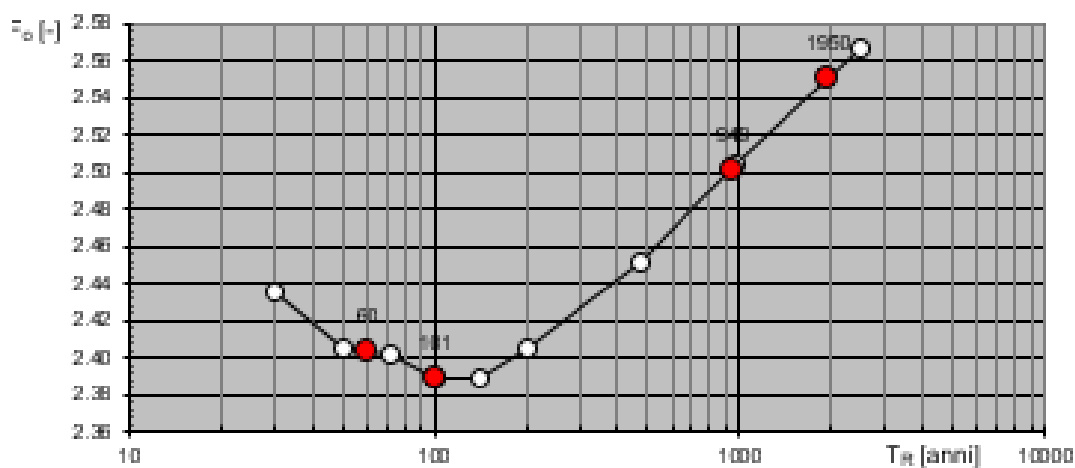
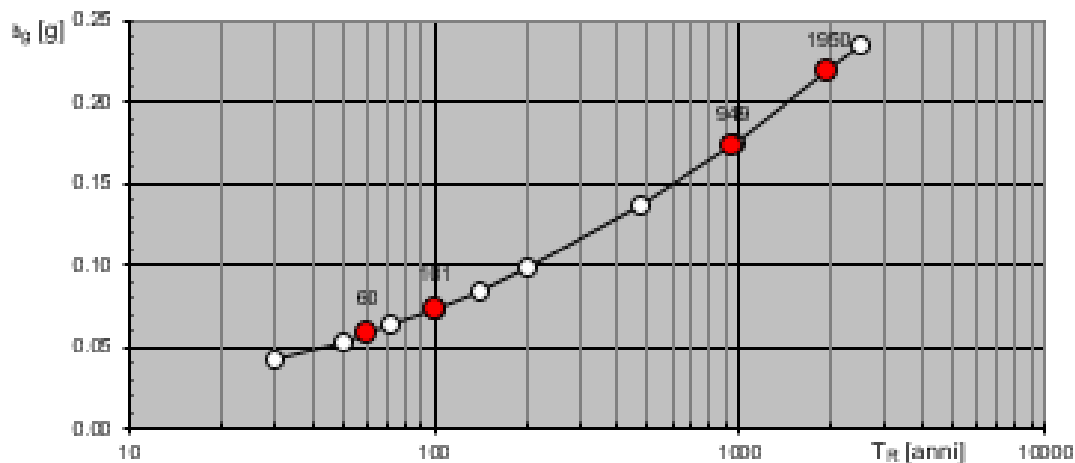
FASE 3

Per la determinazione dell'azione sismica di progetto sono stati considerati i parametri di azione sismica relativi alle coordinate di tutti gli aerogeneratori al fine di utilizzare, a favore di sicurezza, i valori più elevati, che risultano essere quelli in corrispondenza dell'aerogeneratore G01.

Si ottengono i seguenti parametri sismici di progetto:

	T_R	a_g	F_0	T^*_C
SLO	60	0.058	2.403	0.282
SLD	101	0.073	2.389	0.296
SLV	949	0.172	2.501	0.338
SLC	1950	0.217	2.550	0.346

Valori di progetto dei parametri a_g , F_a , T_c in funzione del periodo d



Dalla relazioni geologica e geotecnica è stato rilevato che la Categoria di Sottosuolo che interessa il sito di progetto è la B mentre la Categoria Topografica è T2.

Secondo quanto indicato al paragrafo 7.2 del [12] *Linee guida fornite dal Proponente, Enel Green Power Italia S.r.L "Design and construction guidelines for the foundations of wind turbine generators"* si assume un valore del coefficiente di smorzamento pari all'1%.

Si riportano di seguito le espressioni ed i parametri caratterizzanti lo spettro di risposta orizzontale allo SLV:

Espressioni dei parametri dipendenti

$$S = S_s \cdot S_T \quad (\text{NTC-08 Eq. 3.2.5})$$

$$\eta = \sqrt{10/(5+\zeta)} \geq 0,55; \eta = 1/q \quad (\text{NTC-08 Eq. 3.2.6; §. 3.2.3.5})$$

$$T_B = T_C / 3 \quad (\text{NTC-07 Eq. 3.2.8})$$

$$T_C = C_C \cdot T_C^* \quad (\text{NTC-07 Eq. 3.2.7})$$

$$T_D = 4,0 \cdot a_v / g + 1,6 \quad (\text{NTC-07 Eq. 3.2.9})$$

Espressioni dello spettro di risposta (NTC-08 Eq. 3.2.4)

$$0 \leq T < T_B \quad S_c(T) = a_s \cdot S \cdot \eta \cdot F_v \cdot \left[\frac{T}{T_B} + \frac{1}{\eta \cdot F_v} \left(1 - \frac{T}{T_B} \right) \right]$$

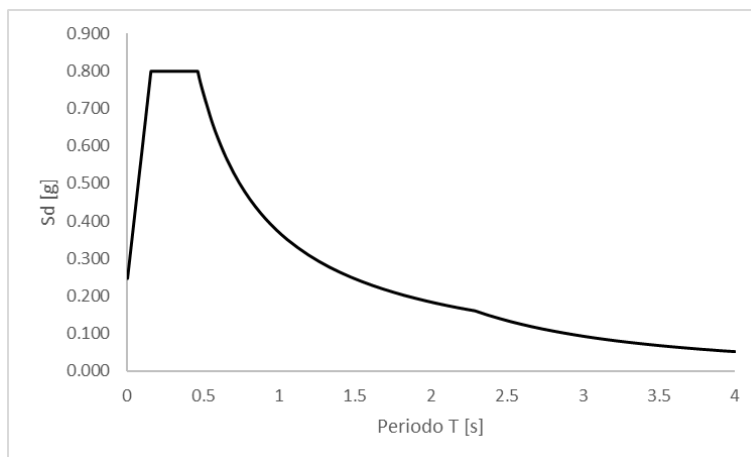
$$T_B \leq T < T_C \quad S_c(T) = a_s \cdot S \cdot \eta \cdot F_v$$

$$T_C \leq T < T_D \quad S_c(T) = a_s \cdot S \cdot \eta \cdot F_v \cdot \left(\frac{T_C}{T} \right)$$

$$T_D \leq T \quad S_c(T) = a_s \cdot S \cdot \eta \cdot F_v \cdot \left(\frac{T_C T_D}{T^2} \right)$$

Categoria di sottosuolo				B	
Coefficiente amplificazione stratigrafica			$S_s =$	1.2	
Coefficiente di amplificazione topografica			$S_T =$	1.2	
Coefficiente S			S	1.440	
Coefficiente C_C			C_C	1.366	
Coefficiente di smorzamento viscoso			ζ	1.000	
Fattore che altera lo spettro			η	1.3	
TC			T_C	0.462	[s]
TB			T_B	0.154	[s]
TD			T_D	2.288	[s]

Si riporta l'andamento dello spettro di risposta orizzontale SLV:



4.3.2. Determinazione della forzante sismica

Per quanto riguarda l'accelerazione sismica da adottare nei calcoli strutturali, si ipotizza che lo spettro di risposta oltre i 4s sia caratterizzato dal medesimo andamento avente per $T_D \leq T \leq 4s$. Come illustrato in tabella sottostante, il periodo proprio della struttura viene determinato pensando la torre incastrata alla base, e risulta pari a 5.30 s. Per questo valore si ottiene $S_d=0.030g$.

Node ID	d_i m	W_i kN	d_i^2 m ²	$W_i d_i^2$ kN m ²	$W_i d_i$ kN m	T s
7	7.903	3143.0	62.450	196279	24837	5.30
12	5.786	849.6	33.483	28447	4916	
11	2.885	843.3	8.325931	7021	2433	
10	1.135	845.5	1.287338	1088	959	
9	0.296	717.7	0.087536	63	212	
8	0.028	638.6	0.000768	0	18	
Σ				232899	33376	

L'accelerazione assunta nei calcoli, come anticipato, sarà pari a 0.030g, da cui ne seguono le forze statiche equivalenti all'azione sismica riportate in seguito.

Se (T_i) 0.030 g

Elemento	z_{min} m	z_{max} m	z m	Δz m	m kg	N kN	V kN	M kN m
Navicella+rotore	115.00	115.00	115.00		314298	3143.0	94.6	10879
Concio fusto 1/5	0.00	13.56	6.78	13.56	84960	849.6	25.6	173
Concio fusto 2/5	13.56	31.76	22.66	18.20	84330	843.3	25.4	575
Concio fusto 3/5	31.76	55.56	43.66	23.80	84550	845.5	25.4	1111
Concio fusto 4/5	55.56	82.44	69.00	26.88	71770	717.7	21.6	1491
Concio fusto 5/5	82.44	112.41	97.43	29.97	63860	638.6	19.2	1873
						7037.7	211.8	16102.8

Per tenere conto della variabilità spaziale del moto sismico e di incertezze nella localizzazione delle masse, come indicato al paragrafo 7.2.6 delle NTC2018 si attribuisce un'eccentricità

accidentale pari al 5% del diametro del basamento. Inoltre, per tenere conto della contemporaneità dell'azione sismica nelle due direzioni ortogonali si considera applicato in direzione Y il 30% dell'azione sismica applicata lungo X. Nella tabella sottostante vengono riassunte le forze sismiche risultanti:

eccentricità 0.05*D 1.25 m

	N kN	F_x kN	F_y kN	M_y kN m	M_x kN m	M_z kN m
SISMA X + 0.3 Y	7037.68	211.83	63.55	16102.8	4830.8	264.8

5. MATERIALI

5.1. Calcestruzzo armato

5.1.1. Magrone

Per il getto di magrone posto al fine di realizzare il piano di fondazioni, plinti, e di tutte le opere che ne necessitano è reliazzato con calcestruzzo di classe di resistenza C12/15 e presenta le seguenti caratteristiche meccaniche:

$$E_{cm} = 27000 \text{ MPa};$$

$$\nu = 0.20;$$

$$\gamma = 25 \text{ kN/m}^3;$$

$$f_{ck} = 12 \text{ MPa};$$

$$f_{cd} = 6.8 \text{ MPa } (0.85f_{ck}/1.5)$$

5.1.2. Pali

Il calcestruzzo previsto per la realizzazione degli elementi di fondazione è di classe di resistenza C25/30 e presenta le seguenti caratteristiche meccaniche:

$$E_{cm} = 31500 \text{ MPa};$$

$$\nu = 0.20;$$

$$\gamma = 25 \text{ kN/m}^3;$$

$$f_{ck} = 25 \text{ MPa};$$

$$f_{cd} = 14.17 \text{ MPa } (=0.85f_{ck}/1.5)$$

Classe di consistenza: S4 (slump tra 16 e 21 cm)

Classe di esposizione: XC2 (Bagnato, raramente asciutto)

Dimensione massima aggregato: 25 mm

5.1.3. Basamento

Il calcestruzzo previsto per la realizzazione degli elementi di fondazione è di classe di resistenza C32/40 e presenta le seguenti caratteristiche meccaniche:

$$E_{cm} = 33300 \text{ MPa};$$

$$v = 0.20;$$

$$\gamma = 25 \text{ kN/m}^3;$$

$$f_{ck} = 32 \text{ MPa};$$

$$f_{cd} = 18.13 \text{ MPa} (=0.85f_{ck}/1.5)$$

Classe di consistenza: S4 (slump tra 16 e 21 cm)

Classe di esposizione: XC4 (Bagnato, raramente asciutto)

Dimensione massima aggregato: 25 mm

5.1.4. Colletto di innesto

Il calcestruzzo previsto per la realizzazione degli elementi di fondazione è di classe di resistenza C45/55 e presenta le seguenti caratteristiche meccaniche:

$$E_{cm} = 36200 \text{ MPa};$$

$$v = 0.20;$$

$$\gamma = 25 \text{ kN/m}^3;$$

$$f_{ck} = 45 \text{ MPa};$$

$$f_{cd} = 25.5 \text{ MPa} (=0.85f_{ck}/1.5)$$

Classe di consistenza: S4 (slump tra 16 e 21 cm)

Classe di esposizione: XC4 (Bagnato, raramente asciutto)

Dimensione massima aggregato: 25 mm

5.1.5. Acciaio di armatura

L'acciaio impiegato per le armature di strutture in CA deve essere di tipo B450C e presentare le seguenti caratteristiche:

$$E = 200000 \text{ MPa};$$

$$v = 0.30;$$

$$\alpha = 12 \cdot 10^{-6};$$

$$\gamma = 78.50 \text{ kN/m}^3;$$

$$f_{yk} = 450 \text{ MPa};$$

$$f_{uk} = 540 \text{ Mpa}.$$

6. SOFTWARE IMPIEGATO PER LE ANALISI FEM

Le sollecitazioni di progetto utili per la verifica delle strutture sono state desunte da un modello agli elementi finiti tridimensionale elaborato con il codice di calcolo Midas Gen di Midas Information Technology di estesa commercializzazione.

I modelli strutturali sono stati realizzati congruentemente alle geometrie strutturali e alle caratteristiche dei materiali rappresentate negli elaborati strutturali di progetto.

6.1. Sistemi di riferimento

In Midas Gen sono definiti i seguenti sistemi di coordinate

- Global Coordinate System (GCS)
- Element Coordinate System (ECS)
- Node local Coordinate System (NCS)

Il GCS usa le lettere maiuscole X, Y e Z per definire un sistema di coordinate cartesiale globale, che segue la regola della mano destra. È utilizzato per la maggior parte della definizione degli input, compreso ad esempio la definizione dei nodi e la restituzione di risultati globali ad essi associati, quali spostamenti e reazioni vincolari.

Il GCS definisce la posizione geometrica della struttura da analizzare e il suo punto di riferimento (l'origine) è automaticamente fissata al set di coordinate (0,0,0). Dal momento che la direzione verticale è rappresentata dall'asse Z è convenzionale modellare le strutture nel loro sviluppo verticale lungo questo asse.

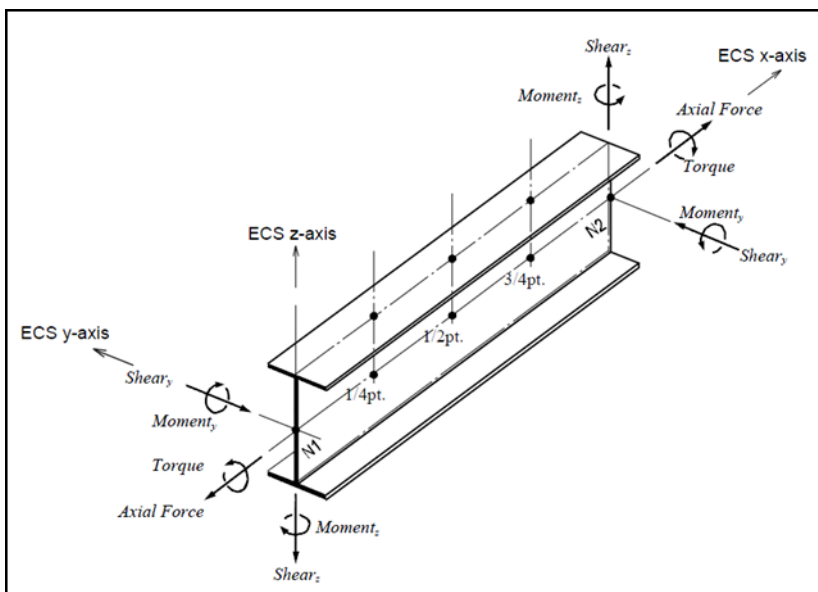
L'ECS usa le lettere minuscole x,y e z per definire un sistema di riferimento cartesiano, che segue la regola della mano destra, associati a un elemento. I risultati delle analisi in termini di forze interne e tensioni e la maggior parte degli input associati al singolo elemento sono espressi in questo sistema di coordinate locali.

6.2. Elementi beam

Gli elementi a due nodi assimilabili a elementi strutturali monodimensionali, quali travi e pilatri, sono stati modellati come elementi beam. La formulazione di tali elementi è basata sulla teoria della trave di Timoshenko, considerando le capacità di rigidità in tensione e compressione, taglio e le capacità deformative in condizione di flessione e torsione. La definizione delle caratteristiche della sezione trasversale, caratterizzanti la meccanica dell'elemento, sono definite da apposite finestre di dialogo all'interno del software.

6.2.1. Output delle azioni interne

Per gli elementi beam la convenzione dei segni è quella riportata nella figura seguente, le frecce indicano i versi delle sollecitazioni considerate come positive.



6.3. Elementi plate

Gli elementi planari a 3 o 4 nodi sono definiti come elementi plate (i nodi che definiscono l'elemento saranno chiamati N1, N2, N3 e, nel caso di elemento a 4 nodi, N4). Questa tipologia di elemento è capace di tener conto di tensioni e compressioni nel piano, sforzi di taglio dentro e fuori dal piano e sollecitazioni di momento flettente nel piano.

Questo elemento può essere utilizzato per modellare strutture in cui sono permesse sia flessioni nel piano sia fuori dal piano, ad esempio per definire serbatoi in pressione, muri di contenimento, impalcati da ponte, impalcati di edifici, fondazioni continue.

I carichi di pressione possono essere applicati sulle superfici degli elementi secondo i sistemi di riferimento GCS o ECS.

Un elemento plate può avere forma quadrilatera o triangolare, con rigidità assiale e a taglio nel piano e rigidità flessionale e a taglio fuori dal piano di riferimento.

Il comportamento flessionale degli elementi plate è descritto secondo due approcci: DKT/DKQ (Discrete Kirchhoff elements) e DKMT/DKMQ (Discrete Kirchhoff-Mindlin elements). DKT/DKQ è sviluppato sulla base della teoria di Kirchhoff per elementi bidimensionali sottili, DKMT/DKMQ è sviluppata sulla base della teoria Mindlin-Reissner per elementi bidimensionali moderatamente spessi.

Il comportamento nel piano è formulato in accordo alla teoria LST (Linear Strain Triangle) per gli elementi a 3 nodi e in accordo alla formulazione degli elementi isoparametrici a tensione piana con aggiunta di modi incompatibili per gli elementi a 4 nodi.

In generale, la rigidità è valutata in maniera automatica dal software a partire dallo spessore e dai parametri meccanici definiti dall'utente per gli elementi; il peso proprio strutturale e la massa strutturale di un elemento plate sono valutati in maniera automatica dal software a partire dallo spessore assegnato all'elemento e da peso nell'unità di volume e densità di massa definita per il materiale assegnati all'elemento.

6.3.1. Gradi di libertà degli elementi e ecs

Il sistema di riferimento ECS di ogni elemento è utilizzato quando il programma calcola la matrice di rigidità per l'elemento. Gli output grafici delle componenti di sollecitazione sono riportate anche nell'ECS nella fase di post-processing.

I gradi di libertà traslazionali esistono nell'ECS come direzioni XYZ e le rotazioni sono definite rispetto agli assi x e y dell'ECS. Le direzioni degli assi dell'ECS sono rappresentate nella Figura 6-1. In caso di elementi quadrilateri, la direzione del pollice rispetto alla regola della mano destra definisce l'asse Z dell'ECS. La direzione di rotazione (N1, N2, N3, N4) segue la regola della mano destra e definisce la direzione del verso positivo. L'asse Z dell'ECS ha origine dal centro della superficie dell'elemento e ha direzione perpendicolare a essa. La linea che connette il punto medio tra N1 e N4 e il punto medio tra N2 e N3 definisce la direzione dell'asse x. La direzione perpendicolare all'asse x diventa la direzione dell'asse y dell'ECS con verso stabilito dalla regola della mano destra.

Per un elemento triangolare, la linea parallela alla direzione che va da N1 a N2, passante per il centro dell'elemento diventa l'asse X dell'ECS. Le direzioni y e z sono definite come per gli elementi a 4 lati prima descritti.

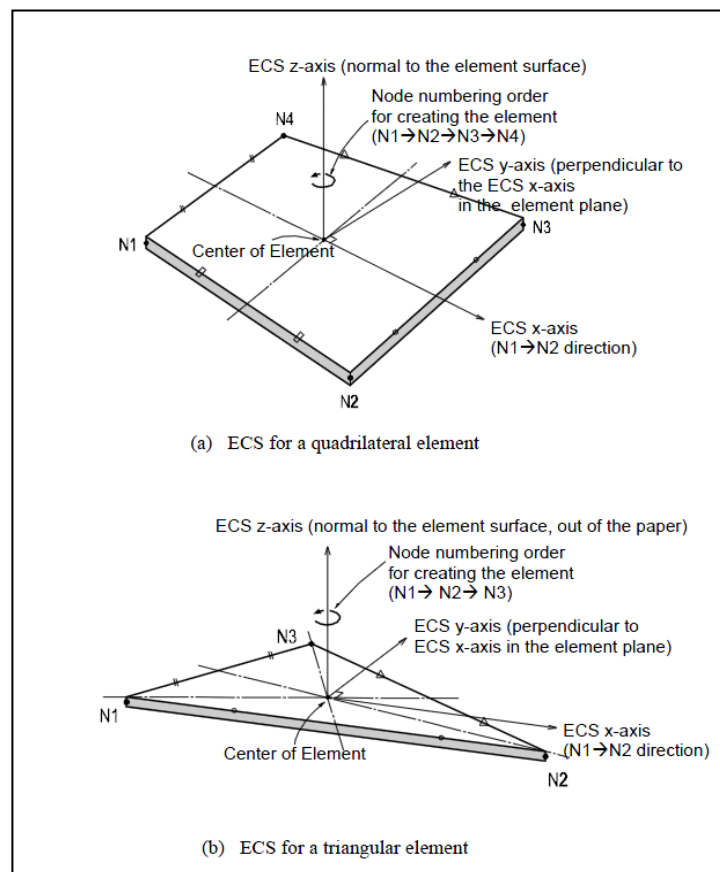


Figura 6-1 - Definizione degli elementi plate e rispettivi ECS

6.3.2. Output delle azioni interne

La convenzione dei segni per le azioni interne di un elemento plate e per le sollecitazioni è definita sia dall'ECS che dal GCS.

I seguenti risultati di output sono definite con riferimento all'ECS:

Azioni sui nodi di connessione

Azioni per unità di lunghezza sui nodi di connessione e sul baricentro dell'elemento

Tensioni sulla superficie superiore e inferiore in corrispondenza dei nodi di connessione

In ogni nodo, moltiplicando ogni componente di spostamento nodale per la corrispondente componenti di rigidezza viene determinata l'azione dell'elemento sul nodo.

Per calcolare le forze per unità di lunghezza in un nodo di connessione o nel baricentro di un elemento, le tensioni sono calcolate separatamente per il comportamento nel piano e quello fuori dal piano e integrate nella direzione dello spessore.

Nelle figure successive sono mostrate le convenzioni secondo le quali sono esplicitate le sollecitazioni sugli elementi plate. Le frecce indicano il verso positivo delle forze.

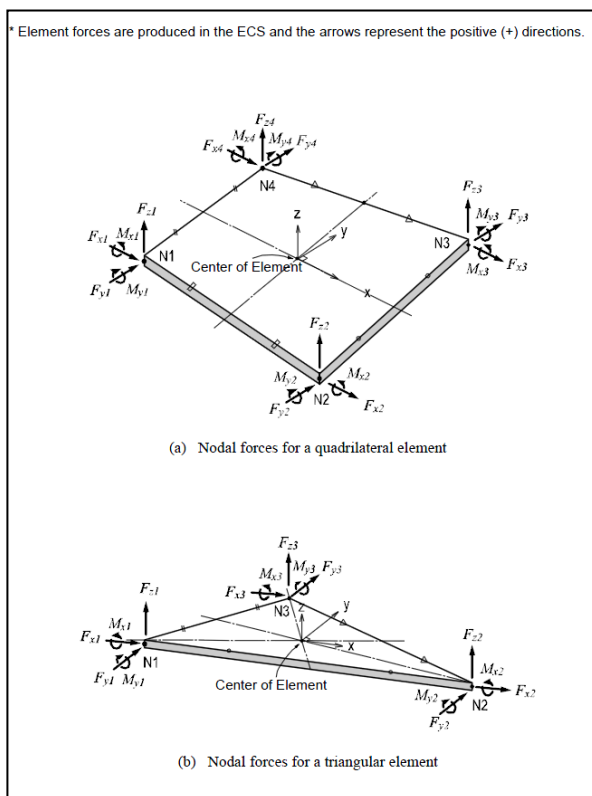
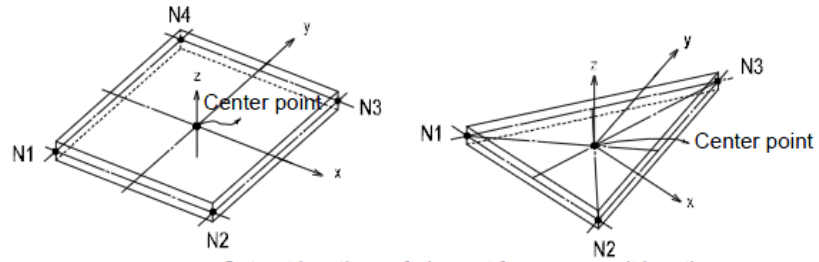
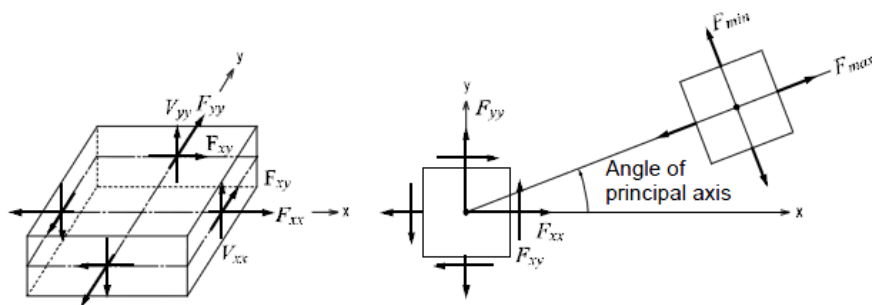


Figura 6-2 - Convenzione dei segni per le forze nodali degli elementi plate

* Element forces are produced in the ECS and the arrows represent the positive (+) directions.

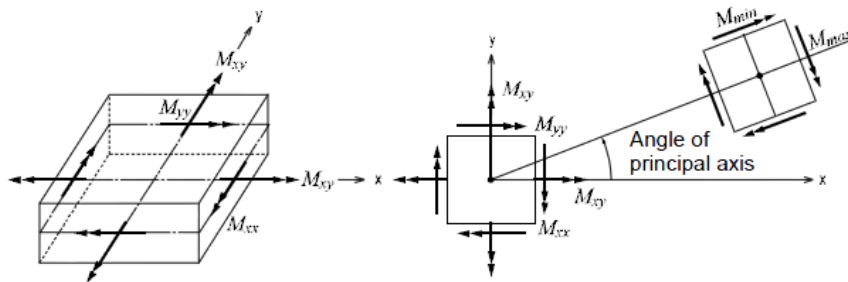


- Out put locations of element forces per unit length
- (a) Output locations of element forces



(b) Forces per unit length due to in-plane actions at the output locations

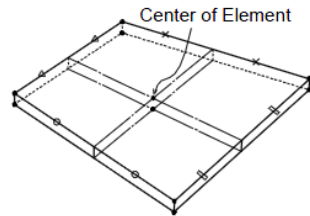
Figura 6-3 – Convenzione dei segni per l'output delle forze per unità di lunghezza



(c) Moments per unit length due to out-of-plane bending actions at the output locations

Figura 6-4 - Convenzione dei segni per le azioni flessionali fuori dal piano

* Element forces are produced in the ECS and the arrows represent the positive (+) directions.



• Output locations of the element stresses (at each connecting node and the center at top/bottom surfaces)

(a) Output locations of element stresses

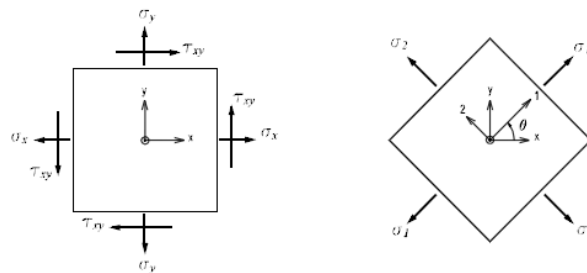


Figura 6-5 - Convenzione dei segni per le tensioni agenti

σ_x : Axial stress in the ECS x - direction

σ_y : Axial stress in the ECS y - direction

τ_{xy} : Shear stress in the ECS x - y plane

$$\sigma_1 : \text{Maximum principal stress} = \frac{\sigma_x + \sigma_y}{2} + \sqrt{\left(\frac{\sigma_x - \sigma_y}{2}\right)^2 + \tau_{xy}^2}$$

$$\sigma_2 : \text{Minimum principal stress} = \frac{\sigma_x + \sigma_y}{2} - \sqrt{\left(\frac{\sigma_x - \sigma_y}{2}\right)^2 + \tau_{xy}^2}$$

$$\tau_{xy} : \text{Maximum shear stress} = \sqrt{\left(\frac{\sigma_x - \sigma_y}{2}\right)^2 + \tau_{xy}^2}$$

θ : Angle between the x - axis and the principal axis, 1

$$\sigma_{eff} : \text{von - Mises Stress} = \sqrt{(\sigma_1^2 - \sigma_1\sigma_2 + \sigma_2^2)}$$

(b) Sign convention for plate element stresses

Figura 6-6 - Determinazione delle principali componenti di tensione

7. ANALISI STRUTTURALE E VERIFICHE

7.1. Analisi strutturale tramite modello FEM

L'analisi strutturale è stata utilizzata utilizzando il software MidasGen 2021, realizzando un modello ad elementi finiti tridimensionale. Gli elementi strutturali sono stati schematizzati mediante elementi finiti di tipo beam e plate, introducendo le condizioni di vincolo esterno e gli opportuni svincoli nei punti in cui in vincolo di collegamento è a cerniera.

Vista la condizione di simmetria dei carichi indotti e delle strutture, i carichi orizzontali verranno applicati in direzione radiale lungo un'unica direzione.

Le azioni di vento e sisma verranno applicate con approccio statico equivalente, secondo le determinazioni dei loro effetti determinati nei capitoli precedenti.

I quantitativi di armatura ottenuti nelle seguenti elaborazioni dovranno essere disposti nella piastra in maniera simmetrica rispetto all'asse verticale baricentrico della platea.

Nei successivi paragrafi vengono riportati con maggiore dettaglio le ipotesi poste alla base delle analisi.

7.1.1. Geometria del modello

Il basamento è stato discretizzato attraverso una mesh di elementi plate che simulano anche l'effetto della variazione della sezione in altezza. Il modello segue quindi con buona approssimazione la variazione di peso e rigidità della sezione resistente e la forma circolare del basamento.

Sul perimetro di innesto della struttura metallica sono stati disposti una serie di nodi collegati mediante un link rigido a un nodo master, nei quali sono state applicate le componenti delle forze che derivano dalla turbina. Nel nodo vengono quindi applicate le seguenti forze:

- carichi gravitazionali delle strutture innestate
- azioni del vento sulla turbina, come definite in 4.2.1
- azioni sismiche, come definite in 4.3

Il nodo è stato posizionato a una quota di 4.25 m superiore rispetto alla quota di testa dei pali, per poter tener conto degli effetti di eccentricità dei carichi verticali rispetto alla platea.

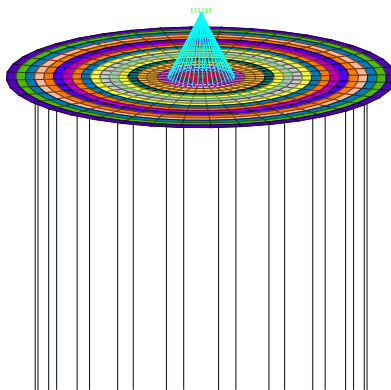


Figure 7-1 - Nodo master per l'applicazione dei carichi provenienti dalla torre

I pali sono stati modellati alla distanza esatta a cui verranno posti rispetto alla platea mediante elementi beam incastrati nei nodi.

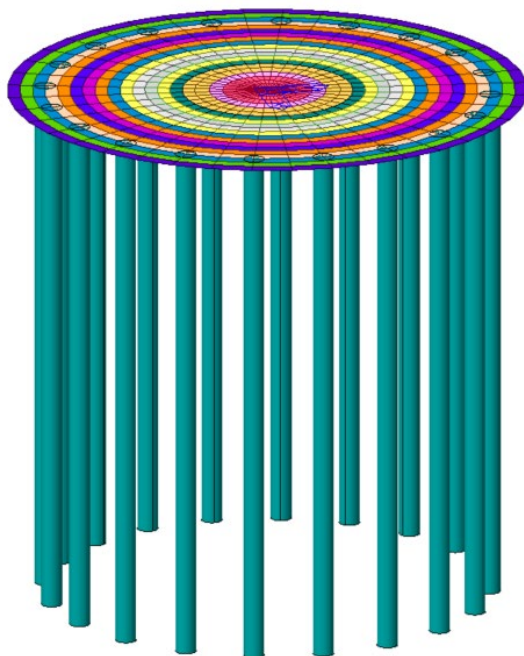


Figure 7-2 - Modello FEM, vista prospettica

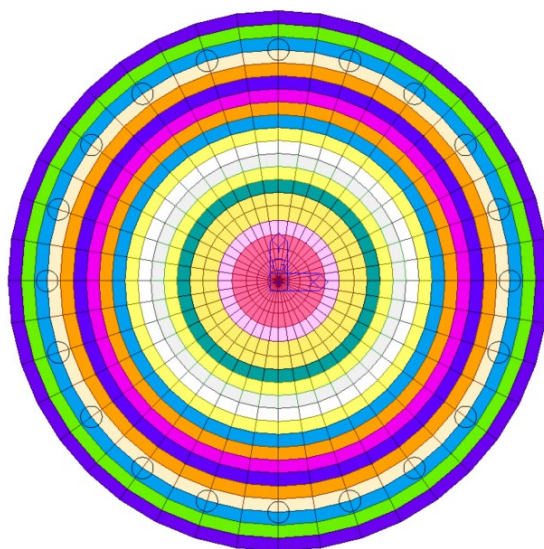


Figure 7-3 - Modello FEM, vista dal basso

7.1.2. Vincoli

Essendo la struttura su pali, si immagina che l'intero carico venga ripartito su tali elementi. Lo spostamento orizzontale viene bloccato sulla testa del palo, mentre in direzione verticale è vincolato con un vincolo a molla che simula il cedimento dovuto al carico subito. La rigidità della molla si calcola a partire da una stima della portata del singolo palo e del relativo cedimento, si rimanda al paragrafo 7.2.2 per la trattazione.

7.1.3. Casi di di carico

Si riportano le condizioni di carico applicate al modello di calcolo

Carico G2 rappresentante i pesi permanenti non strutturali viene diviso tra peso del terreno sovrastante il basamento (G2_terreno) e peso proprio della turbina e relative componenti (G2_WGT). Quest'ultimo viene applicato per tenere in considerazione l'effetto del peso sul basamento solamente nelle combinazioni dove non è presente l'azione del vento nella quale invece è già compreso nei carichi forniti dalle specifiche del produttore.

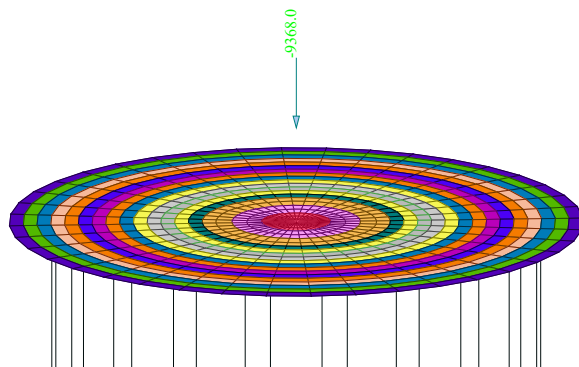


Figure 7-4 Load condition G2_terreno

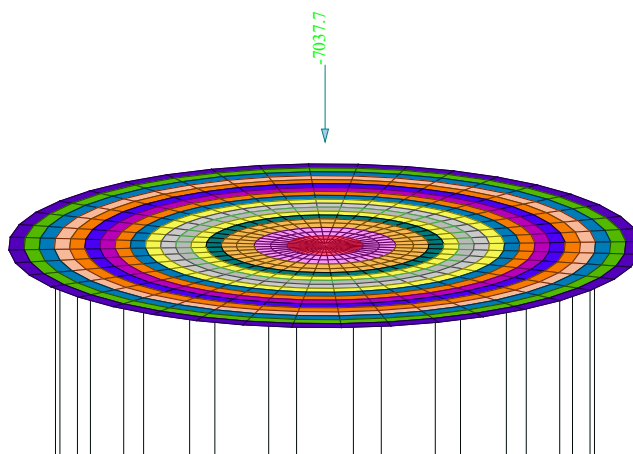


Figure 7-5 Load condition G2_WGT

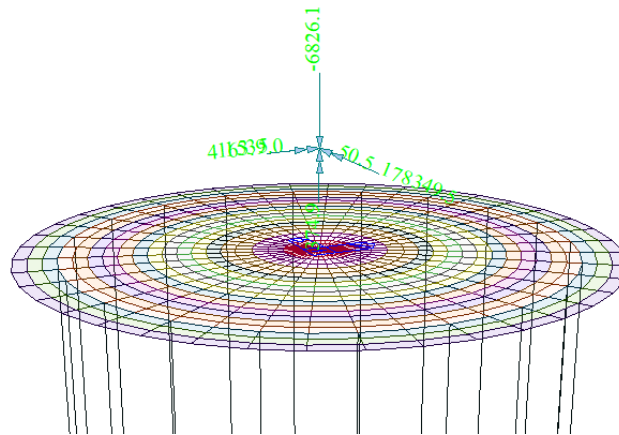


Figure 7-6 - Load condition W_Characteristic

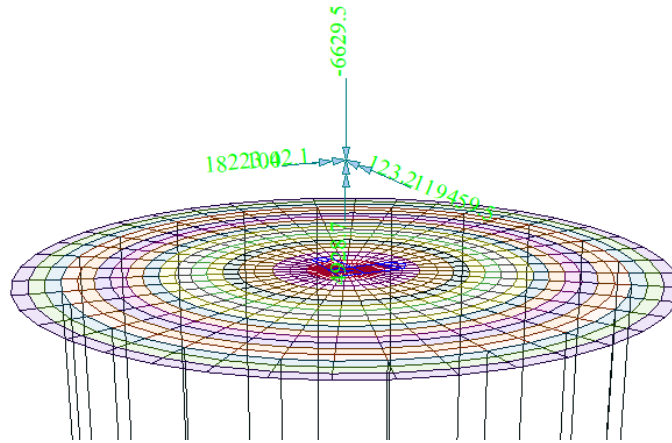


Figure 7-7 - Load condition W_Quasi-Permanent

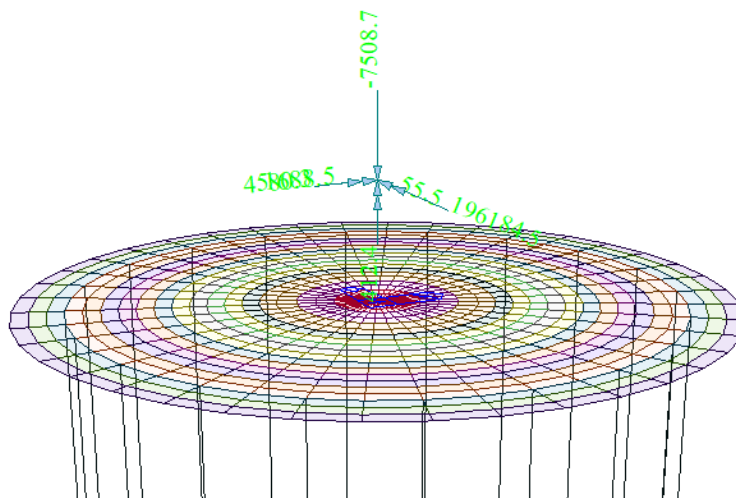


Figure 7-8 - Load condition W_Extreme

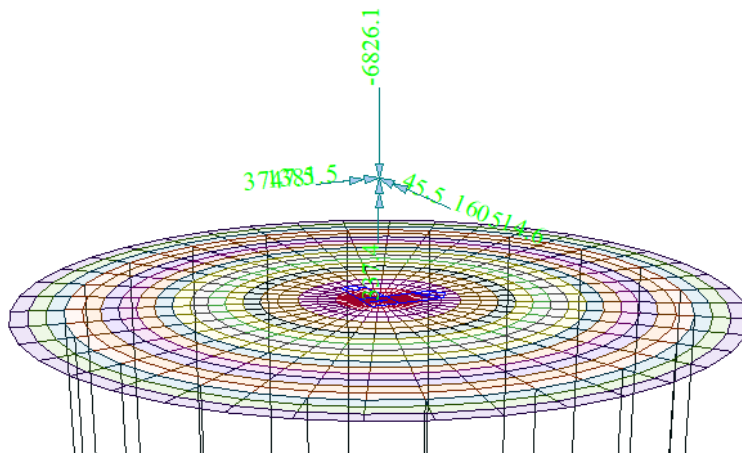


Figure 7-9 - Load condition W_Frequent

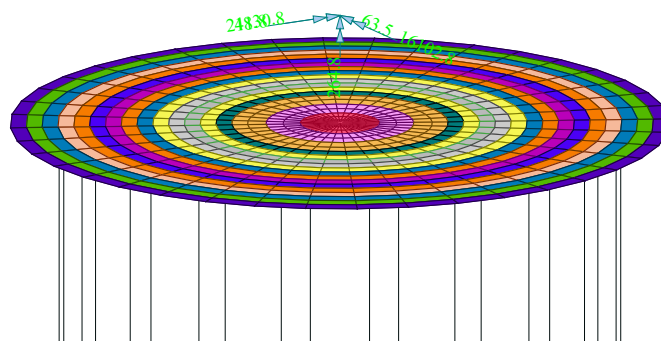


Figure 7-10 - Load condition E

7.1.4. Combinazioni di carico

Le combinazioni di calcolo selezionate per le verifiche di tipo STR per le quali dovranno essere impiegati i coefficienti definiti nella colonna A1 della tabella Tab. 2.6.I delle NTC2018.

Tab. 2.6.I – Coefficienti parziali per le azioni o per l'effetto delle azioni nelle verifiche SLU

		Coefficiente	EQU	A1	A2
		γ_F			
Carichi permanenti G_1	Favorevoli	γ_{G1}	0,9	1,0	1,0
	Sfavorevoli		1,1	1,3	1,0
Carichi permanenti non strutturali $G_2^{(1)}$	Favorevoli	γ_{G2}	0,8	0,8	0,8
	Sfavorevoli		1,5	1,5	1,3
Azioni variabili Q	Favorevoli	γ_Q	0,0	0,0	0,0
	Sfavorevoli		1,5	1,5	1,3

⁽¹⁾ Nel caso in cui l'intensità dei carichi permanenti non strutturali o di una parte di essi (ad es. carichi permanenti portati) sia ben definita in fase di progetto, per detti carichi o per la parte di essi nota si potranno adottare gli stessi coefficienti parziali validi per le azioni permanenti.

Di seguito vengono elencati i carichi oggetto delle successive combinazioni, i valori sono indicati nelle rispettive tabelle estratte da "Foundation loads T115-50A SG 6.0-170" al precedente paragrafo 5.3.

Casi di carico

Cat.	
G1	pesi permanenti strutturali
G2_terreno	pesi permanenti non strutturali
G2_wtg	pesi permanenti non strutturali
W_Characteristic	carichi da vento caratteristici
W_QP	carichi da vento in condizione quasi permanente
W_Extreme	carichi da vento in condizione extreme (load factor 1.1)
W_Frequent	carichi 0.9*W_Characteristic eccetto Fz = Fz di W_Characteristic
E	sisma

La seguente tabella contiene le combinazioni di carico utilizzate nei calcoli.

COMBO	TYPE	G1	G2_terreno	G2_wtg	W_Characteristic	W_QP	W_Extreme	W_Frequent	E
SLU1	Strength/Stress	Add	1.30	1.50	1.50				
SLU2	Strength/Stress	Add	1.30	1.50			1.35		
SLU3	Strength/Stress	Add	1.00	0.80			1.35		
SLUext	Strength/Stress	Add	1.00	1.00				1.00	
SLV1	Strength/Stress(Elastic)	Add	1.00	1.00	1.00				1.00
SLV2	Strength/Stress(Elastic)	Add	1.00	1.00			1.00		1.00
SLEr	Serviceability	Add	1.00	1.00		1.00			
SLEf	Serviceability	Add	1.00	1.00					1.00
SLEqp	Serviceability	Add	1.00	1.00			1.00		

Le combinazioni "SLU2" e "SLU3" si riferiscono alla combinazione fondamentale allo Stato Limite Ultimo. Viene attribuito il coefficiente amplificativo 1.35 in quanto si fa riferimento alla condizione "Normal", ovvero le normali condizioni di esercizio della turbina, come riportato nella sottostante tabella estratta documento "Design and construction guidelines for the foundations of wind turbine generators". Tale documento viene considerato come "di comprovata validità" rispetto alle NTC2018. I carichi da utilizzare nella condizione "Normal", sono quelli riportati nella tabella dei carichi quasi-permanenti (W_QP), come precisato dal produttore.

La combinazione "SLUext" si riferisce alla combinazione allo Stato Limite Ultimo per azioni di tipo eccezionale. In questa combinazione i carichi da vento utilizzati sono gli "Extreme loads" (W_Extreme) in condizione "Abnormal", quindi quelli riportati nella relativa tabella in corrispondenza del load factor 1.1, proprio della condizione "Abnormal".

La combinazione "SLV1" rappresenta la combinazione allo Stato Limite Ultimo per sisma.

La combinazione "SLV2" rappresenta la combinazione allo Stato Limite Ultimo per sisma combinata con l'azione del vento nelle normali condizioni di esercizio della turbina (W_QP), come indicato al paragrafo 7.3 del documento "Design and construction guidelines for the foundations of wind turbine generators".

La combinazione "SLEr" contiene i carichi da vento caratteristici ($W_{Characteristic}$).

La combinazione "SLEf" contiene i carichi da vento caratteristici ($W_{Characteristic}$) moltiplicati per il fattore riduttivo 0.9, ad eccezione del carico F_z , che rimane pari a quello caratteristico.

La combinazione "SLEqp" contiene i carichi da vento in condizione quasi-permanente (W_{QP}).

Unfavourable loads			Favourable ⁹ loads
Type of design situation (see Table 2)			All design situations
Normal (N)	Abnormal (A)	Transport and erection (T)	
1,35*	1,1	1,5	0,9

* For design load case DLC 1.1, given that loads are determined using statistical load extrapolation at prescribed wind speeds between V_{in} and V_{out} , the partial load factor for normal design situations shall be $\gamma_f = 1,25$.

If for normal design situations the characteristic value of the load response $F_{gravity}$ due to gravity can be calculated for the design situation in question, and gravity is an unfavourable load, the partial load factor for combined loading from gravity and other sources may have the value

$$\gamma_f = 1,1 + \rho_S^{-2}$$

$$\rho = \begin{cases} 0,15 & \text{for DLC1.1} \\ 0,25 & \text{otherwise} \end{cases}$$

$$\zeta = \begin{cases} 1 - \frac{|F_{gravity}|}{|R_k|} & |F_{gravity}| \leq |R_k| \\ 1 & |F_{gravity}| > |R_k| \end{cases}$$

Oltre ai casi di carico sopra elencati sono state introdotte anche delle combinazioni di involuppo delle combinazioni di stato limite ultimo ("SLUenv").

7.1.5. Giudizio motivato accettabilità dei risultati

Al fine di validare il modello di calcolo vengono confrontati i risultati ottenuti da:

- Modello di calcolo FEM;
- Calcolo manuale su piastra rigida delle reazioni alla testa dei pali con foglio excel

Visti gli spessori degli elementi assunti i due risultati portano a valori di reazione verticale simile. Le valutazioni vengono eseguite sulla combinazione di carico "SLer".

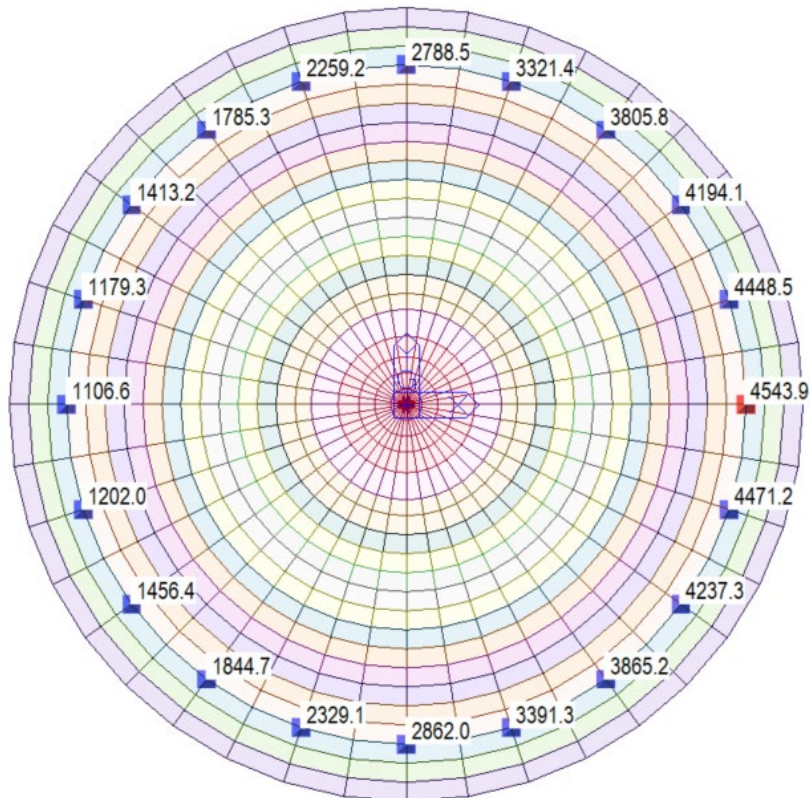
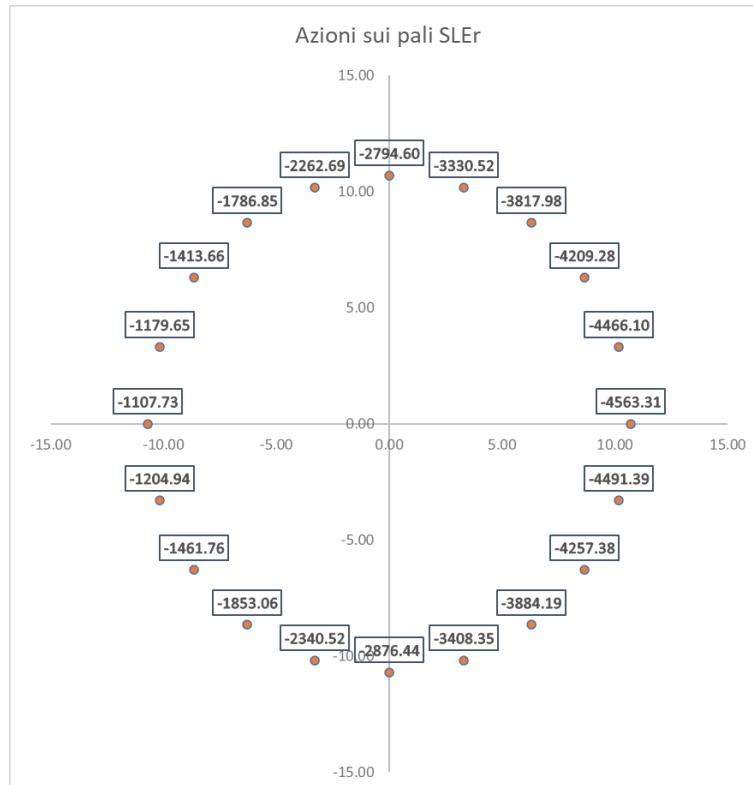


Figure 7-11 - Reazioni verticali su modello FEM

Di seguito, elaborazione con foglio di calcolo Excel e relativa rappresentazione grafica delle reazioni sui pali ottenute:

DATI DI INPUT									
Raggio del basamento						Rb	12.5	m	
Raggio colletto						Rc	3	m	
Diametro del basamento						Rb	25	m	
Diametro colletto						Dc	6	m	
Altezza minima basamento						hmin	1.5	m	
Altezza massima basamento						hmax	3.75	m	
Altezza colletto						hc	0.5	m	
Diametro del palo						Øp	1	m	
Raggio d'asse pali						Rp	10.7	m	
Lunghezza palo						Lp	25	m	
Peso specifico terreno						γ	18	kN/mc	
Altezza massima terreno						ht	2.25	m	
Larghezza porzione terreno						Lt	9.5	m	
PESO DEL BASAMENTO									
VOLUME cilindro inferiore						Vinf	736.3	m ³	
VOLUME tronco di cono						Vsup	477.7	m ³	
VOLUME colletto						Vcol	14.1	m ³	
VOLUME basamento						V	1228.2	m ³	
VOLUME terreno						Vt	520.4	m ³	
Peso basamento						G1,b	-30704.15945	kN	
Peso palo						G1,p	-490.625	kN	
Peso terreno						G2, terreno	-9367.640244	kN	
FORZE ALL'INNESTO DELLA TURBINA									
Coefficiente di combinazione pesi permanenti						γG1	1		
Coefficiente di combinazione sovraccarichi						γQ	1		
Forza verticale						Fz	-6826.1	kN	
Forza orizzontale direzione X						Fx	1535.05	kN	
Forza orizzontale direzione Y						Fy	50.5	kN	
Quota di applicazione delle forze						zF	4.25	m	
Momento attorno a Y						My	178349.5	kN m	
Momento attorno a X						Mx	4163.87	kN m	
Torsione alla base						Mz	374.9	kN m	
CARICHI SLE									
Forza verticale						Fz	-56710.40	kN	Contributo taglio su palo
Forza orizzontale direzione X						Fx	1535.05	kN	76.7525
Forza orizzontale direzione Y						Fy	50.50	kN	2.525
Momento attorno a Y						My	184873.46	kN m	
Momento attorno a X						Mx	4378.50	kN m	
Torsione alla base						Mz	374.90	kN m	1.752
Numero pali						np	20		
Distanza angolare pali						α	18	°	
np _i	α _i	X _i	Y _i	X _i ²	Y _i ²	Fz/np	My*Xy/Jy	Mx*Yi/Jx	N _p
1	0	10.70	0.00	114.49	0.00	-2835.52	-1727.79	0.00	-4563.31
2	18	10.18	3.31	103.56	10.93	-2835.52	-1643.23	12.65	-4466.10
3	36	8.66	6.29	74.93	39.56	-2835.52	-1397.81	24.05	-4209.28
4	54	6.29	8.66	39.56	74.93	-2835.52	-1015.57	33.11	-3817.98
5	72	3.31	10.18	10.93	103.56	-2835.52	-533.92	38.92	-3330.52
6	90	0.00	10.70	0.00	114.49	-2835.52	0.00	40.92	-2794.60
7	108	-3.31	10.18	10.93	103.56	-2835.52	533.92	38.92	-2262.69
8	126	-6.29	8.66	39.56	74.93	-2835.52	1015.57	33.11	-1786.85
9	144	-8.66	6.29	74.93	39.56	-2835.52	1397.81	24.05	-1413.66
10	162	-10.18	3.31	103.56	10.93	-2835.52	1643.23	12.65	-1179.65
11	180	-10.70	0.00	114.49	0.00	-2835.52	1727.79	0.00	-1107.73
12	198	-10.18	-3.31	103.56	10.93	-2835.52	1643.23	-12.65	-1204.94
13	216	-8.66	-6.29	74.93	39.56	-2835.52	1397.81	-24.05	-1461.76
14	234	-6.29	-8.66	39.56	74.93	-2835.52	1015.57	-33.11	-1853.06
15	252	-3.31	-10.18	10.93	103.56	-2835.52	533.92	-38.92	-2340.52
16	270	0.00	-10.70	0.00	114.49	-2835.52	0.00	-40.92	-2876.44
17	288	3.31	-10.18	10.93	103.56	-2835.52	-533.92	-38.92	-3408.35
18	306	6.29	-8.66	39.56	74.93	-2835.52	-1015.57	-33.11	-3884.19
19	324	8.66	-6.29	74.93	39.56	-2835.52	-1397.81	-24.05	-4257.38
20	342	10.18	-3.31	103.56	10.93	-2835.52	-1643.23	-12.65	-4491.39
G		0.00	0.00						
J _i				1144.9	1144.90				
Massima azione su palo						N _{p,MAX}	-1107.73	kN	
Minima azione su palo						N _{p,MIN}	-4563.31	kN	
Taglio su palo singolo						V _{p,MIN}	78.55	kN	



Lo scarto tra i risultati forniti dai due modelli è trascurabile; il modello FEM risponde in maniera efficace agli input dati.

7.2. Risultati del modello FEM

7.2.1. Direzioni fissate per gli assi locali degli elementi

L'analisi strutturale è stata eseguita facendo riferimento al sistema di riferimento globale per la definizione delle azioni agenti.

Per migliorare la lettura delle sollecitazioni sono stati orientati gli assi di riferimento locale degli elementi in direzione radiale (assi x) e circonferenziale (assi y).

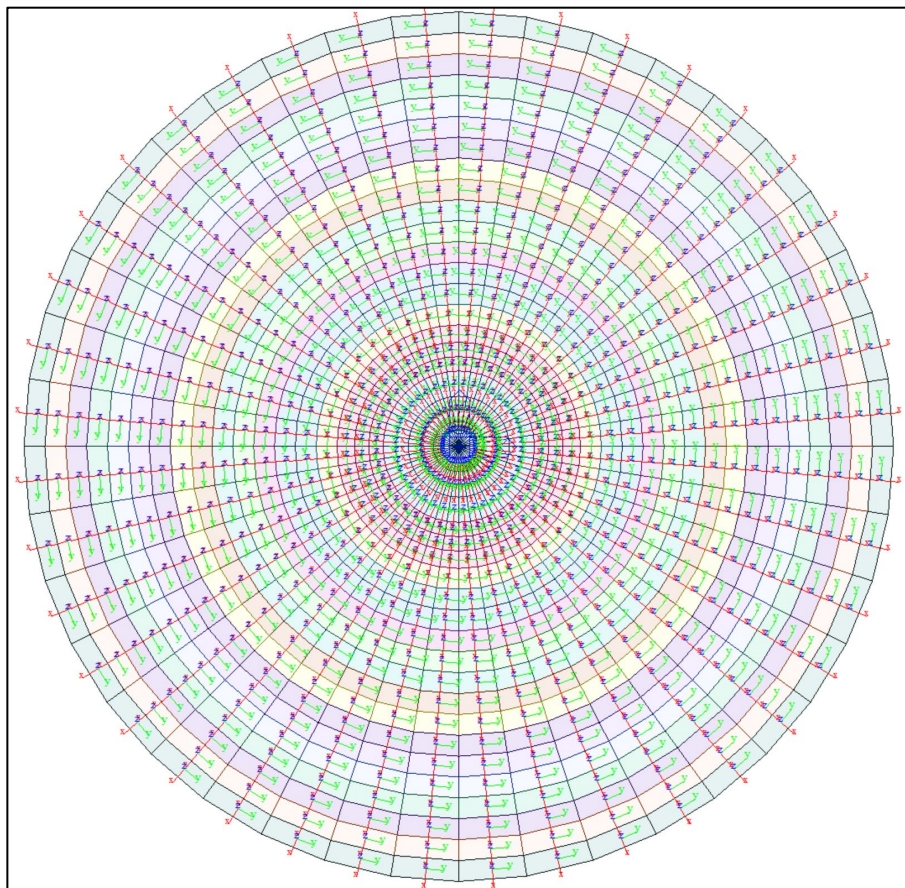


Figure 7-12 Assi di riferimento locali su elementi plate

Le armature che verranno assegnate agli elementi plate vengono definite in direzione circonferenziale e radiale per gli elementi posti esternamente al nucleo di innesto della torre della turbina eolica, la porzione centrale ha armature definite in direzione X e Y

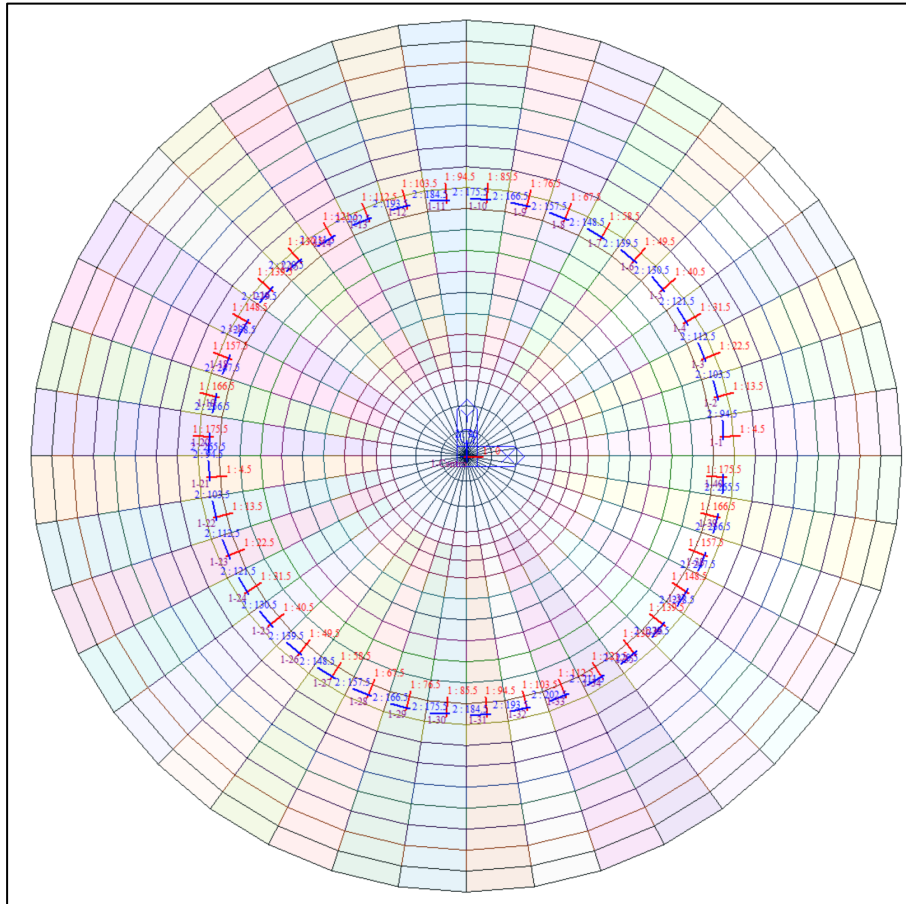


Figure 7-13 - Assi di riferimento delle armature

7.2.2. Azioni assiali sui pali

Si riportano le reazioni massime misurate alla base dei pali. Le forze sono indicate in kN.

I valori mostrati nell'immagine seguente si riferiscono all'involuppo delle combinazioni SLU e SLV. Il software indica con il segno (+) azioni assiali di compressione.

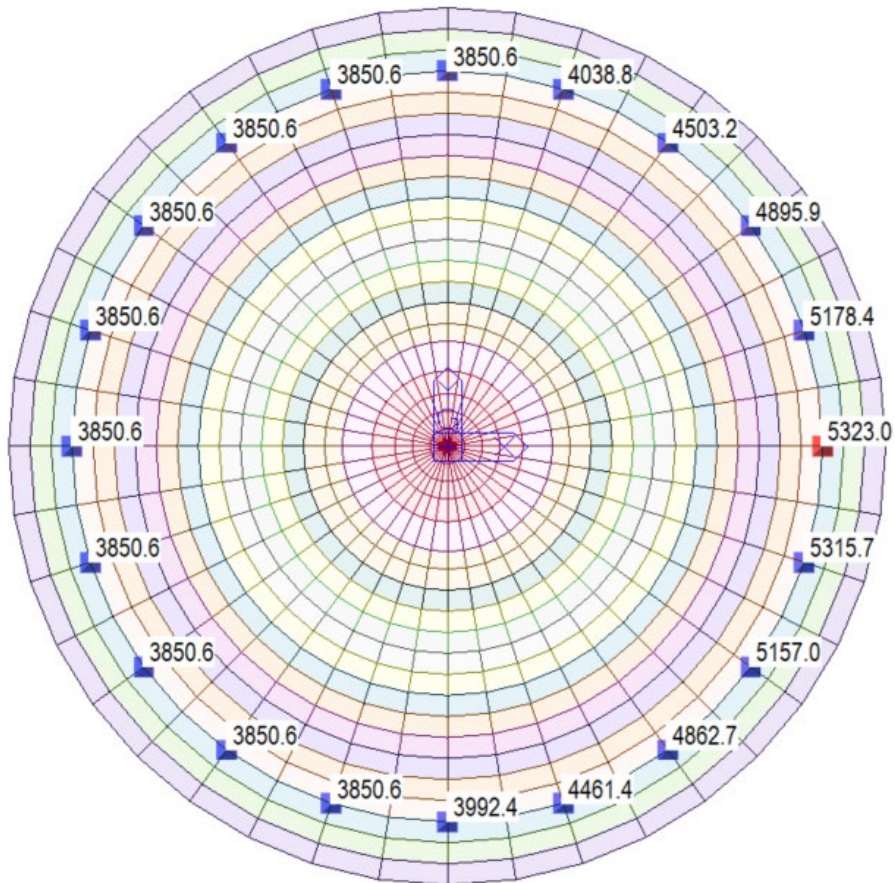


Figure 7-14 - Reazioni verticali massime riportate alla punta del palo

Sulla base delle proprietà dei terreni forniti dalla relazione preliminare geologica e geotecnica è possibile stimare il valore di portata verticale limite mediante metodi statici. La verifica di capacità portante è stata condotta secondo l'Approccio 2 e la combinazione A1+M1+R3 come riportato al paragrafo 6.4.3.1. della Normativa. Per un palo di lunghezza 25 m si ottiene una portata di 25889 kN, valore compatibile con la reazione massima ottenuta.

CALCOLO PORTATA PALI TRIVELLATI

DATI DI INPUT

D	diametro del palo	1.00	[m]	FS	Coefficiente parziale resistenza alla base	γ_b	1.35	[-]
L	lunghezza massima di calcolo	25.00	[m]		Coefficiente parziale resistenza laterale	γ_l	1.15	[-]
z_w	profondità della falda dal p.c.	50.00	[m]		Fattori di correlazione ξ	ξ	1.70	[-]
f_{cd}	resistenza di calcolo del c.l.s.	14.17	[Mpa]					

n° strato	tipo terreno	DH _i [m]	H _r [m]	γ_n [kN/m³]	γ' [kN/m³]	N _{SPT} [-]	f [°]	K [-]	c _u [kPa]	α [-]	c _a [kPa]
1	AR	6.00	6.00	20.00	20.00				100.00	0.35	35.00
2	SA	19.00	25.00	19.00	19.00		40.00	0.40		0.00	0.00
					0.00					0.00	0.00
					0.00					0.00	0.00
					0.00					0.00	0.00
					0.00					0.00	0.00
					0.00					0.00	0.00
					0.00					0.00	0.00

LEGENDA

DH_i spessore dello strato
H_r profondità dello strato dal p.c.
 γ_n peso specifico del terreno naturale
 γ' peso specifico efficace
N_{SPT} Numero colpi al piede (solo granuli)
 ϕ angolo di attrito (solo granulari)
K rapporto tra σ_n/σ_v
c_u coesione non drenata (solo coesivi)
c_a = α C_a adesione (solo coesivi)

PORTATA ALLA BASE - protocollo di Berenzantzev

n° strato	tipo terreno	DH _i [m]	H _r [m]	γ_n [kN/m³]	γ' [kN/m³]	N _{SPT} [-]	f [°]	K [-]	c _u [kPa]	α [-]	c _a [kPa]
2	terreno	19.00	25.00	19.00	19.00	0.00	40.00	0.40	0.00	0.00	0.00

A _b	Area della base del palo	0.79	[m²]								
s _{vL}	Pressione geostatica di base	481	[kPa]								
N _q = $\gamma \cdot B_k$	Coeff. di pressione geostatica	139.50									
c	Coesione alla base	0.00	[kPa]								
N _c	Coeff. di coesione	9.00									

H/D	26°	30°	34°	37°	40°
5	0.75	0.77	0.81	0.83	0.85
10	0.62	0.67	0.73	0.76	0.79
15	0.55	0.61	0.68	0.73	0.77
20	0.49	0.57	0.65	0.71	0.75

Tabella per il calcolo di B_k

Tabella per il calcolo di γ

H/D 25.0

PORTATA LATERALE - protocollo di Viggiani

$\sigma_{v,i}$	$\sigma_{v(i+1)}$	$\sigma_{v,med}$	$\sigma_{h,med}$	c _u	σ
0.00	120.00	60.00	0.00	35.00	35.00
120.00	481.00	300.50	120.20	0.00	100.86
0.00	0.00	0.00	0.00	0.00	0.00
0.00	0.00	0.00	0.00	0.00	0.00
0.00	0.00	0.00	0.00	0.00	0.00
0.00	0.00	0.00	0.00	0.00	0.00
0.00	0.00	0.00	0.00	0.00	0.00
0.00	0.00	0.00	0.00	0.00	0.00
0.00	0.00	0.00	0.00	0.00	0.00

$\sigma = c_{u,i} + \sigma_{n,med,i} \tan \phi$

Q _{lim}	Portata limite laterale	6680.08	[kN]	Peso proprio palo	490.87	[kN]	<input checked="" type="checkbox"/>	tenere in conto nel calcolo della portata
Q _{lim,amm}	Portata amm. laterale	3416.92	[kN]				<input type="checkbox"/>	non tenere in conto nel calcolo della portata

PORTATA PALO

PORTATA TOTALE LIMITE 25888.94 [kN]

Tramite formula approssimata per ricavare il cedimento è possibile ricavare la rigidezza da applicare alle molle che simulano il vincolo posto alla base dei pali.

$$W_{\text{singolo}} = \frac{Q \cdot d}{\lambda \cdot Q_{\text{lim}}}$$

STIMA APPROSSIMATA DEL CEDIMENTO - Secondo Viggiani

Q	carico in esercizio sul palo	3953	kN
Q _{lim}	portata limite di calcolo	68327	kN
λ	coefficiente relativo al tipo di palo	40	
w	cedimento stimato	0.0014	m
k	rigidezza verticale	2733095	kN/m

Tipo di palo	Terreno	λ
Battuto	Incoerente	60
	Coesivo	120
Trivellato	Incoerente	40
	Coesivo	100
Trivellato pressato	Incoerente	50
	Coesivo	100

7.2.3. Azioni sul basamento

Si riportano di seguito le sollecitazioni flettenti e taglianti sul basamento, calcolate secondo la teoria Wood Armer, in direzione radiale e circonferenziale.

Inviluppo delle combinazioni SLU: "SLUenv"

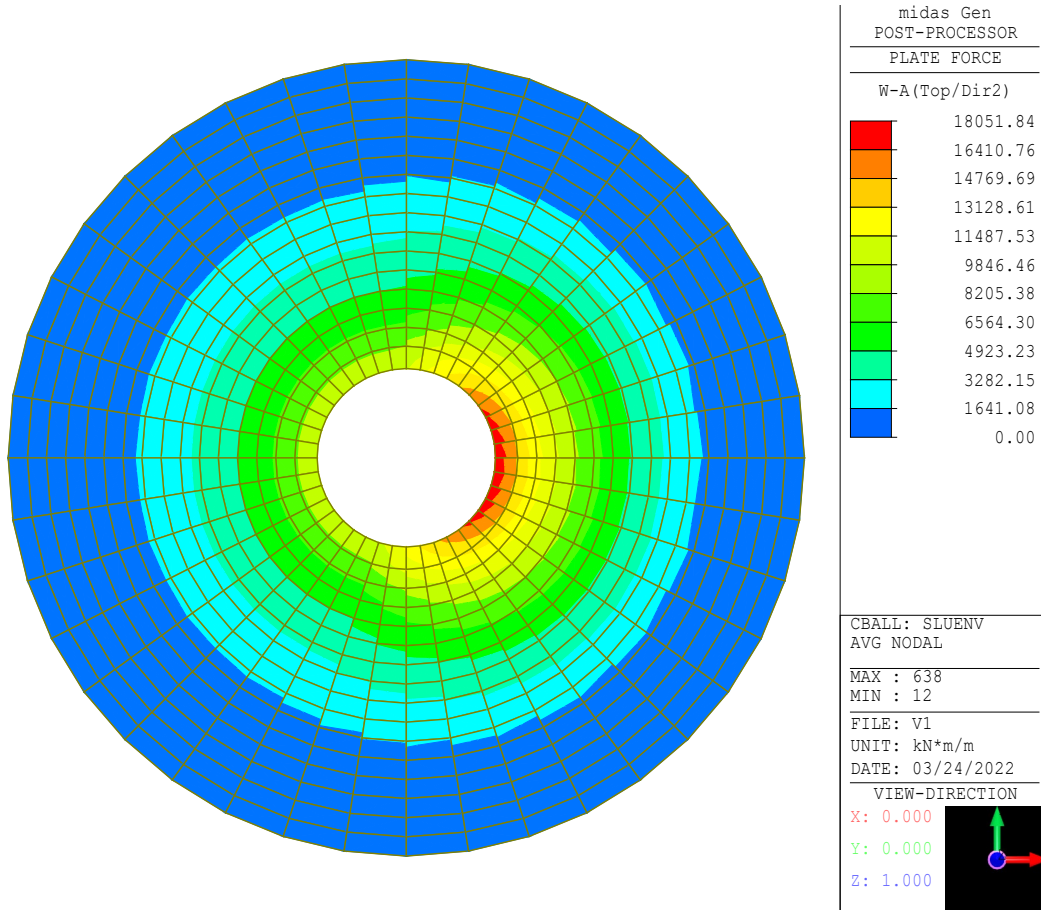
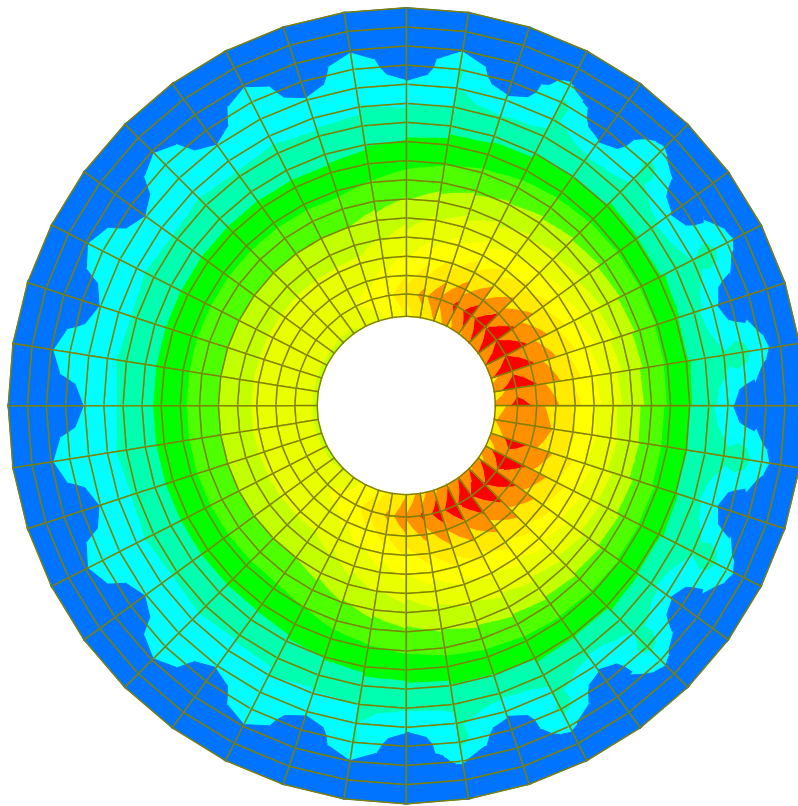


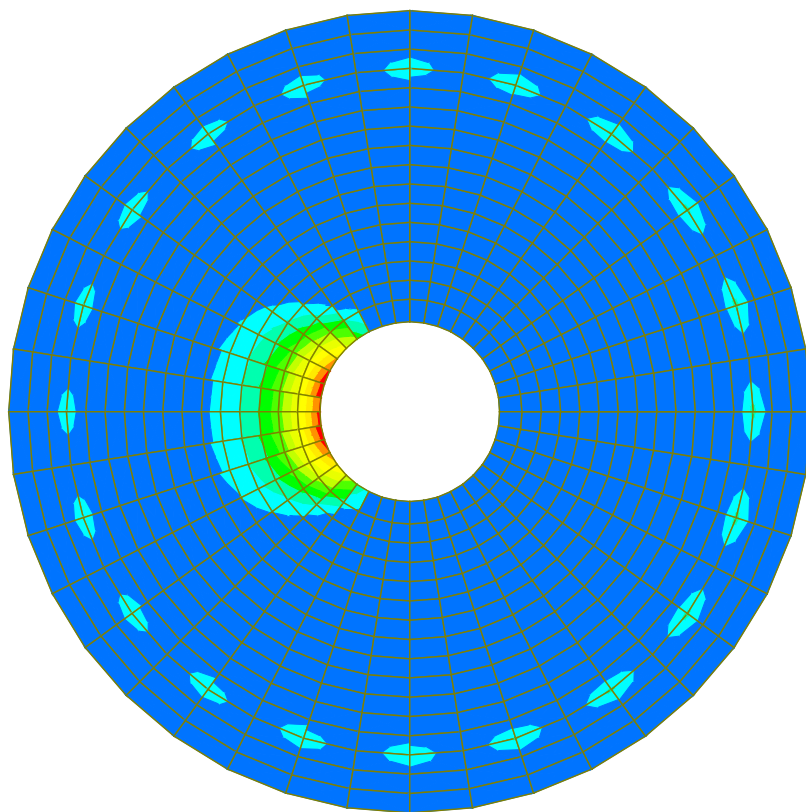
Figure 7-15 – SLUenv: Momento direzione radiale, Bottom



midas Gen POST-PROCESSOR	
PLATE FORCE	
W-A(Top/Dir2)	
	7585.81
	6896.19
	6206.57
	5516.96
	4827.34
	4137.72
	3448.10
	2758.48
	2068.86
	1379.24
	689.62
	0.00

CBALL: SLUENV	
AVG NODAL	
MAX : 511	
MIN : 12	
FILE: V1	
UNIT: kN*m/m	
DATE: 03/24/2022	
VIEW-DIRECTION	
X: 0.000	
Y: 0.000	
Z: 1.000	

Figure 7-16 – SLUenv: Momento direzione circonferenziale, Bottom



midas Gen POST-PROCESSOR	
PLATE FORCE	
W-A (Top/Dir2)	
	4288.65
	3898.78
	3508.90
	3119.02
	2729.14
	2339.27
	1949.39
	1559.51
	1169.63
	779.76
	389.88
	0.00

CBALL: SLUENV
 AVG NODAL
 MAX : 622
 MIN : 1
 FILE: V1
 UNIT: kN*m/m
 DATE: 03/24/2022
 VIEW-DIRECTION
 X: 0.000
 Y: 0.000
 Z: 1.000

Figure 7-17 – SLUenv: Momento direzione radiale, Top

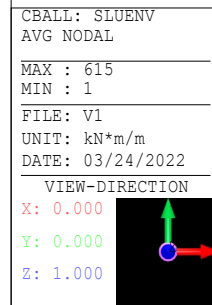
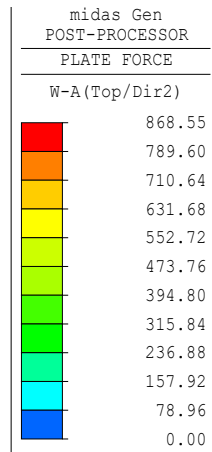
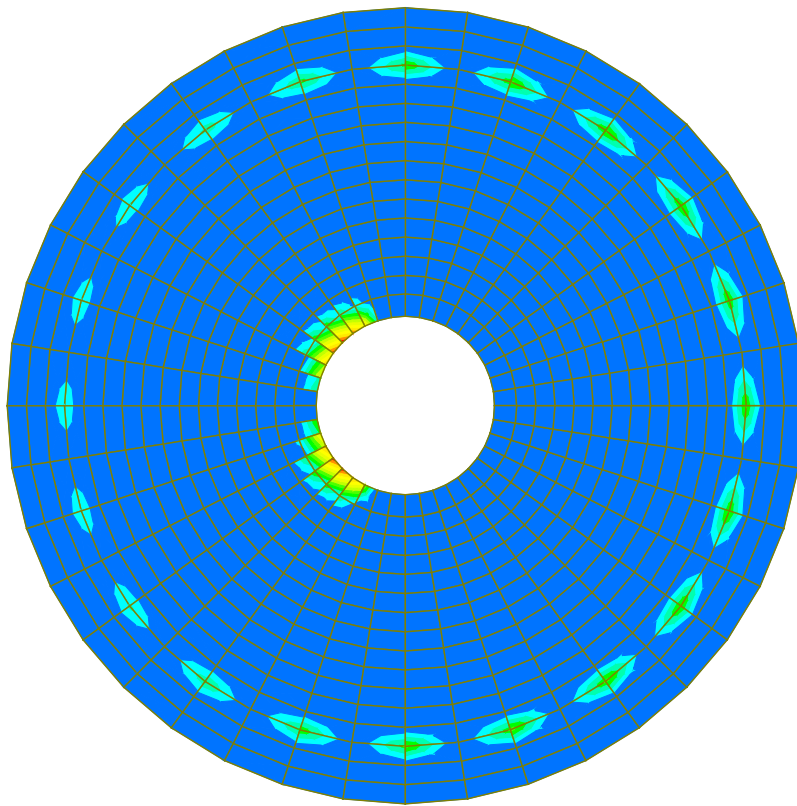
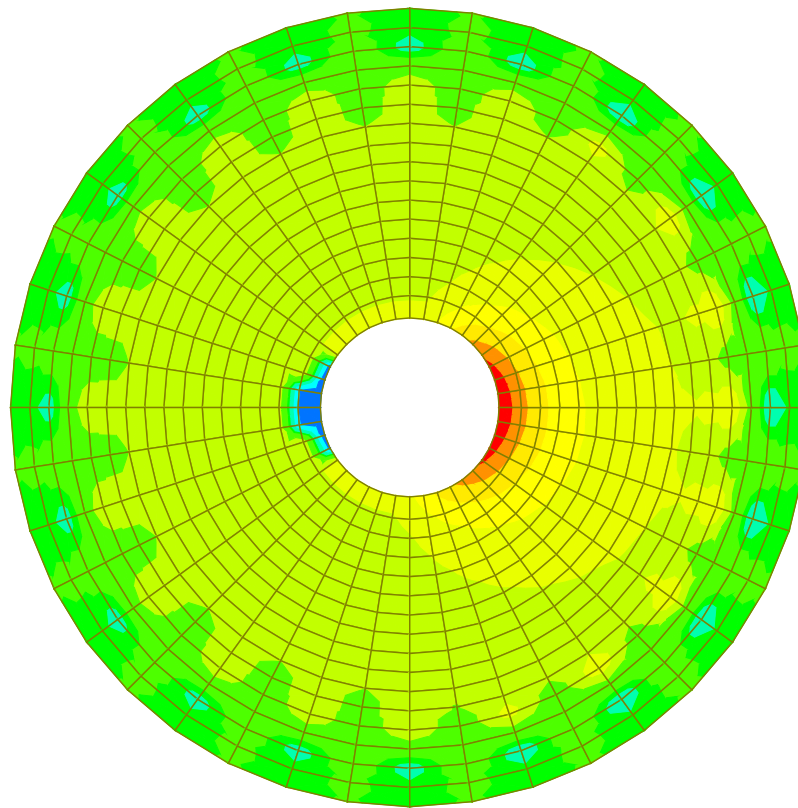


Figure 7-18 – SLUenv: Momento direzione Circonferenziale, Top



midas Gen
POST-PROCESSOR

PLATE FORCE

SHEAR-Vxx

4276.16
3703.50
3130.84
2558.17
1985.51
1412.84
840.18
0.00
-305.15
-877.81
-1450.47
-2023.14

CBALL: SLUENV
AVG NODAL

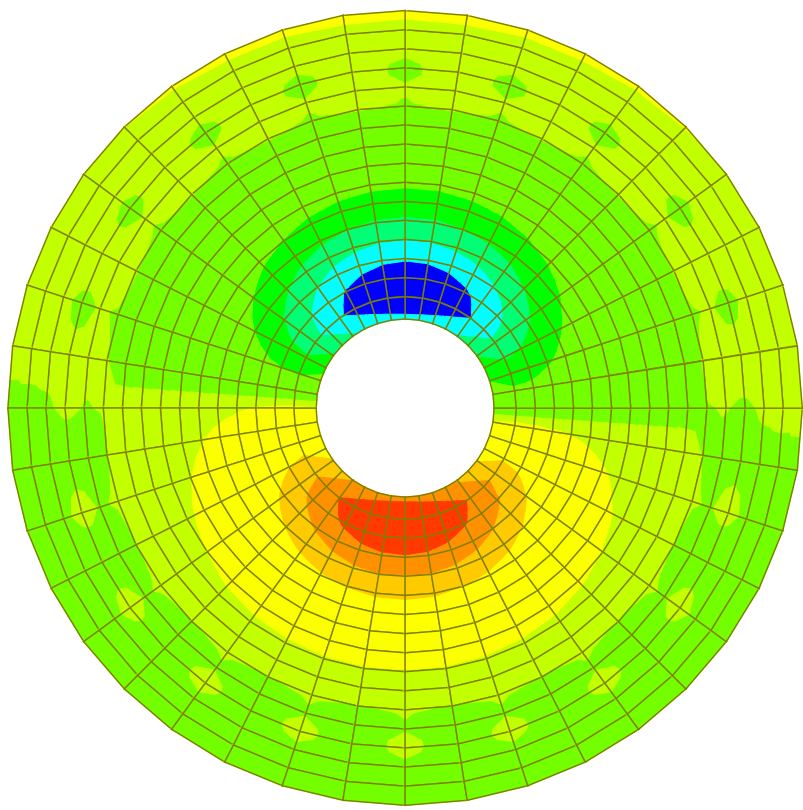
MAX : 601
MIN : 620

FILE: V1
UNIT: kN/m
DATE: 03/24/2022

VIEW-DIRECTION

X: 0.000
Y: 0.000
Z: 1.000

Figure 7-19 – SLUenv: Taglio Vxx



midas Gen
POST-PROCESSOR

PLATE FORCE

SHEAR-Vyy

906.28
741.50
576.72
411.95
247.17
0.00
-82.39
-247.17
-411.95
-576.72
-741.50
-906.28

CBALL: SLUENV
AVG NODAL

MAX : 136
MIN : 436

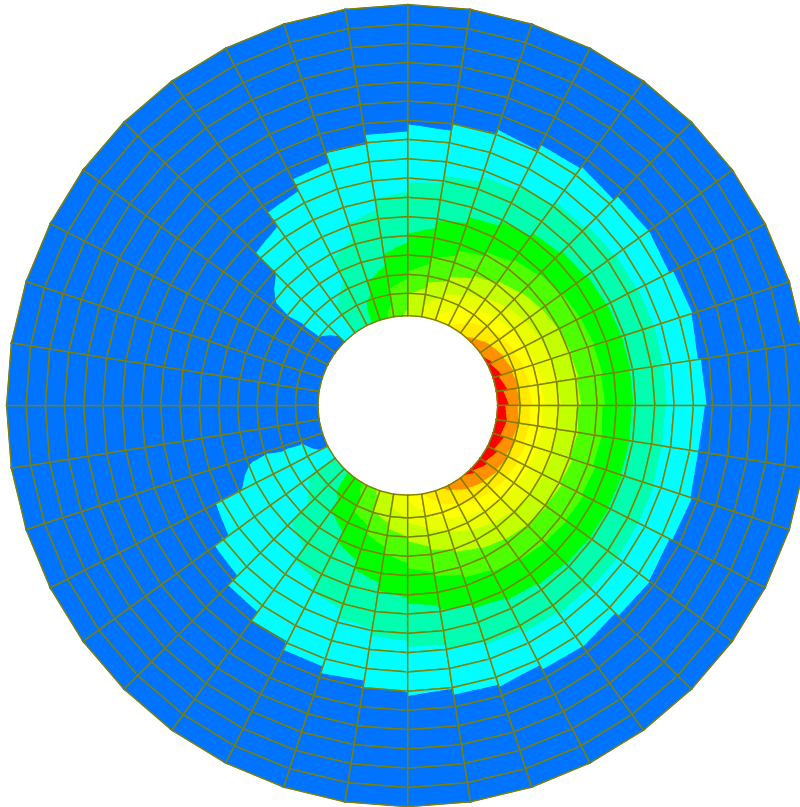
FILE: V1
UNIT: kN/m
DATE: 03/24/2022

VIEW-DIRECTION

X: 0.000
Y: 0.000
Z: 1.000

Figure 7-20 – SLUenv: Taglio Vyy

Combinazione "SLV2":



midas Gen POST-PROCESSOR	
PLATE FORCE	
W-A(Top/Dir2)	
	14159.29
	12872.08
	11584.87
	10297.67
	9010.46
	7723.25
	6436.04
	5148.83
	3861.62
	2574.42
	1287.21
	0.00

CB: SLV2
AVG NODAL
MAX : 638
MIN : 12
FILE: V1
UNIT: kN*m/m
DATE: 03/24/2022
VIEW-DIRECTION
X: 0.000
Y: 0.000
Z: 1.000

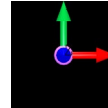
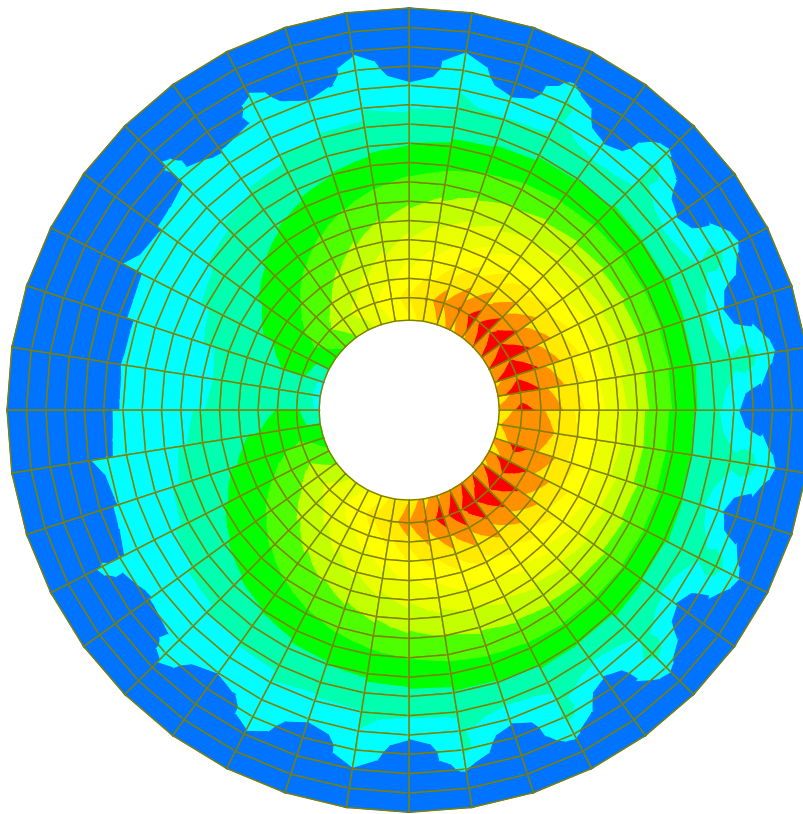


Figure 7-21 – SLV2: Momento direzione radiale, Bottom



midas Gen POST-PROCESSOR	
PLATE FORCE	
W-A (Top/Dir2)	
	5861.48
	5328.61
	4795.75
	4262.89
	3730.03
	3197.17
	2664.31
	2131.45
	1598.58
	1065.72
	532.86
	0.00

CB: SLV2
AVG NODAL
MAX : 511
MIN : 12
FILE: V1
UNIT: kN*m/m
DATE: 03/24/2022
VIEW-DIRECTION
X: 0.000
Y: 0.000
Z: 1.000

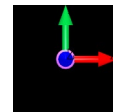


Figure 7-22 – SLV2: Momento direzione circonferenziale, Bottom

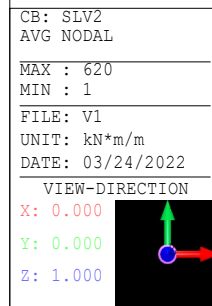
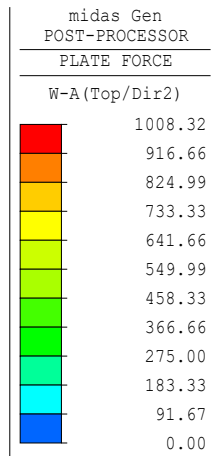
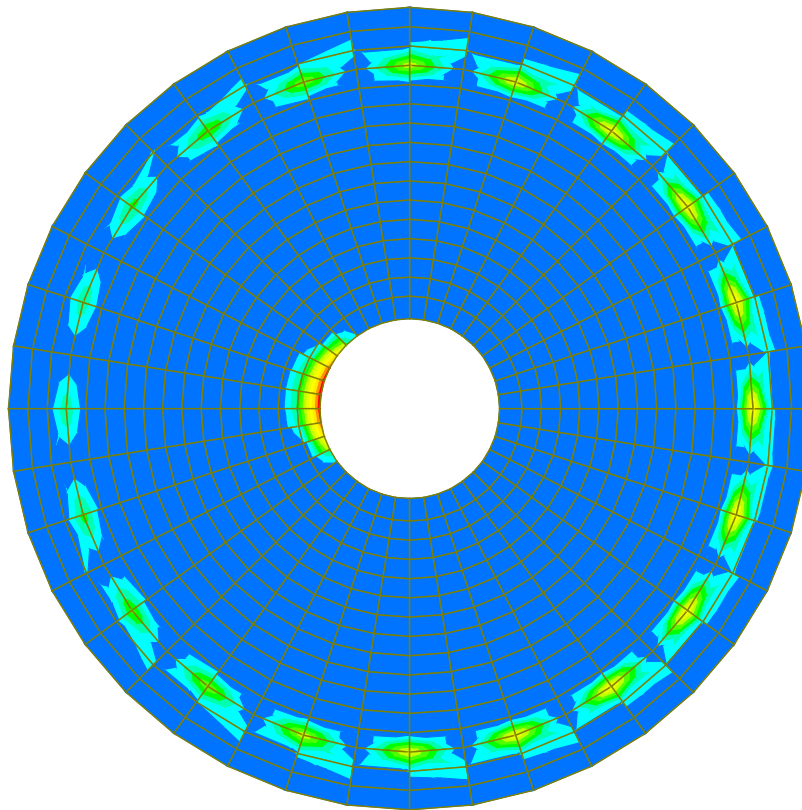
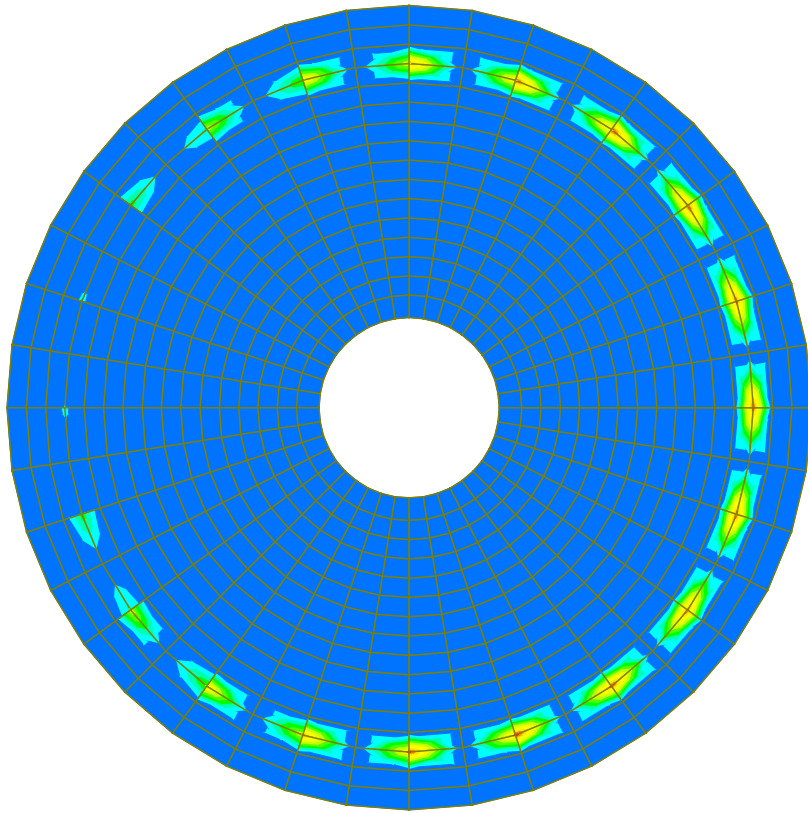


Figure 7-23 – SLV2: Momento direzione radiale, Top



midas Gen POST-PROCESSOR	
PLATE FORCE	
W-A (Top/Dir2)	
	276.72
	251.57
	226.41
	201.25
	176.10
	150.94
	125.78
	100.63
	75.47
	50.31
	25.16
	0.00

CB: SLV2
AVG NODAL
MAX : 492
MIN : 1
FILE: V1
UNIT: kN*m/m
DATE: 03/24/2022
VIEW-DIRECTION
X: 0.000
Y: 0.000
Z: 1.000

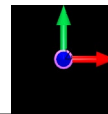


Figure 7-24 – SLV2: Momento direzione circonferenziale, Top

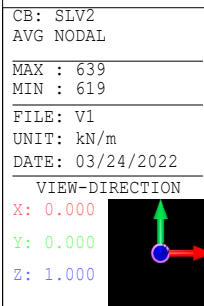
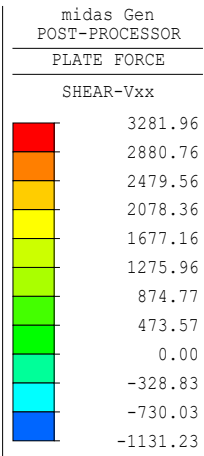
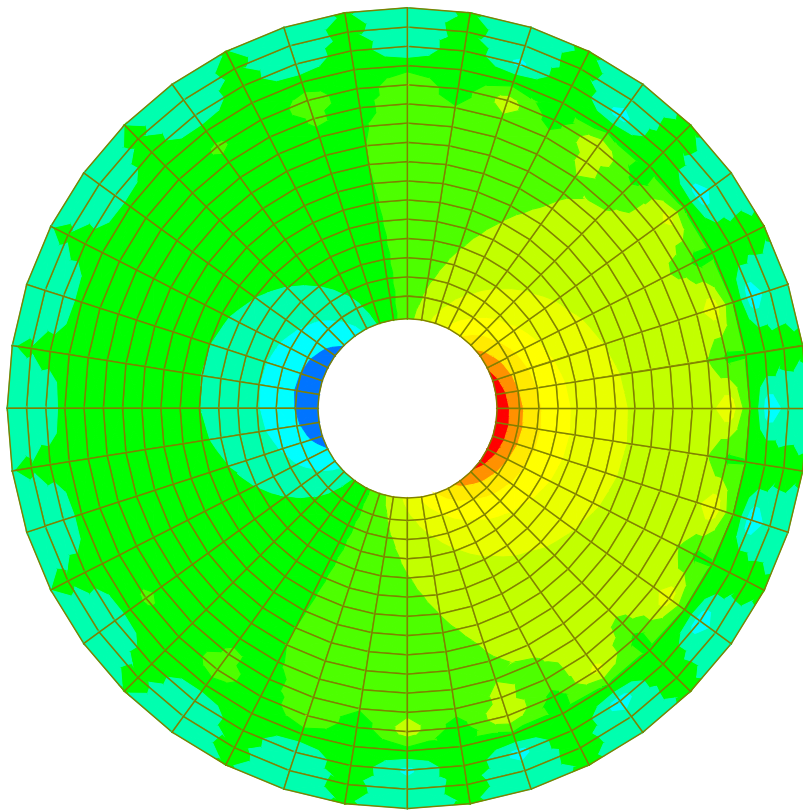


Figure 7-25 – SLV2: Taglio Vxx

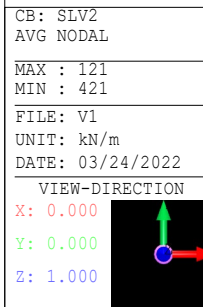
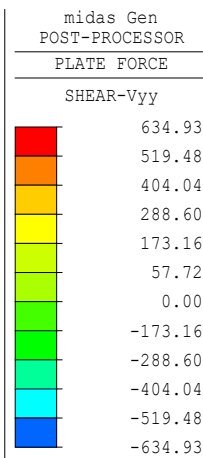
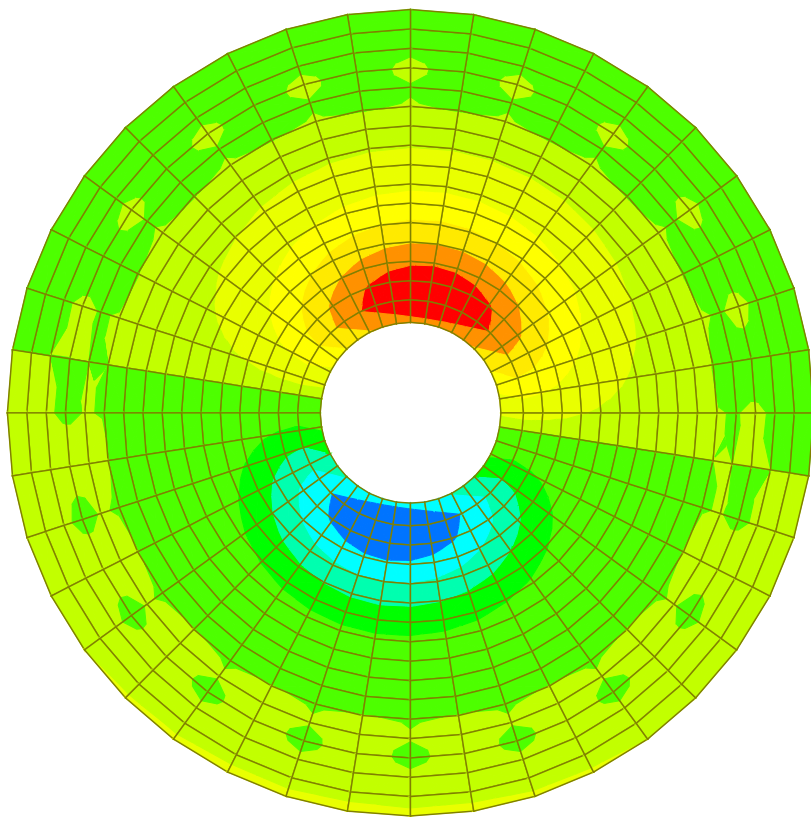
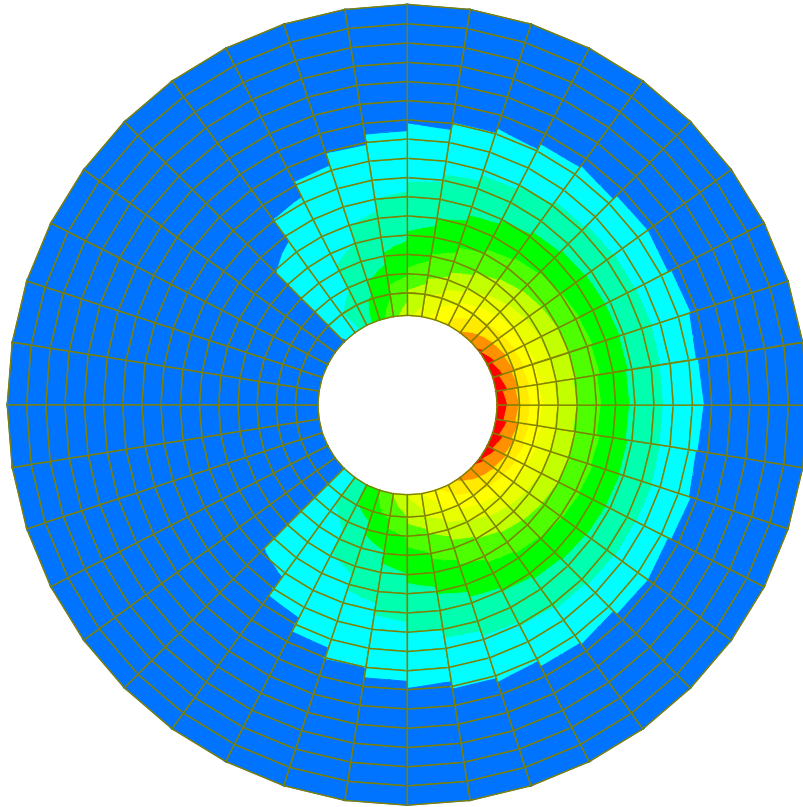


Figure 7-26 – SLV2: Taglio Vyy

Combinazione "SLER":



midas Gen POST-PROCESSOR	
PLATE FORCE	
W-A (Top/Dir2)	
	16499.40
	14999.46
	13499.51
	11999.57
	10499.62
	8999.67
	7499.73
	5999.78
	4499.84
	2999.89
	1499.95
	0.00

CB: SLER	
AVG NODAL	
MAX :	602
MIN :	12
FILE:	V1
UNIT:	kN*m/m
DATE:	03/24/2022
VIEW-DIRECTION	
X:	0.000
Y:	0.000
Z:	1.000

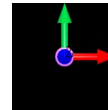
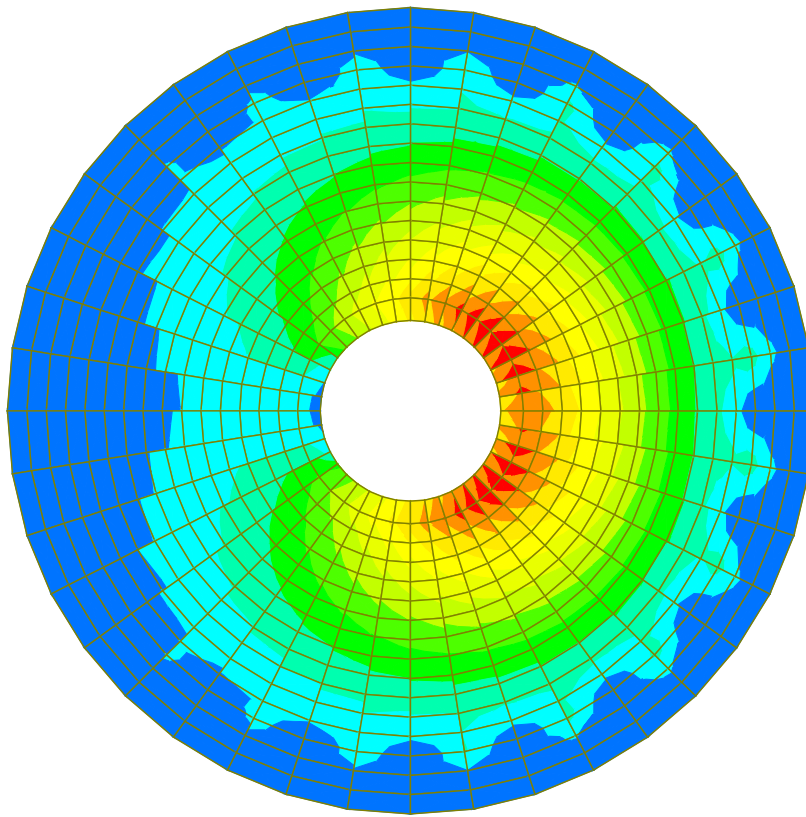


Figure 7-27 – SLER: Momento direzione radiale, Bottom



midas Gen POST-PROCESSOR	
PLATE FORCE	
W-A (Top/Dir2)	
	6659.48
	6054.07
	5448.67
	4843.26
	4237.85
	3632.44
	3027.04
	2421.63
	1816.22
	1210.81
	605.41
	0.00

CB: SLER
AVG NODAL
MAX : 61
MIN : 12
FILE: V1
UNIT: kN*m/m
DATE: 03/24/2022
VIEW-DIRECTION
X: 0.000
Y: 0.000
Z: 1.000

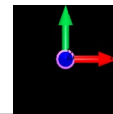
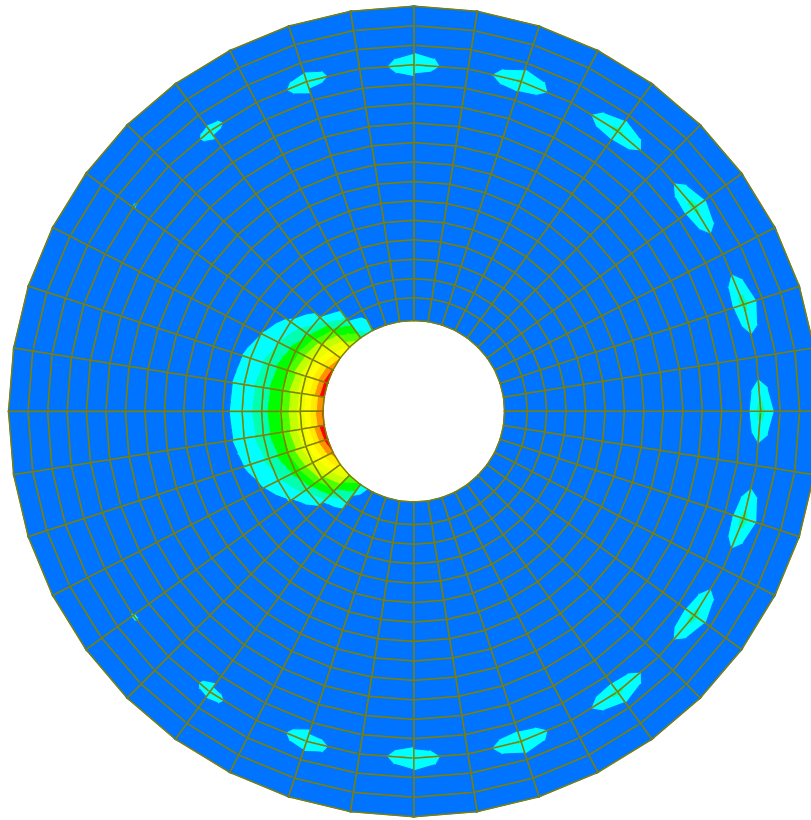


Figure 7-28 – SLER: Momento direzione circonferenziale, Bottom



midas Gen POST-PROCESSOR	
PLATE FORCE	
W-A (Top/Dir2)	
	3455.54
	3141.40
	2827.26
	2513.12
	2198.98
	1884.84
	1570.70
	1256.56
	942.42
	628.28
	314.14
	0.00

CB: SLER
AVG NODAL
MAX : 622
MIN : 1
FILE: V1
UNIT: kN*m/m
DATE: 03/24/2022
VIEW-DIRECTION
X: 0.000
Y: 0.000
Z: 1.000

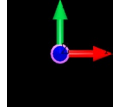
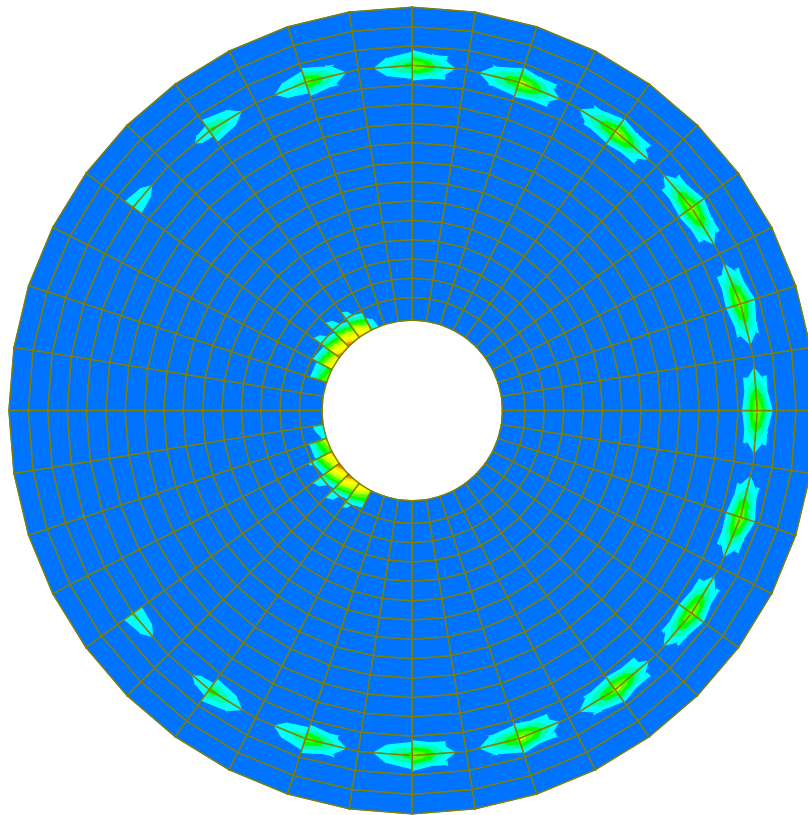


Figure 7-29 – SLER: Momento direzione radiale, Top



midas Gen
POST-PROCESSOR

PLATE FORCE

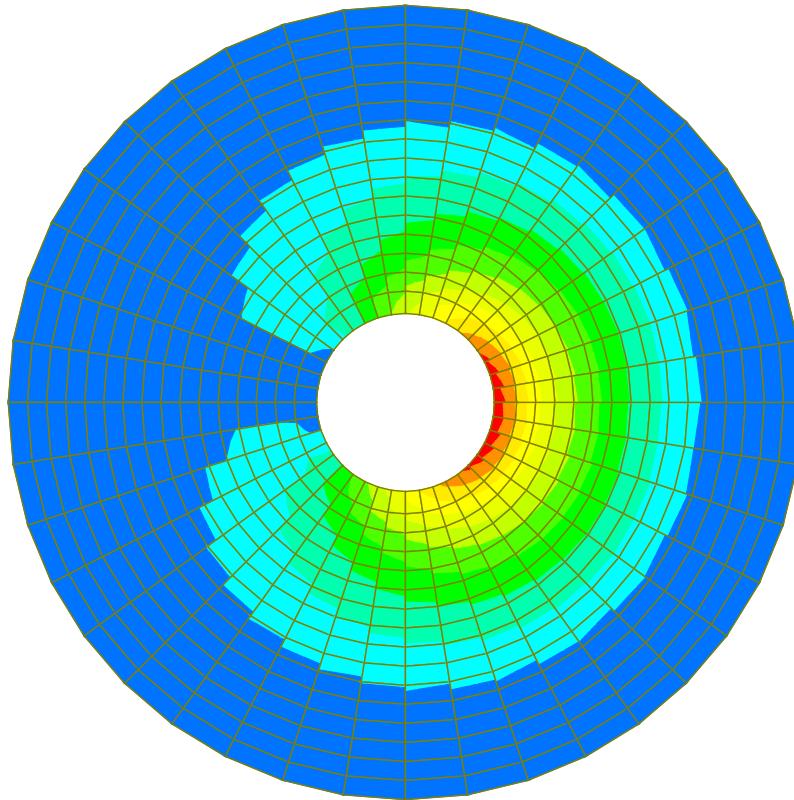
W-A (Top/Dir2)

599.80
545.27
490.75
436.22
381.69
327.16
272.64
218.11
163.58
109.05
54.53
0.00

CB: SLER
AVG NODAL
MAX : 615
MIN : 1
FILE: V1
UNIT: kN*m/m
DATE: 03/24/2022
VIEW-DIRECTION
X: 0.000
Y: 0.000
Z: 1.000

Figure 7-30 – SLER: Momento direzione circonferenziale, Top

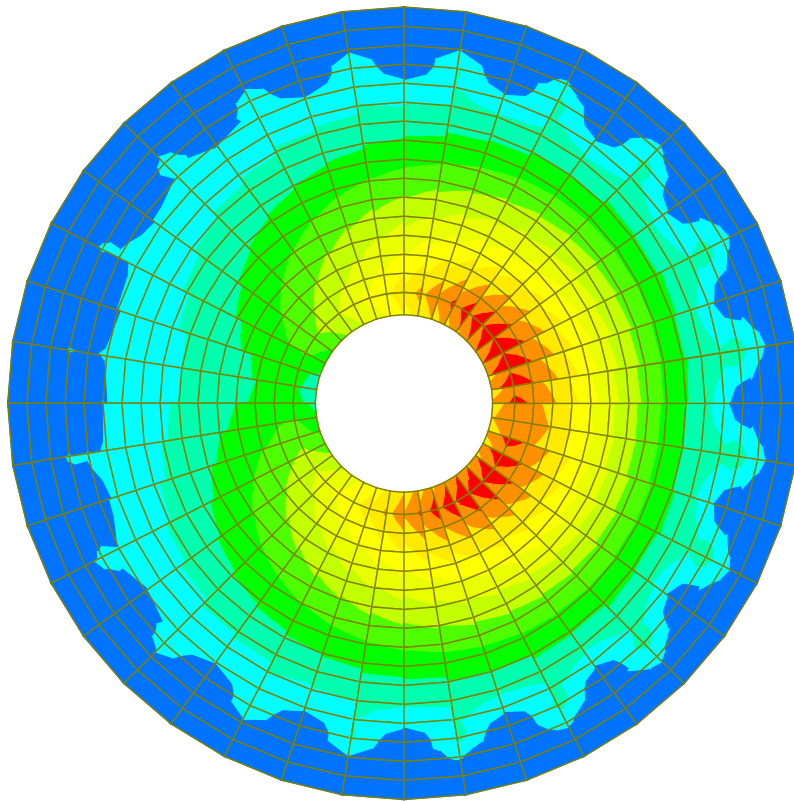
Combinazione "SLEqp":



midas Gen	
POST-PROCESSOR	
PLATE FORCE	
W-A(Top/Dir1)	
	13217.59
	12015.99
	10814.39
	9612.80
	8411.20
	7209.60
	6008.00
	4806.40
	3604.80
	2403.20
	1201.60
	0.00

CB: SLEQP
AVG NODAL
MAX : 638
MIN : 12
FILE: V1
UNIT: kN*m/m
DATE: 03/24/2022
VIEW-DIRECTION
X: 0.000
Y: 0.000
Z: 1.000

Figure 7-31 – SLEqp: Momento direzione radiale, Bottom



midas Gen POST-PROCESSOR	
PLATE FORCE	
W-A(Top/Dir1)	
	5544.96
	5040.87
	4536.78
	4032.70
	3528.61
	3024.52
	2520.43
	2016.35
	1512.26
	1008.17
	504.09
	0.00

CB: SLEQP	
AVG NODAL	
MAX : 511	
MIN : 12	
FILE: V1	
UNIT: kN*m/m	
DATE: 03/24/2022	
VIEW-DIRECTION	
X: 0.000	
Y: 0.000	
Z: 1.000	

Figure 7-32 – SLEqp: Momento direzione circonferenziale, Bottom

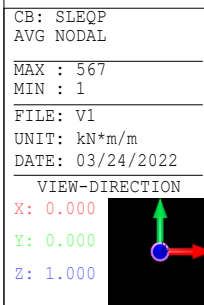
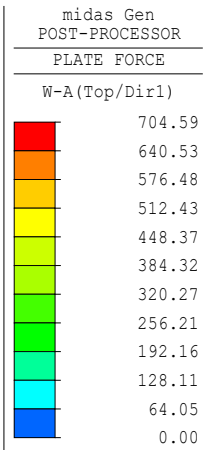
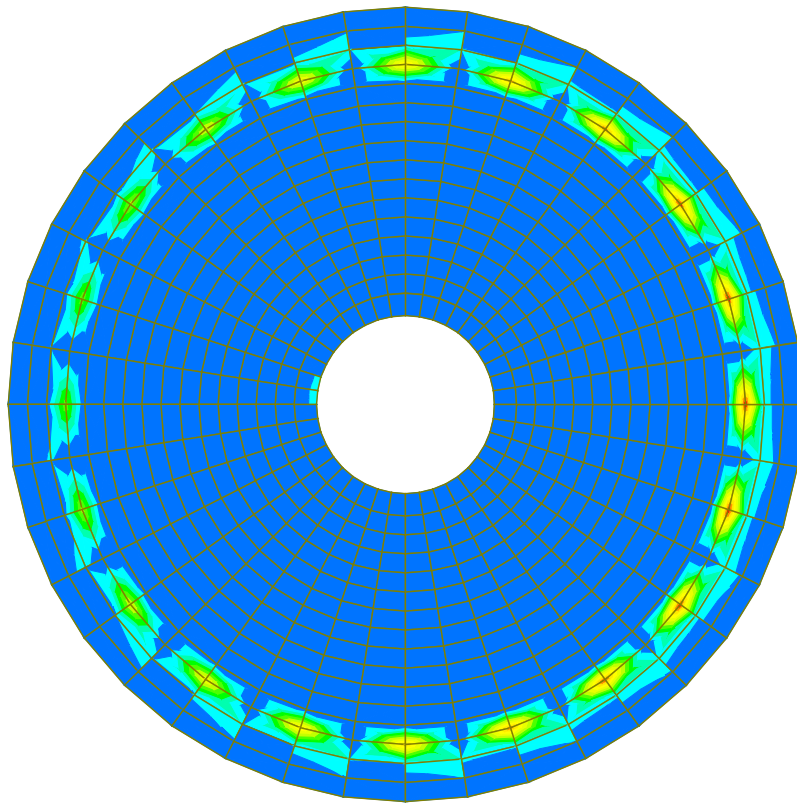


Figure 7-33 – SLEqp: Momento direzione radiale, Top

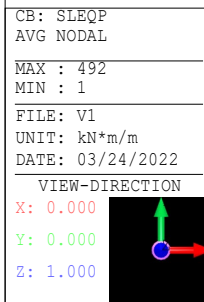
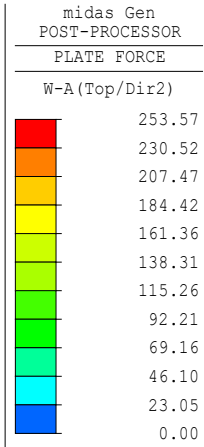
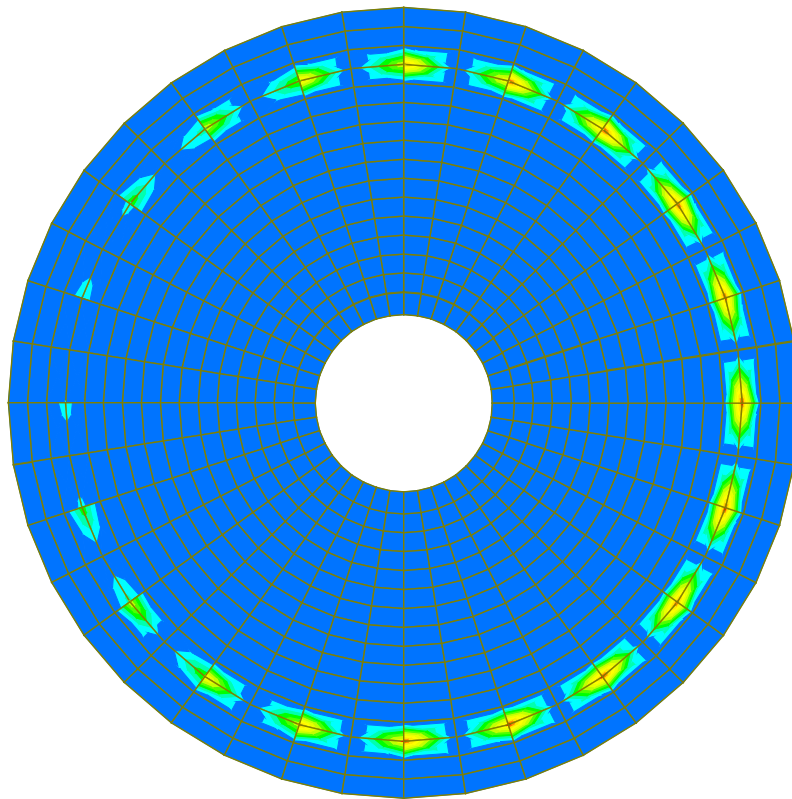


Figure 7-34 – SLEqp: Momento direzione circonferenziale, Top

7.2.4. Verifica degli elementi strutturali

Le verifiche sugli elementi strutturali vengono eseguite come segue:

- SLU: Verifica con acciaio snervato e calcestruzzo con deformazione allo 0.35%
- SLV: Verifica con acciaio in campo elastico e calcestruzzo in campo elastico
- SLE caratteristica (rara): verifica tensionale sulla massima tensione delle fibre d'acciaio $\sigma_s \leq 0.8 * f_{yk}$ e sulla massima tensione di compressione del calcestruzzo $\sigma_c \leq 0.6 * f_{ck}$
- SLE quasi permanente: verifica sulla massima tensione di compressione del calcestruzzo $\sigma_c \leq 0.45 * f_{ck}$

7.2.5. Verifica strutturale del palo

Sul palo sono state disposti 16Ø20 longitudinali e un'armatura a spirale Ø10/25 su tutta la sua lunghezza per garantire adeguato confinamento. Tale armatura è maggiore del minimo indicato al paragrafo 7.7.2.5 delle NTC2018.

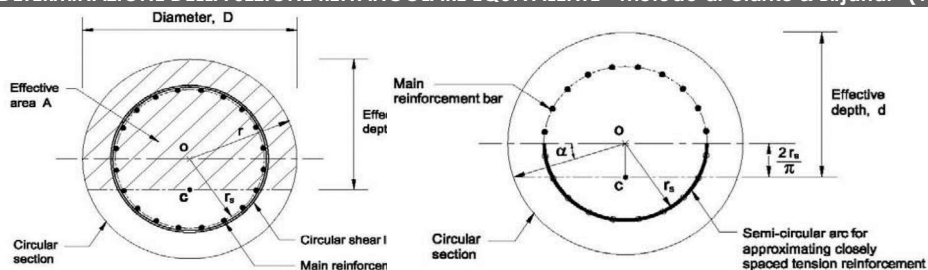
Le sollecitazioni di taglio vengono estratte dalle reazioni orizzontali globali e ripartite sui 20 pali presenti.

Load	F _x (kN)	F _y (kN)	F _z (kN)	V _{TOT} (kN)	V _{PALO} (kN)
SLU1	0.00	0.00	71703.18	0.00	0.00
SLU2	-1352.79	-166.25	70096.52	1362.97	68.15
SLU3	-1352.79	-166.25	52670.92	1362.97	68.15
SLUext	-1688.55	-55.55	53103.37	1689.46	84.47
SLV1	-211.83	-63.55	52632.34	221.16	11.06
SLV2	-1213.90	-186.70	52224.18	1228.17	61.41

Si considera il valore di azione sollecitante tagliante derivante dalla combinazione "SLUext", più gravosa.

La resistenza a taglio viene calcolata su una sezione rettangolare equivalente attraverso il Metodo di Clarke & Birjandi.

DETERMINAZIONE DELLA SEZIONE RETTANGOLARE EQUIVALENTE - Metodo di Clarke & Birjandi (1993)



r	cm	50	raggio della sezione circolare
rs	cm	40.5	distanza del baricentro dall'asse delle barre longitudinali
sen α		0.516	
	rad	0.54	
α	°	31.04	
A	cm ²	7853.982	area di calcestruzzo della sezione
Aequiv	cm ²	6385.979	area di calcestruzzo della sezione rettangolare equivalente
dequiv	cm	74.66	altezza utile della sezione equivalente
bequiv	cm	85.54	larghezza della sezione equivalente
hequiv	cm	91.82	altezza della sezione equivalente

DETERMINAZIONE DELLA RESISTENZA A TAGLIO DI SEZIONI IN C.A. - NTC2018

Caratteristiche dei materiali

f_{ck}		MPa	25	
α_{cc}			0.85	
γ_c			1.5	
f_{cd}	resistenza di calcolo a compressione del calcestruzzo	MPa	14.17	$a_{cc} \cdot f_{cd} / \gamma_c$
γ_s			1.15	
$f_{y,wd}$		MPa	391.30	f_{yd} / γ_s

Caratteristiche della sezione resistente

V_{Ed}	taglio sollecitante di progetto	kN	85	
b_w	larghezza della sezione	cm	85.54	
h	altezza totale della sezione	cm	91.8	
c	distanza asse barre dal lembo teso	cm	9.5	
d	altezza utile della sezione	cm	82.3	$h - c$
d^*		cm	74.07	$0.9 d$
k			1.493	$\min[1.0 + \sqrt{(20/d)}, 2.0]$
$A_{s,l}$	area di armatura longitudinale tesa	cm ²	40.82	
ρ_l	rapporto geometrico di armatura longitudinale tesa		0.0052	
$A_{s,w}$	area di armatura a taglio disposta	cm ²	1.571	
s	spaziatura staffe	cm	25	

Controllo necessità di armatura a taglio

V_{Rdc1}		kN	296.53	$[0.18 \cdot k \cdot (100 \cdot \rho_l \cdot f_{ck})^{1/3}] / \gamma_c \cdot b_w \cdot d$
V_{Rdc2}		kN	224.74	$[0.035 \cdot k^2(3/2) \cdot \sqrt{f_{ck}}] \cdot b_w \cdot d$
V_{Rdc}	resistenza della sezione non armata a taglio	kN	296.53	$\max[V_{Rdc1}, V_{Rdc2}]$
V_{Ed} / V_{Rdc}	non è necessario prevedere l'armatura a taglio $V_{Rdc} > V_{Ed}$			

Controllo capacità massima della sezione a taglio

v	coefficiente di riduzione della resistenza del cls fessurato per taglio		0.5	
α_c	coefficiente per effetti dello sforzo assiale di compressione		1	
α	inclinazione armature a taglio	rad	1.571	gradi 90
$V_{Rd,max}$	massima resistenza a taglio-compressione della sezione	kN	2243.98	$1.0 \cdot v \cdot f_{cd} \{ \cot(45) + \tan(45) \} \cdot b_w \cdot 0.9 \cdot d^*$
$V_{Ed} / V_{Rd,max}$	sezione sufficiente per la resistenza taglio 0.038			

Calcolo della resistenza della sezione con armatura a taglio

ω_{sw}	percentuale meccanica di armatura trasversale (per $\alpha=90^\circ$)		0.02	$(A_{s,w} \cdot f_{yd}) / (b \cdot s \cdot f_{cd})$
ϑ_{calc}	valore di teta calcolato	rad	0.203	= 11.62° $\cot(\vartheta_{calc}) = 4.86$
ϑ_{min}	valore minimo di teta	rad	0.785	= 45° $\cot(\vartheta_{min}) = 1.00$
ϑ_{max}	valore massimo di teta	rad	0.381	= 21.8° $\cot(\vartheta_{max}) = 2.50$
ϑ	valore di calcolo di teta	rad	0.381	= 21.8° $\cot(\vartheta) = 2.50$
V_{Rsd}	resistenza a taglio trazione	kN	455.34	$A_{s,w} \cdot f_{yd} \cdot d^* / s \cdot (\cot(\alpha) + \cot(\vartheta)) \cdot \sin(\alpha)$
V_{Rcd}	resistenza a taglio compressione	kN	1547.57	$b \cdot d^* \cdot a_c \cdot n \cdot f_{cd} \cdot (\cot(\alpha) + \cot(\vartheta)) / (1 + \cot^2(\alpha))$
V_{Rd}	resistenza a taglio della sezione	kN	455.34	
V_{Ed} / V_{Rd}	coefficiente di sfruttamento della capacità di resistenza a taglio 0.187			

Si ottiene che non è necessario prevedere armatura a taglio, la resistenza del calcestruzzo è sufficiente a garantire adeguata resistenza all'elemento.

Utilizzando la teoria di Broms, si deduce che i valori di resistenza geotecnica e strutturale del palo sono sufficienti a garantirne la stabilità.

INPUTS

Geometria

Dimensione sezionale del palo	d =	1.00 m
Lunghezza palo	L =	25.00 m
Momento di plasticizzazione della sezione	$M_y =$	762.00 kN m

Parametri geotecnici

Peso specifico terreno	$\gamma =$	19.00 kN/m ²	
Angolo di resistenza al taglio terreno	$\phi =$	40.00 °	= 0.70 rad

Coefficienti parziali

Coefficiente parziale SLU per pali soggetti a carichi trasversali	$\gamma_T =$	1.30	¹ Tab.6.4.VI
Fattore di correlazione	$\zeta =$	1.70	

CALCOLO PER PALI IN CD

Coefficiente di spinta passiva	$K_p = (1 + \text{sen}\phi)/(1 - \text{sen}\phi)$	$K_p =$	4.60
Pressione in testa	$p = 3 * K_p * \gamma * D * z$	$p(z=0) =$	0.00 kN/m ²
Pressione in punta	$p = 3 * K_p * \gamma * D * z$	$p(z=L) =$	6,553.45 kN/m ²

Meccanismo di palo corto

Resistenza alla traslazione orizzontale	$H_C = f(K_p, d, L)$	$H_C =$	81,918.08 kN
Momento massimo	$M_{\text{max}} = 2/3 H L$	$M_{\text{max}} =$	1,365,301.39 kN m

Meccanismo di palo intermedio

Resistenza alla traslazione orizzontale	$H_M = f(C_u, d, L, M_y)$	$H_M =$	27,336.51 kN
---	---------------------------	---------	--------------

Meccanismo di palo lungo

Resistenza alla traslazione orizzontale	$H_L = f(C_u, d, M_y)$	$H_L =$	881.77 kN
---	------------------------	---------	-----------

Meccanismo di rottura

Resistenza di calcolo del palo a forze orizzontali		Meccanismo di palo lungo	$H_D =$	398.99 kN
--	--	--------------------------	---------	-----------

7.2.6. Verifica a flessione platea

Preliminarmente è stato calcolato il quantitativo di armatura disposto in termini di sezione trasversale per metro. Se ne riportano i risultati nelle tabelle sottostanti.

ARMATURA RADIALE BOTTOM

r	s	layer	n	fi	As	Note
cm	mm			mm	cm ²	
300	97	2	20.62	30	145.7	
350	122	2	16.39	30	115.8	
470	164	2	12.20	30	86.2	
890	310	2	6.45	30	45.6	
1070	373	2	5.36	30	37.9	
775	270	2	7.41	30	52.3	Mezzeria Basamento

ARMATURA CIRCONFERENZIALE BOTTOM

r	s	layer	n	fi	As	Note
cm	mm			mm	cm ²	
175	100	2	20.00	20	62.8	
890	100	2	20.00	20	62.8	
890	100	1	10.00	20	31.4	
1200	100	1	10.00	20	31.4	
1200	200	1	5.00	20	15.7	
1250	200	1	5.00	20	15.7	
775	100	2	20.00	20	62.8	Mezzeria Basamento

ARMATURA RADIALE TOP

r	s	layer	n	fi	As	Note
cm	mm			mm	cm ²	
300	97	1	10.31	30	72.8	
470	164	1	6.10	30	43.1	
775	270	1	3.70	30	26.2	Mezzeria Basamento

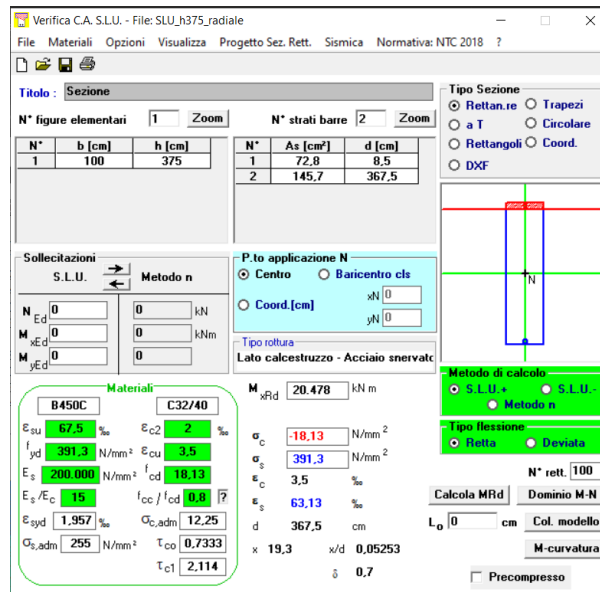
ARMATURA CIRCONFERENZIALE TOP

r	s	layer	n	fi	As	Note
cm	mm			mm	cm ²	
215	150	2	13.33	20	41.9	
470	150	2	13.33	20	41.9	
470	100	1	10.00	20	31.4	
1200	100	1	10.00	20	31.4	
1200	200	1	5.00	20	15.7	
1250	200	1	5.00	20	15.7	
775	100	1	10.00	20	31.4	Mezzeria Basamento
1070	100	1	10.00	20	31.4	Centro palo

La verifica a flessione della platea è stata eseguita in tre sezioni significative, in entrambe le direzioni radiale e circonferenziale, confrontando il momento resistente con quello sollecitante Wood Armer riportato al paragrafo 8.2.3. Sono state svolte le verifiche considerando l'inviluppo delle combinazioni stato limite ultimo "SLUenv" e la combinazione "SLV2", con differenti parametri dei materiali per soddisfare le condizioni al paragrafo 8.2.4. La verifica lato Top è stata eseguita solamente sulla sezione del colletto, più sollecitata.

Verifiche allo Stato Limite Ultimo: inviluppo combinazioni SLU

Sezione Colletto: Verifica direzione radiale, Bottom



Verifica CA. S.L.U. - File: SLU_h375_radiale

File Materiali Opzioni Visualizza Progetto Sez. Rett. Sismica Normativa: NTC 2018 ?

TITOLO : Sezione

N° figure elementari 1 Zoom N° strati barre 2 Zoom

N°	b [cm]	h [cm]	N°	As [cm²]	d [cm]
1	100	375	1	72,8	8,5
			2	145,7	367,5

Sollecitazioni S.L.U. Metodo n

N_{Ed} 0 kN M_{Ed} 0 kNm M_{yEd} 0

P.to applicazione N: Centro Baricentro cls Coord.[cm] xN 0 yN 0

Tipo rottura: Lato calcestruzzo - Acciaio snervato

M_{xRd} 20,478 kNm

Materiali: B450C C32/40

ε_{su} 67,5 ‰ ε_{c2} 2 ‰ σ_c -18,13 N/mm² σ_s 391,3 N/mm² ε_c 3,5 ‰ ε_s 63,13 ‰ E_s 200.000 N/mm² f_{cd} -18,13 f_{cc}/f_{cd} 0,8 f_{yk} 391,3 N/mm² E_c/E_c 15 f_{ct,adm} 12,25 C_{c,adm} 255 N/mm² τ_{co} 0,7333 τ_{c1} 2,114

Metodo di calcolo: S.L.U. + Metodo n

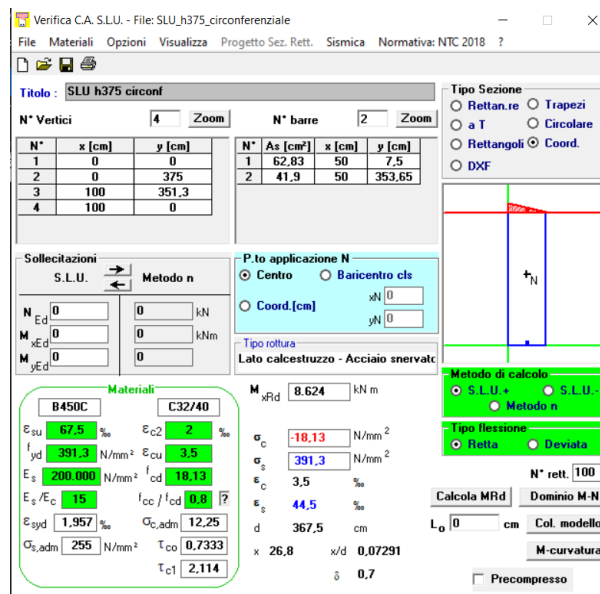
Tipo flessione: Retta Deviata

N° rett. 100

Calcola MRd Dominio M-N L₀ 0 cm Col. modello M-curvatura

Precompresso

Sezione Colletto: Verifica direzione circonferenziale, Bottom



Verifica CA. S.L.U. - File: SLU_h375_circonferenziale

File Materiali Opzioni Visualizza Progetto Sez. Rett. Sismica Normativa: NTC 2018 ?

TITOLO : SLU h375 circonfer

N° Vertici 4 Zoom N° barre 2 Zoom

N°	x [cm]	y [cm]	N°	As [cm²]	x [cm]	y [cm]
1	0	0	1	62,83	50	7,5
2	0	375	2	41,9	50	353,65
3	100	351,3				
4	100	0				

Sollecitazioni S.L.U. Metodo n

N_{Ed} 0 kN M_{Ed} 0 kNm M_{yEd} 0

P.to applicazione N: Centro Baricentro cls Coord.[cm] xN 0 yN 0

Tipo rottura: Lato calcestruzzo - Acciaio snervato

M_{xRd} 8,624 kNm

Materiali: B450C C32/40

ε_{su} 67,5 ‰ ε_{c2} 2 ‰ σ_c -18,13 N/mm² σ_s 391,3 N/mm² ε_c 3,5 ‰ ε_s 44,5 ‰ E_s 200.000 N/mm² f_{cd} -18,13 f_{cc}/f_{cd} 0,8 f_{yk} 391,3 N/mm² E_c/E_c 15 f_{ct,adm} 12,25 C_{c,adm} 255 N/mm² τ_{co} 0,7333 τ_{c1} 2,114

Metodo di calcolo: S.L.U. + S.L.U. + Metodo n

Tipo flessione: Retta Deviata

N° rett. 100

Calcola MRd Dominio M-N L₀ 0 cm Col. modello M-curvatura

Precompresso

Sezione Colletto: Verifica direzione radiale, Top

Verifica C.A. S.L.U. - File: SLV_h375_radiale

File Materiali Opzioni Visualizza Progetto Sez. Rett. Sismica Normativa: NTC 2018 ?

Titolo: Sezione

N° figure elementari Zoom N° strati barre Zoom

N°	b [cm]	h [cm]	N°	As [cm²]	d [cm]
1	100	375	1	72,8	8,5
			2	145,7	367,5

Sollecitazioni
S.L.U. Metodo n

N_{Ed} kN
M_{xEd} kNm
M_{yEd} kNm

P.to applicazione N
 Centro Baricentro cls
 Coord.[cm] xN yN

Materiali
B450C C32/40

ϵ_{su} 1.957 ‰	ϵ_{c2} 2 ‰	σ_c 6.182 N/mm ²
f_{yd} 391,3 N/mm ²	ϵ_{cu} 2 ‰	σ_s 391,3 N/mm ²
E_s 200.000 N/mm ²	f_{cd} 18,13	ϵ_c 0,3764 ‰
E_s/E_c 15	f_{cc}/f_{cd} 0,8	ϵ_s 1,957 ‰
ϵ_{syd} 1,957 ‰	$\sigma_{c,adm}$ 12,25	d 366,5 cm
$\sigma_{s,adm}$ 255 N/mm ²	τ_{co} 0,7333	x 59,12 x/d 0,1613
τ_{c1} 2,114		δ 0,7

M_{xRd} -9.989 kNm

Tipo Sezione
 Rettan.re Trapezi
 a T Circolare
 Rettangoli Coord.
 DXF

Metodo di calcolo
 S.L.U.+ S.L.U.-
 Metodo n

Tipo flessione
 Retta Deviate

N° rett. 100
Calcola MRd Dominio M-N
L₀ cm Col. modello
M-curvatura
 Precompresso

Sezione Colletto: Verifica direzione circonferenziale, Top

Verifica C.A. S.L.U. - File: SLU_h375_circonferenziale

File Materiali Opzioni Visualizza Progetto Sez. Rett. Sismica Normativa: NTC 2018 ?

Titolo: SLU h375 circonf

N° Vertici Zoom N° barre Zoom

N°	x [cm]	y [cm]	N°	As [cm²]	x [cm]	y [cm]
1	0	0	1	62,83	50	7,5
2	0	375	2	41,9	50	353,65
3	100	351,3				
4	100	0				

Sollecitazioni
S.L.U. Metodo n

N_{Ed} kN
M_{xEd} kNm
M_{yEd} kNm

P.to applicazione N
 Centro Baricentro cls
 Coord.[cm] xN yN

Materiali
B450C C32/40

ϵ_{su} 67,5 ‰	ϵ_{c2} 2 ‰	σ_c -18,06 N/mm ²
f_{yd} 391,3 N/mm ²	ϵ_{cu} 3,5 ‰	σ_s 391,3 N/mm ²
E_s 200.000 N/mm ²	f_{cd} 18,13	ϵ_c 1,874 ‰
E_s/E_c 15	f_{cc}/f_{cd} 0,8	ϵ_s 67,5 ‰
ϵ_{syd} 1,957 ‰	$\sigma_{c,adm}$ 12,25	d 353,7 cm
$\sigma_{s,adm}$ 255 N/mm ²	τ_{co} 0,7333	x 9,555 x/d 0,02702
τ_{c1} 2,114		δ 0,7

M_{xRd} -5.718 kNm

Tipo Sezione
 Rettan.re Trapezi
 a T Circolare
 Rettangoli Coord.
 DXF

Metodo di calcolo
 S.L.U.+ S.L.U.-
 Metodo n

Tipo flessione
 Retta Deviate

N° rett. 100
Calcola MRd Dominio M-N
L₀ cm Col. modello
M-curvatura
 Precompresso

Sezione in mezzeria del basamento: Verifica direzione radiale

Verifica C.A. S.L.U. - File: SLU_h263 (mezzeria)_radiale

File Materiali Opzioni Visualizza Progetto Sez. Rett. Sismica Normativa: NTC 2018 ?

Titolo: SLU_H263_Radiale

N° figure elementari Zoom N° strati barre Zoom

N°	b [cm]	h [cm]	N°	As [cm²]	d [cm]
1	100	263	1	26,2	8,5
			2	52,3	255,5

Sollecitazioni S.L.U. Metodo n

N_{Ed} 0 0 kN
M_{xEd} 0 0 kNm
M_{yEd} 0 0

P.to applicazione N
 Centro Baricentro cls
 Coord.[cm] xN 0 yN 0

Tipo rottura
Lato acciaio - Acciaio snervato

M_{xRd} 5.117 kN m

Materiali

B450C		C32/40	
ϵ_{su}	67,5 ‰	ϵ_{c2}	2 ‰
f_{yd}	391,3 N/mm²	ϵ_{cu}	3,5 ‰
E_s	200.000 N/mm²	f_{cd}	18,13
E_s/E_c	15	f_{cc}/f_{cd}	0,8 ?
ϵ_{syd}	1,957 ‰	$\sigma_{c,adm}$	12,25
$\sigma_{s,adm}$	255 N/mm²	τ_{co}	0,7333
		τ_{c1}	2,114

σ_c -18,13 N/mm²
 σ_s 391,3 N/mm²
 ϵ_c 3,139 ‰
 ϵ_s 67,5 ‰
d 255,5 cm
x 11,35 x/d 0,04443
 δ 0,7

Tipo Sezione
 Rettan.re Trapezi
 a T Circolare
 Rettangoli Coord.
 DXF

Metodo di calcolo
 S.L.U.+ S.L.U.-
 Metodo n

Tipo flessione
 Retta Deviata

N° rett. 100
Calcola MRd Dominio M-N
L₀ 0 cm Col. modello
M-curvatura
 Precompresso

Sezione in mezzeria del basamento: Verifica direzione circonferenziale

Verifica C.A. S.L.U. - File: SLU_h263 (mezzeria)_circonferenziale

File Materiali Opzioni Visualizza Progetto Sez. Rett. Sismica Normativa: NTC 2018 ?

Titolo: SLU_h263_circonferenziale

N° Vertici Zoom N° barre Zoom

N°	x [cm]	y [cm]	N°	As [cm²]	x [cm]	y [cm]
1	0	0	1	62,8	50	5
2	0	274	2	31,42	50	256
3	100	251				
4	100	0				

Sollecitazioni S.L.U. Metodo n

N_{Ed} 0 0 kN
M_{xEd} 0 0 kNm
M_{yEd} 0 0

P.to applicazione N
 Centro Baricentro cls
 Coord.[cm] xN 0 yN 0

Tipo rottura
Lato calcestruzzo - Acciaio snervato

M_{xRd} 6.227 kN m

Materiali

B450C		C32/40	
ϵ_{su}	67,5 ‰	ϵ_{c2}	2 ‰
f_{yd}	391,3 N/mm²	ϵ_{cu}	3,5 ‰
E_s	200.000 N/mm²	f_{cd}	18,13
E_s/E_c	15	f_{cc}/f_{cd}	0,8 ?
ϵ_{syd}	1,957 ‰	$\sigma_{c,adm}$	12,25
$\sigma_{s,adm}$	255 N/mm²	τ_{co}	0,7333
		τ_{c1}	2,114

σ_c -18,13 N/mm²
 σ_s 391,3 N/mm²
 ϵ_c 3,5 ‰
 ϵ_s 32,85 ‰
d 269 cm
x 25,9 x/d 0,09628
 δ 0,7

Tipo Sezione
 Rettan.re Trapezi
 a T Circolare
 Rettangoli Coord.
 DXF

Metodo di calcolo
 S.L.U.+ S.L.U.-
 Metodo n

Tipo flessione
 Retta Deviata

N° rett. 100
Calcola MRd Dominio M-N
L₀ 0 cm Col. modello
M-curvatura
 Precompresso

Sezione perimetrale del basamento, asse palo: Verifica direzione radiale

Verifica C.A. S.L.U. - File: SLU_h193 (palo)_radiale

File Materiali Opzioni Visualizza Progetto Sez. Rett. Sismica Normativa: NTC 2018 ?

Titolo: SLU_H193(palo)_radiale

N° figure elementari Zoom N° strati barre Zoom

N°	b [cm]	h [cm]	N°	As [cm²]	d [cm]
1	100	193	1	20,2	7,5
			2	37,9	185

Sollecitazioni
S.L.U. Metodo n

N_{Ed} kN
M_{Ed} kNm
M_{yEd}

P.to applicazione N
 Centro Baricentro cls
 Coord.[cm] xN yN

Tipo rottura
Lato acciaio - Acciaio snervato

M_{xRd} kN m

Materiali
B450C C32/40
ε_{su} ‰ ε_{c2} ‰
f_{yd} N/mm² ε_{cu} ‰
E_s N/mm² f_{cd} ‰
E_s/E_c f_{cc}/f_{cd} ?
ε_{syd} ‰ σ_{c,adm} ‰
σ_{s,adm} N/mm² τ_{co} ‰
τ_{c1} ‰

σ_c N/mm²
σ_s N/mm²
ε_c ‰
ε_s ‰
d cm
x x/d
δ

Tipo Sezione
 Rettan.re Trapezi
 a T Circolare
 Rettangoli Coord.
 DXF

Metodo di calcolo
 S.L.U.+ S.L.U.-
 Metodo n

Tipo flessione
 Retta Deviata

N° rett.
Calcola MRd Dominio M-N
L₀ cm Col. modello
M-curvatura
 Precompresso

Sezione perimetrale del basamento, asse palo: Verifica direzione circonferenziale

Verifica C.A. S.L.U. - File: SLU_h193 (palo)_circonferenziale

File Materiali Opzioni Visualizza Progetto Sez. Rett. Sismica Normativa: NTC 2018 ?

Titolo: SLU_Sez_palo_circonferenziale

N° Vertici Zoom N° barre Zoom

N°	x [cm]	y [cm]	N°	As [cm²]	x [cm]	y [cm]
1	0	0	1	31,42	50	5
2	0	204	2	31,42	50	188
3	100	181				
4	100	0				

Sollecitazioni
S.L.U. Metodo n

N_{Ed} kN
M_{Ed} kNm
M_{yEd}

P.to applicazione N
 Centro Baricentro cls
 Coord.[cm] xN yN

Tipo rottura
Lato calcestruzzo - Acciaio snervato

M_{xRd} kN m

Materiali
B450C C32/40
ε_{su} ‰ ε_{c2} ‰
f_{yd} N/mm² ε_{cu} ‰
E_s N/mm² f_{cd} ‰
E_s/E_c f_{cc}/f_{cd} ?
ε_{syd} ‰ σ_{c,adm} ‰
σ_{s,adm} N/mm² τ_{co} ‰
τ_{c1} ‰

σ_c N/mm²
σ_s N/mm²
ε_c ‰
ε_s ‰
d cm
x x/d
δ

Tipo Sezione
 Rettan.re Trapezi
 a T Circolare
 Rettangoli Coord.
 DXF

Metodo di calcolo
 S.L.U.+ S.L.U.-
 Metodo n

Tipo flessione
 Retta Deviata

N° rett.
Calcola MRd Dominio M-N
L₀ cm Col. modello
M-curvatura
 Precompresso

Verifica Stato Limite di Vita: combinazione SLV2

Sezione Colletto: Verifica direzione radiale, Bottom

Verifica C.A. S.L.U. - File: SLV_h375_radiale

File Materiali Opzioni Visualizza Progetto Sez. Rett. Sismica Normativa: NTC 2018 ?

TITOLO : Sezione

N° figure elementari Zoom N° strati barre Zoom

N°	b [cm]	h [cm]	N°	As [cm²]	d [cm]
1	100	375	1	72,8	8,5
			2	145,7	367,5

Sollecitazioni S.L.U. Metodo n

N_{Ed} 0 0 kN
M_{xEd} 0 0 kNm
M_{yEd} 0 0

P.to applicazione N
 Centro Baricentro cls
 Coord.[cm] xN 0 yN 0

Tipo rottura
Lato acciaio - Acciaio snervato

M_{xRd} 19,351 kN m

Materiali

B450C		C32/40	
E _{su}	1,957 ‰	E _{c2}	2 ‰
f _{yd}	391,3 N/mm²	E _{cu}	2
E _s	200,000 N/mm²	f _{cd}	18,13
E _s /E _c	15	f _{cc} /f _{cd}	0,8
E _{syd}	1,957 ‰	σ _{c,adm}	12,25
σ _{s,adm}	255 N/mm²	τ _{co}	0,7333
		τ _{c1}	2,114

σ_c -9,895 N/mm²
σ_s 391,3 N/mm²
ε_c 0,6521 ‰
ε_s 1,957 ‰
d 367,5 cm
x 91,85 x/d 0,2499
δ 0,7524

Tipo Sezione
 Rettan.re Trapezi
 a T Circolare
 Rettangoli Coord.
 DXF

Metodo di calcolo
 S.L.U.+ S.L.U.-
 Metodo n

Tipo flessione
 Retta Deviata

N° rett. 100
Calcola MRd Dominio M-N
L₀ 0 cm Col. modello
M-curvatura
 Precompresso

Sezione Colletto: Verifica direzione circonferenziale, Bottom

Verifica C.A. S.L.U. - File: SLU_h375_circonferenziale

File Materiali Opzioni Visualizza Progetto Sez. Rett. Sismica Normativa: NTC 2018 ?

TITOLO : SLU h375 circonf

N° Vertici Zoom N° barre Zoom

N°	x [cm]	y [cm]	N°	As [cm²]	x [cm]	y [cm]
1	0	0	1	62,83	50	7,5
2	0	375	2	41,9	50	353,65
3	100	351,3				
4	100	0				

Sollecitazioni S.L.U. Metodo n

N_{Ed} 0 0 kN
M_{xEd} 0 0 kNm
M_{yEd} 0 0

P.to applicazione N
 Centro Baricentro cls
 Coord.[cm] xN 0 yN 0

Tipo rottura
Lato acciaio - Acciaio snervato

M_{xRd} 8,283 kN m

Materiali

B450C		C32/40	
E _{su}	1,957 ‰	E _{c2}	2 ‰
f _{yd}	391,3 N/mm²	E _{cu}	2
E _s	200,000 N/mm²	f _{cd}	18,13
E _s /E _c	15	f _{cc} /f _{cd}	0,8
E _{syd}	1,957 ‰	σ _{c,adm}	12,25
σ _{s,adm}	255 N/mm²	τ _{co}	0,7333
		τ _{c1}	2,114

σ_c -7,793 N/mm²
σ_s 391,3 N/mm²
ε_c 0,4898 ‰
ε_s 1,957 ‰
d 367,5 cm
x 73,57 x/d 0,2002
δ 0,7

Tipo Sezione
 Rettan.re Trapezi
 a T Circolare
 Rettangoli Coord.
 DXF

Metodo di calcolo
 S.L.U.+ S.L.U.-
 Metodo n

Tipo flessione
 Retta Deviata

N° rett. 100
Calcola MRd Dominio M-N
L₀ 0 cm Col. modello
M-curvatura
 Precompresso

Sezione Colletto: Verifica direzione radiale, Top

Verifica C.A. S.L.U. - File: SLV_h375_radiale

File Materiali Opzioni Visualizza Progetto Sez. Rett. Sismica Normativa: NTC 2018 ?

Titolo: Sezione

N° figure elementari Zoom N° strati barre Zoom

N°	b [cm]	h [cm]	N°	As [cm²]	d [cm]
1	100	375	1	72,8	8,5
			2	145,7	367,5

Sollecitazioni
S.L.U. Metodo n

N_{Ed} kN
M_{xEd} kNm
M_{yEd}

P.to applicazione N
 Centro Baricentro cls
 Coord.[cm] xN yN

Materiali
B450C C32/40

ϵ_{su} 1,957 ‰ ϵ_{c2} 2 ‰
 f_{yd} 391,3 N/mm² ϵ_{cu} 2 ‰
 E_s 200.000 N/mm² f_{cd} 18,13
 E_s/E_c 15 f_{cc}/f_{cd} 0,8
 ϵ_{syd} 1,957 ‰ $\sigma_{c,adm}$ 12,25
 $\sigma_{s,adm}$ 255 N/mm² τ_{co} 0,7333
 τ_{c1} 2,114

P.to rottura
Lato acciaio - Acciaio snervato

M_{xRd} -9,989 kNm
 σ_c 6,182 N/mm²
 σ_s 391,3 N/mm²
 ϵ_c 0,3764 ‰
 ϵ_s 1,957 ‰
d 366,5 cm
x 59,12 x/d 0,1613
 δ 0,7

Tipo Sezione
 Rettan.re Trapezi
 a T Circolare
 Rettangoli Coord.
 DXF

Metodo di calcolo
 S.L.U.+ S.L.U.-
 Metodo n

Tipo flessione
 Retta Deviata

N° rett. 100
Calcola MRd Dominio M-N
L₀ cm Col. modello
M-curvatura
 Precompresso

Sezione Colletto: Verifica direzione radiale, Top

Verifica C.A. S.L.U. - File: SLU_h375_circonfrenziale

File Materiali Opzioni Visualizza Progetto Sez. Rett. Sismica Normativa: NTC 2018 ?

Titolo: SLU h375 circonf

N° Vertici Zoom N° barre Zoom

N°	x [cm]	y [cm]	N°	As [cm²]	x [cm]	y [cm]
1	0	0	1	62,83	50	7,5
2	0	375	2	41,9	50	353,65
3	100	351,3				
4	100	0				

Sollecitazioni
S.L.U. Metodo n

N_{Ed} kN
M_{xEd} kNm
M_{yEd}

P.to applicazione N
 Centro Baricentro cls
 Coord.[cm] xN yN

Materiali
B450C C32/40

ϵ_{su} 1,957 ‰ ϵ_{c2} 2 ‰
 f_{yd} 391,3 N/mm² ϵ_{cu} 2 ‰
 E_s 200.000 N/mm² f_{cd} 18,13
 E_s/E_c 15 f_{cc}/f_{cd} 0,8
 ϵ_{syd} 1,957 ‰ $\sigma_{c,adm}$ 12,25
 $\sigma_{s,adm}$ 255 N/mm² τ_{co} 0,7333
 τ_{c1} 2,114

P.to rottura
Lato acciaio - Acciaio snervato

M_{xRd} -5,558 kNm
 σ_c -5,222 N/mm²
 σ_s 391,3 N/mm²
 ϵ_c 0,3125 ‰
 ϵ_s 1,957 ‰
d 353,7 cm
x 48,69 x/d 0,1377
 δ 0,7

Tipo Sezione
 Rettan.re Trapezi
 a T Circolare
 Rettangoli Coord.
 DXF

Metodo di calcolo
 S.L.U.+ S.L.U.-
 Metodo n

Tipo flessione
 Retta Deviata

N° rett. 100
Calcola MRd Dominio M-N
L₀ cm Col. modello
M-curvatura
 Precompresso

Sezione mezzeria basamento: Verifica direzione radiale

Verifica C.A. S.L.U. - File: SLU_h263 (mezzeria)_radiale

File Materiali Opzioni Visualizza Progetto Sez. Rett. Sismica Normativa: NTC 2018 ?

Titolo: SLU_H263_Radiale

N° figure elementari Zoom N° strati barre Zoom

N°	b [cm]	h [cm]	N°	As [cm²]	d [cm]
1	100	263	1	26,2	8,5
			2	52,3	255,5

Sollecitazioni
S.L.U. Metodo n

N_{Ed} kN
M_{xEd} kNm
M_{yEd} kNm

P.to applicazione N
 Centro Baricentro cls
 Coord.[cm] xN yN

Tipi rottura
Lato acciaio - Acciaio snervato

M_{xRd} kN m

Materiali
B450C C32/40

ε_{su} ‰ ε_{c2} ‰
f_{yd} N/mm² ε_{cu} ‰
E_s N/mm² f_{cd} ‰
E_s/E_c f_{cc}/f_{cd} ?
ε_{syd} ‰ σ_{c,adm} ‰
σ_{s,adm} N/mm² τ_{co} ‰
τ_{c1} ‰

σ_c N/mm²
σ_s N/mm²
ε_c ‰
ε_s ‰
d cm
x x/d
δ

Metodo di calcolo
 S.L.U.+ S.L.U.-
 Metodo n

Tipi flessione
 Retta Deviata

N° rett.
Calcola MRd Dominio M-N
L₀ cm Col. modello
M-curvatura
 Precompresso

Sezione mezzeria basamento: Verifica direzione circonferenziale

Verifica C.A. S.L.U. - File: SLU_h263 (mezzeria)_circonferenziale

File Materiali Opzioni Visualizza Progetto Sez. Rett. Sismica Normativa: NTC 2018 ?

Titolo: SLU_h263_circonferenziale

N° Vertici Zoom N° barre Zoom

N°	x [cm]	y [cm]	N°	As [cm²]	x [cm]	y [cm]
1	0	0	1	62,8	50	5
2	0	274	2	31,42	50	256
3	100	251				
4	100	0				

Sollecitazioni
S.L.U. Metodo n

N_{Ed} kN
M_{xEd} kNm
M_{yEd} kNm

P.to applicazione N
 Centro Baricentro cls
 Coord.[cm] xN yN

Tipi rottura
Lato acciaio - Acciaio snervato

M_{xRd} kN m

Materiali
B450C C32/40

ε_{su} ‰ ε_{c2} ‰
f_{yd} N/mm² ε_{cu} ‰
E_s N/mm² f_{cd} ‰
E_s/E_c f_{cc}/f_{cd} ?
ε_{syd} ‰ σ_{c,adm} ‰
σ_{s,adm} N/mm² τ_{co} ‰
τ_{c1} ‰

σ_c N/mm²
σ_s N/mm²
ε_c ‰
ε_s ‰
d cm
x x/d
δ

Metodo di calcolo
 S.L.U.+ S.L.U.-
 Metodo n

Tipi flessione
 Retta Deviata

N° rett.
Calcola MRd Dominio M-N
L₀ cm Col. modello
M-curvatura
 Precompresso

Sezione perimetrale del basamento, asse palo: Verifica direzione radiale

Verifica C.A. S.L.U. - File: SLU_h193 (palo)_radiale

File Materiali Opzioni Visualizza Progetto Sez. Rett. Sismica Normativa: NTC 2018 ?

Titolo: SLU_H193(palo)_radiale

N° figure elementari Zoom N° strati barre Zoom

N°	b [cm]	h [cm]	N°	As [cm²]	d [cm]
1	100	193	1	20,2	7,5
			2	37,9	185

Sollecitazioni
S.L.U. Metodo n

N_{Ed} 0 kN
M_{xEd} 0 kNm
M_{yEd} 0

P.to applicazione N
 Centro Baricentro cls
 Coord.[cm] xN 0 yN 0

Tipologia
Lato acciaio - Acciaio snervato

M_{xRd} 2.573 kN m

Materiali
B450C C32/40

ε_{su} 1,957 ‰ ε_{c2} 2 ‰
f_{yd} 391,3 N/mm² ε_{cu} 2 ‰
E_s 200.000 N/mm² f_{cd} 18,13 ‰
E_s/E_c 15 f_{cc}/f_{cd} 0,8
ε_{syd} 1,957 ‰ σ_{c,adm} 12,25 ‰
σ_{s,adm} 255 N/mm² τ_{co} 0,7333
τ_{c1} 2,114

σ_c -7,332 N/mm²
σ_s 391,3 N/mm²
ε_c 0,4565 ‰
ε_s 1,957 ‰
d 185 cm
x 34,99 x/d 0,1892
δ 0,7

Metodo di calcolo
 S.L.U.+ S.L.U.-
 Metodo n

Tipologia flessione
 Retta Deviata

N° rett. 100
Calcola MRd Dominio M-N
L₀ 0 cm Col. modello
M-curvatura
 Precompresso

Sezione perimetrale del basamento, asse palo: Verifica direzione circonferenziale

Verifica C.A. S.L.U. - File: SLU_h193 (palo)_circonferenziale

File Materiali Opzioni Visualizza Progetto Sez. Rett. Sismica Normativa: NTC 2018 ?

Titolo: SLU_Sez palo_circonferenziale

N° Vertici Zoom N° barre Zoom

N°	x [cm]	y [cm]	N°	As [cm²]	x [cm]	y [cm]
1	0	0	1	31,42	50	5
2	0	204	2	31,42	50	188
3	100	181				
4	100	0				

Sollecitazioni
S.L.U. Metodo n

N_{Ed} 0 kN
M_{xEd} 0 kNm
M_{yEd} 0

P.to applicazione N
 Centro Baricentro cls
 Coord.[cm] xN 0 yN 0

Tipologia
Lato acciaio - Acciaio snervato

M_{xRd} 2.208 kN m

Materiali
B450C C32/40

ε_{su} 1,957 ‰ ε_{c2} 2 ‰
f_{yd} 391,3 N/mm² ε_{cu} 2 ‰
E_s 200.000 N/mm² f_{cd} 18,13 ‰
E_s/E_c 15 f_{cc}/f_{cd} 0,8
ε_{syd} 1,957 ‰ σ_{c,adm} 12,25 ‰
σ_{s,adm} 255 N/mm² τ_{co} 0,7333
τ_{c1} 2,114

σ_c -8,249 N/mm²
σ_s 391,3 N/mm²
ε_c 0,5235 ‰
ε_s 1,957 ‰
d 199 cm
x 42 x/d 0,2111
δ 0,7038

Metodo di calcolo
 S.L.U.+ S.L.U.-
 Metodo n

Tipologia flessione
 Retta Deviata

N° rett. 100
Calcola MRd Dominio M-N
L₀ 0 cm Col. modello
M-curvatura
 Precompresso

7.2.7. Verifica a taglio platea

Si considerano i valori di taglio massimo V_{xx} in combinazione "SLUenv", come riportati al paragrafo 8.2.3., essendo in questa direzione le azioni più gravose.

Sezione Colletto:

Nelle zone di maggior sollecitazione, riscontrabili nel perimetro prossimo al colletto di innesto della torre dovrà essere disposto un opportuno quantitativo di armatura trasversale in modo da incrementare la resistenza a taglio della piastra.

Dovranno essere disposti nella zona prossima al colletto a passo 25 cm almeno 6.28 cm^2 di armatura ($2\emptyset 20$) per metro, come mostrato nella verifica sottostante.

DETERMINAZIONE DELLA RESISTENZA A TAGLIO DI SEZIONI IN C.A. - NTC2018					
Caratteristiche dei materiali					
f_{ck}		MPa	32		
α_{cc}			0.85		
γ_c			1.5		
f_{cd}	resistenza di calcolo a compressione del calcestruzzo	MPa	18.13		$a_{cc} \cdot f_{cd} / \gamma_c$
γ_s			1.15		
$f_{y,wd}$		MPa	391.30		f_{yd} / γ_s
Caratteristiche della sezione resistente					
V_{Ed}	taglio sollecitante di progetto	kN	4280		
b_w	larghezza della sezione	cm	100		
h	altezza totale della sezione	cm	375		
c	distanza asse barre dal lembo teso	cm	8.5		
d	altezza utile della sezione	cm	366.5		$h - c$
d^*		cm	329.85		$0.9 d$
k			1.234		$\min[1.0 + \sqrt{(20/d)}, 2.0]$
$A_{s,l}$	area di armatura longitudinale tesa	cm ²	145.7		
ρ_l	rapporto geometrico di armatura longitudinale tesa		0.0039		
$A_{s,w}$	area di armatura a taglio disposta	cm ²	6.28		
s	spaziatura staffe	cm	25		
Controllo necessità di armatura a taglio					
V_{Rdc1}		kN	1256.87		$[0.18 \cdot k \cdot (100 \cdot \rho_l \cdot f_{ck})^{1/3}] / \gamma_c \cdot b_w \cdot d$
V_{Rdc2}		kN	994.21		$[0.035 \cdot k^2 \cdot (3/2) \cdot \sqrt{f_{ck}}] \cdot b_w \cdot d$
V_{Rdc}	resistenza della sezione non armata a taglio	kN	1256.87		$\max[V_{Rdc1}, V_{Rdc2}]$
V_{Ed} / V_{Rdc}	è necessario prevedere l'armatura a taglio $V_{Rdc} < V_{Ed}$				
Controllo capacità massima della sezione a taglio					
v	coefficiente di riduzione della resistenza del cls fessurato per taglio		0.5		
α_c	coefficiente per effetti dello sforzo assiale di compressione		1		
α	inclinazione armature a taglio	rad	1.571	gradi	90
$V_{Rd,max}$	massima resistenza a taglio-compressione della sezione	kN	14953		$1.0 \cdot v \cdot f_{cd} \cdot [\cot(\alpha) + \tan(\alpha)] \cdot b_w \cdot 0.9 \cdot d^*$
$V_{Ed} / V_{Rd,max}$	sezione sufficiente per la resistenza taglio				
			0.286		
Calcolo della resistenza della sezione con armatura a taglio					
ω_{sw}	percentuale meccanica di armatura trasversale (per $\alpha = 90^\circ$)		0.05		$(A_{s,w} \cdot f_{yd}) / (b \cdot s \cdot f_{cd})$
ϑ_{calc}	valore di teta calcolato	rad	0.336	= 19.22°	$\cot(\vartheta_{calc}) = 2.87$
ϑ_{min}	valore minimo di teta	rad	0.785	= 45°	$\cot(\vartheta_{min}) = 1.00$
ϑ_{max}	valore massimo di teta	rad	0.381	= 21.8°	$\cot(\vartheta_{max}) = 2.50$
ϑ	valore di calcolo di teta	rad	0.381	= 21.8°	$\cot(\vartheta) = 2.50$
V_{Rsd}	resistenza a taglio trazione	kN	8106		$A_{s,w} \cdot f_{yd} \cdot d^* / s \cdot (\cot(\alpha) + \cot(\vartheta)) \cdot \sin(\alpha)$
V_{Rcd}	resistenza a taglio compressione	kN	10313		$b \cdot d^* \cdot a_c \cdot n \cdot f_{cd} \cdot (\cot(\alpha) + \cot(\vartheta)) / (1 + \cot^2(\alpha))$
V_{Rd}	resistenza a taglio della sezione	kN	8106		
V_{Ed} / V_{Rd}	coefficiente di sfruttamento della capacità di resistenza a taglio		0.528		

Nelle altre zone si è verificato che è sufficiente una spaziatura inferiore.

Nel tratto centrale del basamento è possibile aumentare il passo a 50 cm, come mostrato nella verifica sottostante, nella sezione posta a 470 cm dal centro del basamento.

DETERMINAZIONE DELLA RESISTENZA A TAGLIO DI SEZIONI IN C.A. - NTC2018
Caratteristiche dei materiali

f_{ck}		MPa	32	
α_{cc}			0.85	
γ_c			1.5	
f_{cd}	resistenza di calcolo a compressione del calcestruzzo	MPa	18.13	$a_{cc} \cdot f_{cd} / \gamma_c$
γ_s			1.15	
$f_{y,wd}$		MPa	391.30	f_{yd} / γ_s

Caratteristiche della sezione resistente

V_{Ed}	taglio sollecitante di progetto	kN	2700	
b_w	larghezza della sezione	cm	100	
h	altezza totale della sezione	cm	335	
c	distanza asse barre dal lembo teso	cm	8.5	
d	altezza utile della sezione	cm	326.5	$h - c$
d^*		cm	293.85	0.9 d
k			1.247	$\min[1.0 + \sqrt{(20/d)}, 2.0]$
A_{sl}	area di armatura longitudinale tesa	cm ²	86.2	
ρ_l	rapporto geometrico di armatura longitudinale tesa		0.0026	
A_{sw}	area di armatura a taglio disposta	cm ²	6.28	
s	spaziatura staffe	cm	50	

Controllo necessità di armatura a taglio

V_{Rdc1}		kN	986.98	$[0.18 \cdot k \cdot (100 \cdot \rho_l \cdot f_{ck})^{1/3}] / \gamma_c \cdot b_w \cdot d$
V_{Rdc2}		kN	900.71	$[0.035 \cdot k^2(3/2) \cdot \sqrt{f_{ck}}] \cdot b_w \cdot d$
V_{Rdc}	resistenza della sezione non armata a taglio	kN	986.98	$\max[V_{Rdc1}, V_{Rdc2}]$
V_{Ed} / V_{Rdc}	è necessario prevedere l'armatura a taglio $V_{Rdc} < V_{Ed}$			

Controllo capacità massima della sezione a taglio

v	coefficiente di riduzione della resistenza del c/c fessurato per taglio		0.5	
α_c	coefficiente per effetti dello sforzo assiale di compressione		1	
α	inclinazione armature a taglio	rad	1.571	gradi 90
$V_{Rd,max}$	massima resistenza a taglio-compressione della sezione	kN	13321	$1.0 \cdot v \cdot f_{ctd}(\cot(45) + \tan(45)) \cdot b_w \cdot 0.9 \cdot d^*$
$V_{Ed} / V_{Rd,max}$	sezione sufficiente per la resistenza taglio			

Calcolo della resistenza della sezione con armatura a taglio

ω_{sw}	percentuale meccanica di armatura trasversale (per $\alpha=90^\circ$)		0.03	$(A_{sw} \cdot f_{yd}) / (b \cdot s \cdot f_{cd})$
ϑ_{calc}	valore di teta calcolato	rad	0.235 = 13.46°	$\cot(\vartheta_{calc}) = 4.18$
ϑ_{min}	valore minimo di teta	rad	0.785 = 45°	$\cot(\vartheta_{min}) = 1.00$
ϑ_{max}	valore massimo di teta	rad	0.381 = 21.8°	$\cot(\vartheta_{max}) = 2.50$
ϑ	valore di calcolo di teta	rad	0.381 = 21.8°	$\cot(\vartheta) = 2.50$
V_{Rsd}	resistenza a taglio trazione	kN	3611	$A_{sw} \cdot f_{yd} \cdot d^* / s \cdot (\cot(\alpha) + \cot(\vartheta)) \cdot \sin(\alpha)$
V_{Rcd}	resistenza a taglio compressione	kN	9187	$b \cdot d^* \cdot a_c \cdot n \cdot f_{cd} \cdot (\cot(\alpha) + \cot(\vartheta)) / (1 + \cot^2(\alpha))$
V_{Rd}	resistenza a taglio della sezione	kN	3611	
V_{Ed} / V_{Rd}	coefficiente di sfruttamento della capacità di resistenza a taglio		0.748	

Nella zona più periferica è possibile aumentare il passo fino a 1 m come evidenziato nella verifica sottostante, per una sezione a 1130 cm dal centro del basamento.

DETERMINAZIONE DELLA RESISTENZA A TAGLIO DI SEZIONI IN C.A. - NTC2018

Caratteristiche dei materiali

f_{ck}		MPa	32	
α_{cc}			0.85	
γ_c			1.5	
f_{cd}	resistenza di calcolo a compressione del calcestruzzo	MPa	18.13	$a_{cc} \cdot f_{cd} / \gamma_c$
γ_s			1.15	
$f_{y,wd}$		MPa	391.30	$f_{y,d} / \gamma_s$

Caratteristiche della sezione resistente

V_{Ed}	taglio sollecitante di progetto	kN	800	
b_w	larghezza della sezione	cm	100	
h	altezza totale della sezione	cm	175	
c	distanza asse barre dal lembo teso	cm	8.5	
d	altezza utile della sezione	cm	166.5	$h - c$
d^*		cm	149.85	$0.9 d$
k			1.347	$\min[1.0 + \sqrt{(20/d)}, 2.0]$
A_{s1}	area di armatura longitudinale tesa	cm ²	35.9	
ρ_l	rapporto geometrico di armatura longitudinale tesa		0.0021	
A_{sw}	area di armatura a taglio disposta	cm ²	6.28	
s	spaziatura staffe	cm	100	

Controllo necessità di armatura a taglio

V_{Rdc1}		kN	503.77	$[0.18 \cdot k \cdot (100 \cdot \rho_l \cdot f_{ck})^{1/3}] / \gamma_c \cdot b_w \cdot d$
V_{Rdc2}		kN	515.12	$[0.035 \cdot k^{3/2} \cdot \sqrt{f_{ck}}] \cdot b_w \cdot d$
V_{Rdc}	resistenza della sezione non armata a taglio	kN	515.12	$\max[V_{Rdc1}, V_{Rdc2}]$
V_{Ed} / V_{Rdc}	è necessario prevedere l'armatura a taglio $V_{Rdc} < V_{Ed}$			

Controllo capacità massima della sezione a taglio

v	coefficiente di riduzione della resistenza del cls fessurato per taglio		0.5	
α_c	coefficiente per effetti dello sforzo assiale di compressione		1	
α	inclinazione armature a taglio	rad	1.571	gradi 90
$V_{Rd,max}$	massima resistenza a taglio-compressione della sezione	kN	6793	$1.0 \cdot v \cdot f_{cd} \cdot (\cot(\alpha) + \tan(\alpha)) \cdot b_w \cdot 0.9 \cdot d^*$
$V_{Ed} / V_{Rd,max}$	sezione sufficiente per la resistenza taglio 0.118			

Calcolo della resistenza della sezione con armatura a taglio

ω_{sw}	percentuale meccanica di armatura trasversale (per $\alpha=90^\circ$)		0.01	$(A_{sw} \cdot f_{y,d}) / (b \cdot s \cdot f_{cd})$
ϑ_{calc}	valore di teta calcolato	rad	0.165 = 9.47°	$\cot(\vartheta_{calc}) = 5.99$
ϑ_{min}	valore minimo di teta	rad	0.785 = 45°	$\cot(\vartheta_{min}) = 1.00$
ϑ_{max}	valore massimo di teta	rad	0.381 = 21.8°	$\cot(\vartheta_{max}) = 2.50$
ϑ	valore di calcolo di teta	rad	0.381 = 21.8°	$\cot(\vartheta) = 2.50$
V_{Rsd}	resistenza a taglio trazione	kN	921	$A_{sw} \cdot f_{y,d} \cdot d^* / s \cdot (\cot(\alpha) + \cot(\vartheta)) \cdot \sin(\alpha)$
V_{Rcd}	resistenza a taglio compressione	kN	4685	$b \cdot d^* \cdot a_c \cdot n \cdot f_{cd} \cdot (\cot(\alpha) + \cot(\vartheta)) / (1 + \cot^2(\alpha))$
V_{Rd}	resistenza a taglio della sezione	kN	921	
V_{Ed} / V_{Rd}	coefficiente di sfruttamento della capacità di resistenza a taglio 0.869			

7.2.8. Verifica a punzonamento platea

La verifica di punzonamento viene eseguita considerando la reazione massima (combinazione "SLUenv") misurata alla base del palo meno il peso proprio del palo, sulla base delle indicazioni dell'EC2. Cautelativamente il coefficiente β viene adottato pari a 1.5, come per il caso di elementi posti all'angolo di piastre.

$$V_{Ed} = 5323 - 490 = 4833 \text{ kN}$$

Dati di input

Elemento: Basamento pala eolica	
$V_{Ed,g}$	daN 483,353 Forza globale di taglio-punzonamento di progetto
ΔV_{Ed}	daN 0 Forza contraria a $V_{Ed,g}$ (eventuale, nel caso di fondazioni)
β	n.o puro 1.50 coefficiente amplificativo della forza, in caso di eccentricità di carico
H	cm 177.00 Altezza totale della piastra
d_y	cm 168.00 altezze utili relative alle armature poste nelle due dir. ortogonali
d_z	cm 165.00 altezze utili relative alle armature poste nelle due dir. ortogonali
r_{ly}	% 0.21% Rapporto % dell'armat. tesa in direz. "y" rispetto area sezione
r_{lz}	% 0.09% Rapporto % dell'armat. tesa in direz. "z" rispetto area sezione
R_{ck}	daN/cm ² 400.0 Resistenza caratteristica cubica del calcestruzzo della lastra
Pilastro	Sezione b) Circolare C simbolo
Pilastro	Posizione d) di Bordo con sporto BS simbolo
Fori	Vicinanza a) No N simbolo
Φ	cm 100.00 diametro pilastro circolare

Dati dedotti dai materiali e dai dati di input

f_{ck}	daN/cm ² 332.0 Resistenza caratteristica cilindrica del calcestruzzo
f_{cd}	daN/cm ² 188.1 Resistenza di calcolo a compressione del calcestruzzo
$f = f_{ck}^{1/2} / f_{yk}$	cm/daN ^{1/2} 0.004049 Parte dipendente dai materiali nella formula (9.11)
$d = d_{eff}$	cm 166.50 Altezza utile della sezione
$r_{lyz} = \text{RADQ}(p_{ly} \times p_{lz})$	n.o puro 0.00140 Radice quadrata del prodotto delle percentuali di armatura
$r_l = \min(0.02 ; p_{lyz})$	n.o puro 0.00140 Coefficiente della formula (6.47): deve essere comunque ≤ 0.02
$d_{u1} = 2 \times d$	cm 333.00 Distanza di u_1 dal filo pilastro
$d_{est} = k_{out} \times d$	cm 249.75 Distanza da u_{out} dell'armatura più lontana dal filo pilastro
$d_{min} = 0.3 \times d$	cm 49.95 Distanza dal filo pilastro dell'armatura più vicina (cuciture verticali)
$d_{rad,max} = 0.75 \times d$	cm 124.88 Distanza radiale massima fra cuciture
$d_{cir,max,i} = 1.5 \times d$	cm 249.75 Distanza circonferenziale massima per cuciture interne a u_{out}
$d_{cir,max,e} = 2.0 \times d$	cm 333.00 Distanza circonferenziale massima per cuciture esterne a u_{out}

Dati dedotti: forze, tensioni, perimetro di verifica

$V_{Ed} = \beta \times (V_{Ed,g} - \Delta V_{Ed})$	daN 725,030 Forza effettiva di taglio-punzonamento di progetto
$\tau_{Rd,max} = v_v \times v \times f_{cd}$	daN/cm ² 37.63 Tensione di taglio-punzonamento massima assoluta
$k = \min(2 ; 1 + (20/d)^{1/2})$	n.o puro 1.347 Coefficiente della formula (6.47): deve essere comunque ≤ 2.00
$\tau_a = C_{Rd,c} \times k \times (100 \times \rho) \times f_{ck}^{1/3}$	daN/cm ² 2.698 Tensione massima ammessa senza armatura da confrontare con τ_{min}
$\tau_{min} = 0.1107 \times k^{3/2} \times f_{ck}^{1/2}$	daN/cm ² 3.152 Tensione massima ammessa senza armatura: valore minimo comunque
$\tau_{Rd,c} = \max(\tau_a ; \tau_{min})$	daN/cm ² 3.152 Tensione massima ammessa senza armatura (max fra τ_{min} e $\tau_{Rd,c}$)
$u_{out} = V_{Ed} / (\tau_{Rd,c} \times d)$	cm 1,381.6 Perimetro di verifica oltre il quale non serve armatura

Perimetro di filo pilastro: u_0	cm 314.2 Perimetro di verifica di filo pilastro
Perimetro di verifica di base: u_1	cm 1,503.2 Perimetro di verifica di base

Verifica alla faccia del pilastro; controllo della correttezza di materiali e dimensioni

$\tau_{Ed} = \beta \times V_{Ed,g} / (u_0 \times d)$	daN/cm ² 13.86 Tensione di progetto in corrispondenza della faccia del pilastro
$r = \tau_{Rd,max} / \tau_{Ed}$	n.o puro 2.715 materiali e geometria idonei

Verifica al perimetro di base; controllo della necessità di armatura

$\tau_{Ed,1} = V_{Ed} / (u_1 \times d)$	daN/cm ² 2.897 Tensione di progetto in corrispondenza della sezione di base
$r = \tau_{Rd,c} / \tau_{Ed,1}$	n.o puro 1.088 non è necessaria l'armatura

7.2.9. Verifiche tensionali in esercizio

Si esegue il controllo delle tensioni sulla sezione del colpetto, più sollecitata, e si verifica che siano compatibili con i seguenti limiti imposti dalla Normativa.

Sono stati ottenuti i seguenti risultati, che verificano le sezioni analizzate.

Combinazione	Normativa	Valore limite	Valore progetto	
			Direzione radiale	Direzione circonferenziale
SLEr	$\sigma_s \leq 0.8 * f_{yk}$	$\sigma_s \leq 360$ MPa	334.4 MPa	316.7 MPa
	$\sigma_c \leq 0.6 * f_{ck}$	$\sigma_c \leq 19.2$ MPa	8.2 MPa	5.0 MPa
SLEqp	$\sigma_c \leq 0.45 * f_{ck}$	$\sigma_c \leq 14.4$ MPa	6.6 MPa	4.2 MPa

7.3. CALCOLO RIGIDEZZA ALLA ROTAZIONE

Ai fini del calcolo della rigidità alla rotazione si sono presi in considerazione i nodi agli estremi della fondazione (16 e 336) indicati nell'immagine seguente e distanti 2500 cm.

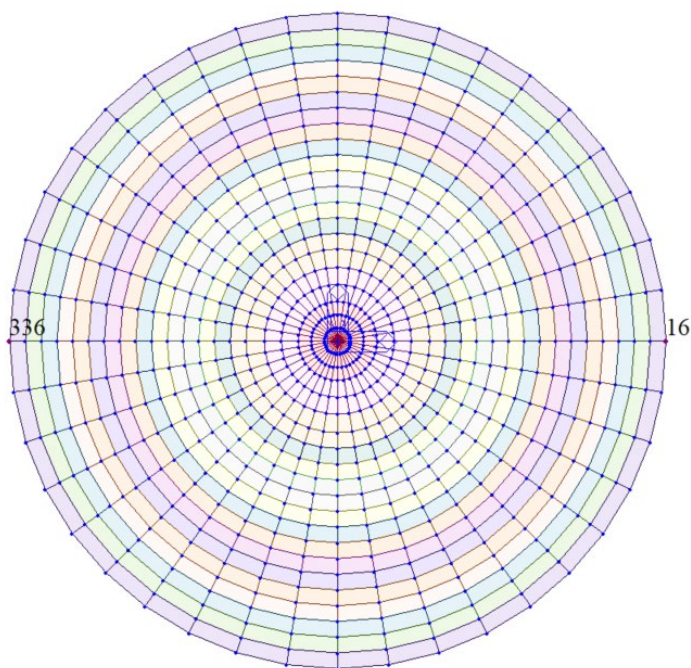


Figure 7-35 – Identificazione nodi

Il documento "Design and construction guidelines for the foundations of wind turbine generators", al paragrafo 9.1, specifica di verificare la rigidità del basamento allo Stato Limite di Esercizio. Si considerano quindi gli spostamenti dei nodi precedentemente indicati, nelle combinazioni "SLEr" e "SLEqp".

La seguente tabella riassume i dati di input ed i risultati relativi al calcolo della rigidità rotazionale del basamento:

RIGIDEZZA ROTAZIONALE DEL BASAMENTO

	Combinazione di calcolo	SLEr
s_{max}	spostamento massimo	0.49 cm
s_{min}	spostamento minimo	0.05 cm
$s_{max} - s_{min}$	differenza tra i due spostamenti	0.44 cm
d	distanza tra i nodi	2500 cm
α	angolo di rotazione	0.00018 rad
M	Momento flettente agente	178349500 Nm
ϑ	rigidezza rotazionale	1.01E+12 Nm/rad
ϑ_{lim}	rigidezza rotazionale minima	1.50E+11 Nm/rad
	Verifica soddisfatta	OK
	Combinazione di calcolo	SLEqp
s_{max}	spostamento massimo	0.42 cm
s_{min}	spostamento minimo	0.12 cm
$s_{max} - s_{min}$	differenza tra i due spostamenti	0.30 cm
d	distanza tra i nodi	2500 cm
α	angolo di rotazione	0.00012 rad
M	Momento flettente agente	119805990 Nm
ϑ	rigidezza rotazionale	9.98E+11 Nm/rad
ϑ_{lim}	rigidezza rotazionale minima	1.50E+11 Nm/rad
	Verifica soddisfatta	OK

La rigidità alla rotazione, calcolata come (M/ϑ) è superiore, per entrambe le combinazioni di calcolo, al valore minimo indicato nella specifica fornita dal produttore della turbina (1.5E+11 Nm/rad) e riportata nell'immagine sottostante.

The value for SG 6.0-170 T115-50A is shown in Table 2:

WTG	SG 6.0-170 T115-50A
Minimum rotational stiffness of the foundation	1.5E+11 Nm/rad

Table 2 SG 6.0-170 T115-50A Minimum rotational stiffness